

UNIVERSITÉ MONTPELLIER II
— SCIENCES ET TECHNIQUES DU LANGUEDOC —

HABILITATION À DIRIGER DES RECHERCHES

DISCIPLINE : INFORMATIQUE
Spécialité Doctorale : *Informatique*
École Doctorale : *Information, Structure, Systèmes*

présentée et soutenue publiquement par

Sadok BEN YAHIA

le 3 avril 2009

CONTRIBUTIONS À LA FORMALISATION ET À L'EXTRACTION DE BASES GÉNÉRIQUES DE RÈGLES ASSOCIATIVES

JURY

Ramon Lopez DE MANTARAS, Professeur, Spanish National Research Council, Espagne, Rapporteur
Lhaouari NOURINE, Professeur, Université Blaise Pascal, Rapporteur
Mohamed J. ZAKI, Professeur, Rensselaer Polytechnic Institute, USA, Rapporteur
Marianne HUCHARD, Professeur, Université Montpellier II, Examineur
Jean-Marc PETIT, Professeur, Université de Lyon, Examineur
Pascal PONCELET, Professeur, Université Montpellier II, Examineur

Remerciements

Je suis très reconnaissant à Monsieur Ramon Lopez DE MANTARAS, Professeur au Spanish National Research Council, à Monsieur Lhaouri NOURINE, Professeur à l'Université Blaise-Pascal et à Monsieur Mohamed Jaweed ZAKI, Professeur à l'Université de Rossynaeler qui ont bien voulu prendre de leur temps pour évaluer et rapporter ce travail. Je tiens également à remercier Madame Marianne HUCHARD, Professeur à l'Université de Montpellier II, Monsieur Jean-Marc PETIT, Professeur à l'Université de Lyon ainsi qu'à Monsieur Pascal PONCELET, Professeur à l'Université de Montpellier II, qui se sont intéressés à mes travaux de recherche et qui ont accepté d'examiner cette habilitation.

Je ne saurais jamais trouver les mots pour remercier Monsieur Yahya SLIMANI, Professeur à la Faculté des Sciences de Tunis, pour son soutien, ses remarques et ses conseils. Qu'il en trouve en ce modeste travail les prémises de la passion de la recherche, qu'il a incrusté en moi.

Je demeure reconnaissant à Monsieur Ali Jaoua, Professeur à la Faculté des Sciences de Tunis et Directeur de thèse de doctorat pour son soutien moral et pour m'avoir intégré dans son unité de recherche.

À mon ami et collègue Engelbert Mephu NGUIFO, Professeur à l'Université Blaise Pascal pour ses encouragements et ses suggestions constructives au cours de discussions intenses, à Tunis et à Lens, que nous avons eues ces dernières années.

À tous mes collègues du Département des Sciences de l'Informatique qui m'ont aidé durant la préparation de mon habilitation, et en particulier à Monsieur Samir ELLOUMI pour tous les instants que nous avons pu partager.

À tous mes étudiant(e)s, spécialement Tarek, Ghada, Sami, Leila, Imen, et Slim, qui se sont investis avec moi dans ces travaux, j'ai partagé avec vous beaucoup de moments de bonheur.

À toute ma famille et particulièrement à mes "3R". Aucun mot ne peut faire oublier mes moments d'absence (parfois même en étant physiquement près de vous). L'aboutissement de ce travail est aussi le fruit de ces instants.

Table des matières

Introduction générale	1
1 Fondements mathématiques	5
1.1 Introduction	5
1.2 Extraction des règles associatives	6
1.2.1 Les règles associatives	6
1.2.2 L'Analyse formelle de Concepts	6
1.3 Approches d'extraction des itemsets fermés fréquents	9
1.4 Conclusion	10
2 Définition de nouvelles bases génériques de règles associatives	13
2.1 Introduction	13
2.2 Bases génériques de règles associatives : État de l'art	14
2.3 Les approches de formalisation de bases génériques de règles associatives	14
2.3.1 Approches de formalisation de bases génériques avec perte d'information	15
2.3.2 Approches de formalisation de bases génériques sans perte d'information	16
2.4 Discussion	16
2.5 Contributions	18
2.5.1 Proposition d'un nouveau système axiomatique pour le couple $(\mathcal{GBE}, \mathcal{GBA})$	18
2.5.2 Proposition d'une nouvelle base générique \mathcal{IGB}	19
2.6 Conclusion	22
3 Extraction de bases génériques de règles associatives	25
3.1 Introduction	25
3.2 Discussion	25
3.3 Contributions	28
3.3.1 Une nouvelle approche pour la construction de structures partiellement ordonnées	28
3.3.2 L'algorithme PRINCE	29
3.3.3 L'algorithme IMG-EXTRACTOR	33
3.4 Conclusion	33
4 Les itemsets fermés disjonctifs : une nouvelle représentation concise	35
4.1 Introduction	35
4.2 Les représentations concises : revue des travaux antérieurs	36
4.2.1 Représentation par itemsets essentiels fréquents	36
4.2.2 Représentation par les itemsets non dérivables fréquents	37
4.2.3 Discussion	38
4.3 Contribution : Représentation concise exacte fondée sur la fermeture disjonctive	39
4.3.1 Les opérateurs disjonctifs et leurs propriétés	40
4.3.2 Représentation concise exacte fondée sur les fermés disjonctifs	41
4.3.3 L'algorithme DCPR-MINER	44
4.3.4 Évaluation expérimentale	45
4.4 Conclusion	47
Conclusion et Perspectives	49
Bibliographie	53

Table des figures

1.1	Un exemple de contexte d'extraction.	7
3.1	(Gauche) Nombre de noeuds l'ITEMSET-TRIE <i>vs.</i> ceux respectivement de FP-TREE et CATS. (Droite) Taille de l'ITEMSET-TRIE <i>vs.</i> celles, respectivement, de FP-TREE et CATS.	29
3.2	Contexte d'extraction \mathcal{K}	31
3.3	Construction du <i>treillis des générateurs minimaux</i> et de l'Iceberg du treillis de Galois associés au contexte d'extraction donné par la Figure 3.2 pour <i>minsup</i> =2	31
3.4	Performances de PRINCE <i>vs</i> CLOSE, A-CLOSE et TITANIC pour les contextes considérés comme denses	32
4.1	Contexte d'extraction	44

Liste des tableaux

1.1	Caractéristiques des jeux de données <i>benchmark</i> utilisées tout le long du mémoire	10
2.1	Tableau comparatif des bases génériques de règles associatives.	17
2.2	Variation du nombre de règles associatives extraites de contextes considérés épars <i>vs.</i> la variation de <i>minconf</i>	21
2.3	Comparatif des taux de compacité des bases génériques extraites à partir de contextes considérés épars.	22
2.4	Variation du nombre de règles associatives extraites à partir de contextes considérés denses <i>vs.</i> la variation de <i>minconf</i>	23
2.5	Comparatif des taux de compacité des bases génériques pour des contextes considérés denses	24
3.1	Tableau comparatif des caractéristiques des quatre catégories d’approches d’extraction des item-sets fermés fréquents.	27
3.2	Récapitulatif des performances de l’algorithme PRINCE <i>vs.</i> celles de CLOSE, A-CLOSE et TITANIC.	32
4.1	Tableau comparatif des principales représentations concises exactes proposées dans la littérature	40
4.2	Les propriétés des opérateurs disjonctifs	41
4.3	Contexte d’extraction.	42
4.4	Notations utilisées dans l’algorithme DCPR-MINER.	45
4.5	Taille des différentes représentations concises pour le contexte CONNECT.	48
4.6	Taille des différentes représentations concises pour le contexte MUSHROOM.	48
4.7	Taille des différentes représentations concises pour le contexte CHESS.	48
4.8	Taille des différentes représentations concises pour le contexte T10I4D100K.	49
4.9	Taux de compacité de la représentation $\mathcal{LFD}_{\mathcal{K}}$ <i>vs.</i> les représentations concises connues de la littérature.	49

Introduction générale

Déterminer la façon dont sont organisées les données, les interpréter et en extraire des connaissances utiles est un problème ouvert, au regard du nombre croissant des grandes bases de données. En effet, notre capacité à collecter et à stocker les données de tout type outrepassent nos possibilités d'analyse, de synthèse et d'extraction de connaissances à partir de ces données. Comme exemple, nous pouvons citer le domaine de la biologie moléculaire, où des millions de séquences génétiques attendent d'être analysées. Un autre exemple est celui des entreprises de commerce et de service (banque, assurance, grande distribution, etc), qui arrivent à stocker, particulièrement, des volumes de données très larges sur leurs activités, mais qui ne peuvent les exploiter faute de moyens d'analyse adéquats et performants.

Pour faire face à cette problématique d'analyse de larges volumes de données, plusieurs travaux de recherche ont été menés pour mettre au point des systèmes d'extraction de connaissances. Ces travaux s'intègrent dans un domaine de recherche qui est très fertile, appelé "Extraction de Connaissances dans les Bases de Données (ECBD)", ou "Knowledge Discovery in Databases (KDD)" [46] en anglais. Ce domaine de recherche est à la confluence de plusieurs autres disciplines parmi lesquelles nous retrouvons l'apprentissage automatique, l'analyse de données, la reconnaissance de formes, les bases de données, les statistiques, l'intelligence artificielle, les systèmes experts, et la vision. L'ECBD est un processus, interactif et itératif, d'analyse d'un *grand* ensemble de données brutes afin d'en extraire des connaissances exploitables et utiles.

L'ECBD est un processus interactif dans lequel l'utilisateur-analyste va sélectionner des données, choisir des outils de fouille de données (ou "data mining" en anglais) pour construire des modèles expliquant les données. Brachman et Anand [27] font remarquer que le processus d'ECBD doit nous aider à mieux comprendre comment extraire les connaissances, et surtout comment aider le mieux possible l'utilisateur-analyste. L'ECBD est aussi un processus itératif comprenant plusieurs étapes où plusieurs décisions peuvent être prises par l'utilisateur-analyste, avec retour aux étapes précédentes en cas de non satisfaction. Ces étapes se résument comme suit [46, 75] :

1. **Nettoyage et Intégration de bases de données** : À partir d'une ou plusieurs bases de données, il s'agit ici de supprimer les données inconsistantes et/ou de combiner des données provenant de différentes sources pour générer un entrepôt de données ;
2. **Pré-traitement de données** : Les données d'un entrepôt sont sélectionnées ou transformées pour être mises sous une forme qui les rend exploitables avec un outil de fouille de données.
3. **Fouille de données** : Il s'agit d'appliquer des méthodes d'extraction de motifs ou de modèles. Le système de fouille de données doit contenir plusieurs modules fonctionnels pour assurer différentes tâches telles que la caractérisation, la recherche de règles associatives, la classification supervisée ou non supervisée, la prédiction, l'analyse de données évolutives, etc ;
4. **Évaluation et Présentation**. Les motifs extraits sont évalués pour identifier ceux qui peuvent constituer une réelle connaissance pour l'analyste-utilisateur. Dans cette étape, les techniques de représentation de connaissances et d'interface homme-machine trouvent toute leur importance pour visualiser la connaissance produite.

Les tâches d'un système de fouille de données utilisent plusieurs techniques, telles que les règles associatives,

les arbres de décision, les réseaux de neurones, etc. [48, 91]. L'extraction de règles associatives –qui peut être considérée comme la technique la plus utilisée actuellement– vise à construire un modèle basé sur des règles conditionnelles à partir d'une base de données. Une règle conditionnelle se définit sous la forme d'une suite "Si Condition(s) alors Résultat" [91]. Les parties, *Condition* et *Résultat*, sont formées par un sous-ensemble d'attributs (ou items) qui décrivent la base de données.

Cependant, les algorithmes de fouille de données fondées sur la génération des règles associatives sont de nature exponentielle et ont beaucoup de difficultés à s'adapter à l'exploration de données de plus en plus larges. Pour cela, les techniques de hiérarchisation de données (ou de concepts) fondées sur la notion de treillis se trouvent être intéressantes pour représenter et traiter de larges ensembles de données. Le treillis, qui est une notion très ancienne, trouve son origine vers la moitié du dix-neuvième siècle à partir des travaux de Boole [23]. La théorie relative aux treillis a été longtemps négligée, avant de connaître son essor à partir de l'année 1940 grâce aux travaux de Öre [103], Birkhoff [22], qui l'ont transformée en branche fertile de l'algèbre. Par ailleurs, les familles de Moore, dites aussi systèmes de fermeture, se sont avérées fondamentales pour plusieurs domaines de l'informatique (bases de données, analyse formelle de concepts). Les correspondances de Galois jouent un rôle important dans la théorie des ensembles ordonnés depuis leur mise en évidence par Birkhoff, en 1940, sous le nom d'applications polarisées [22].

Cette notion de treillis est présente dans plusieurs domaines des mathématiques pures et appliquées et de l'informatique. Ainsi, la structure compacte des treillis constitue un formalisme fort intéressant pour d'une part rendre plus compact l'espace d'exploration en fouille de données et réduire la connaissance produite sans perte, d'autre part.

C'est dans ce contexte que se situent nos travaux qui ont pour objectif d'utiliser les fondements mathématiques des treillis pour l'extraction d'un noyau irréductible et compact de règles associatives. Ceci donne la possibilité de présenter un ensemble minimal de règles à l'utilisateur afin de lui permettre de mieux les visualiser et les exploiter.

Motivations

Étant donné un contexte d'extraction \mathcal{K} , le problème de l'extraction des règles associatives dans \mathcal{K} consiste à trouver l'ensemble des règles associatives, dont le support et la confiance sont, respectivement, au moins égaux à deux mesures statistiques : un seuil minimal de support (noté *minsup*) et un seuil minimal de confiance (noté *minconf*). Ce problème peut alors être décomposé en deux sous-problèmes comme suit [2] :

1. Déterminer l'ensemble des itemsets fréquents dans \mathcal{K} , *i.e.*, les itemsets dont le support est supérieur ou égal à *minsup*.
2. Pour chaque itemset fréquent I_j , générer toutes les règles associatives de la forme $r : I_k \Rightarrow I_j$ tel que $I_k \subset I_j$ et dont la confiance est supérieure ou égale à *minconf*.

Une solution à ce problème a été proposée par Agrawal et *al.* sous la forme d'un algorithme appelé APRIORI [3]. Le premier sous-problème a une complexité exponentielle en nombre d'itemsets. En effet, étant donné un ensemble d'items de taille n , le nombre d'itemsets fréquents potentiels est égal à 2^n . Le deuxième sous-problème est exponentiel en la taille des itemsets fréquents. Ainsi, pour un itemset fréquent I , le nombre de règles associatives non triviales qui peuvent être générées est égal à $2^{|I|} - 1$. Les algorithmes fondés sur l'extraction des itemsets fermés fréquents [105] sont une alternative permettant de réduire considérablement le coût de l'extraction des itemsets fréquents, surtout pour des contextes considérés comme denses, et permettent d'éliminer la redondance au sein de l'ensemble des règles associatives. Pour extraire des représentations compactes de règles associatives, connues sous la désignation de *bases génériques* [135], il faut préalablement découvrir trois composantes essentielles, à savoir [16] :

1. Les itemsets fermés fréquents ;
2. La liste des générateurs minimaux associée à chaque itemset fermé fréquent ;
3. La relation d'ordre partiel sous-jacente, organisant hiérarchiquement les itemsets fermés fréquents.

Les approches existantes se sont focalisées à extraire les itemsets fermés fréquents – et au plus leurs générateurs minimaux associés – sans se soucier de la relation d'ordre sous-jacente. En outre, l'apparition de la tendance "*fouille de connaissances*" a été un tournant dans les intérêts prioritaires de la communauté de la fouille de données. En effet, les efforts ne sont plus seulement déployés dans l'amélioration des performances du processus d'extraction des motifs fréquents mais de plus en plus de travaux s'intéressent à l'extraction d'une connaissance de meilleure qualité tout en maximisant sa compacité. Dans ce registre, nous relevons des travaux visant l'extraction des représentations concises des itemsets fréquents. Ainsi, parmi les représentations exactes les plus connues, nous citons celles fondées sur les itemsets fermés [107], les itemsets non-dérivables [32] et les itemsets essentiels [36]. Bien qu'offrant des taux de compacité assez intéressants, ces représentations concises exactes, à l'exception de la dernière, présentaient un certain nombre de limites, dont essentiellement leur incapacité à la dérivation, avec des coûts acceptables, des supports disjonctifs et négatifs des itemsets fréquents. Cette limite s'avère très handicapante dans la génération de règles associatives généralisées, *i.e.*, incluant les opérateurs de disjonction et de négation.

Pour remédier à ces insuffisances, nous présentons, dans ce mémoire, nos principales contributions ayant comme cadre fédérateur l'extraction des composantes nécessaires à la génération des bases génériques. Ces contributions peuvent se résumer dans les trois pistes de recherche complémentaires suivantes :

1. Proposition d'une nouvelle base générique informative et plus compacte que celles définies dans la littérature.
2. Proposition d'approches algorithmiques pour l'extraction de l'Iceberg du treillis de Galois, dans lequel les noeuds, représentant les itemsets fermés fréquents, sont étiquetés par leurs générateurs minimaux. Ceci garantit l'extraction des bases génériques des règles associatives informatives.
3. Proposition d'une nouvelle représentation concise et exacte des itemsets fréquents. La définition de cette nouvelle représentation s'appuie sur la propriété de non-injectivité de tout opérateur de fermeture, tout en offrant une perspective sur l'espace disjonctif des itemsets.

Le protocole d'évaluation de ces contributions consiste en des estimations empiriques basées sur des études expérimentales effectuées des bases de données benchmark utilisées dans le domaine de la fouille de données.

Structure du mémoire

Ce mémoire est composé de quatre chapitres.

Le **premier chapitre** décrit brièvement les fondements mathématiques de l'extraction des règles associatives et leur lien avec ceux de l'*analyse formelle de concepts*. En outre, une caractérisation des approches d'extraction des règles associatives est introduite.

Le **deuxième chapitre** présente une étude comparative des approches utilisées pour la formalisation des différentes bases génériques ainsi que les mécanismes d'inférence associés. Ensuite, nos différentes contributions sont présentées et discutées par rapport aux travaux de la littérature.

Le **troisième chapitre** commence par une étude critique des différentes approches pour l'extraction des bases génériques de règles associatives. Ensuite, il présente nos principales contributions dans le but de collecter toute l'information requise pour l'extraction efficace des bases génériques des règles associatives.

Le **quatrième chapitre** est consacré à la présentation d'une représentation concise et exacte des itemsets fréquents, qui est fondée sur l'exploration de l'espace de recherche disjonctif. La description de cette contribution est précédée par une étude critique des différents travaux portant sur la formalisation des représentations concises des itemsets fréquents.

Le mémoire se termine par une conclusion qui résume l'ensemble de nos travaux et présente quelques perspectives de recherche.

Chapitre 1

Fondements mathématiques

1.1 Introduction

L'extraction des règles associatives est l'un des principales techniques de la fouille de données. Ce problème, introduit par Agrawal *et al.* [2], a été développé pour l'analyse de bases de données de transactions de ventes. Chaque transaction est constituée d'une liste d'articles achetés, afin d'identifier les groupes d'articles achetés le plus fréquemment ensemble [105]. L'analyse d'associations est alors appelée, dans ce cas, *analyse du panier de la ménagère*. L'analyse des associations part des données les plus fines qui composent une transaction : les ventes des articles élémentaires. La recherche des associations vise alors à retrouver les corrélations qui pourraient exister entre n produits (par exemple, les acheteurs de salade et de tomates achètent de l'huile d'olive dans 80% des cas), mais aussi entre les tendances de vente de produits (quand les ventes de X augmentent alors les ventes de Y augmentent dans 80% des cas) [91]. L'extraction de règles associatives a donc pour objectif l'identification de relations significatives cachées entre les données d'une base de données. Les relations obtenues peuvent être utiles pour les utilisateurs finaux, *e.g.*, experts, décideurs, qui peuvent les exploiter pour différents objectifs. En outre, la technique d'extraction des règles associatives a été appliquée à d'autres secteurs d'activités, dans lesquels il est intéressant de rechercher des groupements potentiels de produits ou de services, *e.g.*, services bancaires, services de télécommunications [1]. Elle a également été utilisée dans le secteur médical pour la recherche de complications dues à des associations de médicaments ou à la recherche de thérapies particulières [21].

Dans cette quête de connaissances à extraire, la notion du *treillis de Galois* [6] ou *treillis de concepts* [50], joue un rôle très important. En effet, elle est à la base d'une famille de méthodes de classification conceptuelle [26, 130]. Cette notion, introduite par Barbut et Monjardet [6], a été utilisée comme base de l'Analyse Formelle de Concepts (AFC) par Wille [129]. Ce dernier propose de considérer chaque élément du treillis, apparenté à une hiérarchie, comme un *concept formel*, et le graphe associé comme une relation de généralisation/spécialisation. Ainsi, cette hiérarchie de concepts met en évidence, de façon exhaustive, les regroupements potentiellement intéressants par rapport aux observations. L'approche fondée sur le treillis de Galois a initialement trouvé des applications en intelligence artificielle notamment pour la représentation et l'acquisition des connaissances [130], puis dans la génération des règles associatives à partir du treillis [58]. Ainsi, ses fondements ont été d'un grand apport dans les axes de recherche complémentaires suivants :

- la définition de nouvelles approches pour la réduction de l'espace de recherche induit par l'ensemble des itemsets. Ceci a permis d'améliorer les performances des approches d'extraction des règles associatives surtout pour des contextes d'extraction denses ;
- la réduction du nombre de règles redondantes, par le biais de la formalisation des bases génériques de règles associatives, permettant une sélection de règles associatives sans perte de connaissances.

1.2 Extraction des règles associatives

Dans cette section, nous allons présenter les fondements mathématiques de l'extraction des règles associatives et leur liens avec ceux de l'AFC pour la dérivation de bases génériques des règles associatives.

1.2.1 Les règles associatives

Une base de transactions (ou plus généralement un contexte d'extraction) peut être formellement représentée sous la forme d'un triplet $\mathcal{K} = (\mathcal{O}, \mathcal{I}, \mathcal{R})$, où \mathcal{O} et \mathcal{I} sont, respectivement, des ensembles finis d'objets (ou transactions) et d'attributs (ou items) et $\mathcal{R} \subseteq \mathcal{O} \times \mathcal{I}$ est une relation binaire entre les transactions et les items. Un couple (o, i) appartenant à la relation \mathcal{R} indique que la transaction $o \in \mathcal{O}$ contient l'item $i \in \mathcal{I}$.

Une transaction T , avec un identificateur appelé *TID* (Tuple Identifier), est un ensemble, non vide, d'items de \mathcal{I} . Un sous-ensemble X de \mathcal{I} , tel que $k = |X|$ est appelé un *k-itemset* ou simplement un *itemset*. Le nombre de transactions de \mathcal{K} contenant un itemset X , $|\{T \in \mathcal{K} \mid X \subseteq T\}|$, est appelé *support absolu* de X . Le *support relatif* de X est le rapport entre son support absolu et le nombre total de transactions de \mathcal{K} , *i.e.*, $\text{Supp}(X) = \frac{|\{T \in \mathcal{K} \mid X \subseteq T\}|}{|\mathcal{O}|}$. Un itemset X est dit *fréquent* si son support relatif est supérieur ou égal à un seuil minimum $\text{minsup}^{(1)}$ spécifié par l'utilisateur.

Le problème d'extraction des règles associatives a été formalisé par Agrawal *et al.* en 1993 [2]. Une règle associative R est une relation entre itemsets, de la forme $R : X \Rightarrow (Y-X)$, dans laquelle X et Y sont des itemsets fréquents, tel que $X \subset Y$. Les itemsets X et $(Y-X)$ sont appelés, respectivement, *prémisse* et *conclusion* de la règle R . La génération des règles associatives est réalisée à partir d'un ensemble \mathcal{F} d'itemsets fréquents extrait à partir d'un contexte d'extraction \mathcal{K} . Les règles associatives valides sont celles dont la mesure de confiance, $\text{Conf}(R) = \frac{\text{Supp}(Y)}{\text{Supp}(X)}$, est supérieure ou égale à un seuil minimal de confiance, défini par l'utilisateur et qui sera noté dans la suite *minconf*. Si $\text{Conf}(R) = 1$ alors R est appelée *règle associative exacte*, sinon elle est appelée *règle associative approximative* [108].

Bien qu'elle soit l'une des techniques qui ait le plus suscité l'intérêt de la communauté de la fouille de données [21], elle souffre de deux problèmes majeurs, à savoir le coût du processus d'extraction [3], ainsi que les grandes quantités de règles associatives extraites à partir de bases de données réelles. Cette quantité énorme de connaissances— pouvant atteindre des dizaines de millions de règles— rend quasi impossible leur analyse par un expert humain. Les fondements mathématiques proposés par l'AFC ont permis de développer de nouvelles approches permettant d'outrepasser ces limites [16]. Dans ce qui suit, nous allons faire une brève présentation de ces fondements.

1.2.2 L'Analyse formelle de Concepts

L'*Analyse Formelle de Concepts* (AFC), introduite par Wille en 1982 [129], traite des concepts formels : un concept formel est un ensemble d'objets, (ou *extension*), auquel s'applique un ensemble d'attributs, (ou *intention*). Ainsi, l'AFC constitue un outil de classification et d'analyse, dont la notion centrale est le treillis de Galois (ou de concepts formels). Le treillis de Galois peut être vu comme un regroupement conceptuel et hiérarchique d'objets (à travers les extensions du treillis), et interprété comme une représentation de toutes les implications entre les items (à travers les intentions) [119]. L'AFC permet aussi de réduire considérablement le nombre de relations entre ensembles d'attributs, en ne générant que celles considérées comme non redondantes. Dans ce qui suit, nous allons brièvement présenter les fondements mathématiques qui seront utilisés dans la suite de ce mémoire.

La définition suivante introduit les différents types de supports pouvant être associés à un itemset.

Définition 1 [36] (SUPPORTS D'UN ITEMSET) *Soit un contexte d'extraction $\mathcal{K} = (\mathcal{O}, \mathcal{I}, \mathcal{R})$. Nous distinguons*

1. *minsup* définit le nombre de transactions minimal auxquelles doit appartenir X pour être qualifié de fréquent.

trois types de supports associés à un itemset I :

- **Support conjonctif** : $Supp(I) = |\{o \in \mathcal{O} \mid (\forall i \in I, (o, i) \in \mathcal{R})\}|$
- **Support disjonctif** : $Supp(\vee I) = |\{o \in \mathcal{O} \mid (\exists i \in I, (o, i) \in \mathcal{R})\}|$
- **Support négatif** : $Supp(\neg I) = |\{o \in \mathcal{O} \mid (\forall i \in I, (o, i) \notin \mathcal{R})\}|$

Exemple 1 Considérons le contexte d'extraction de la figure 1.1. Les différents supports que l'on associe à l'itemset BC^2 sont : $Supp(BC) = 2$, $Supp(\vee BC) = 5$, $Supp(\neg BC) = 0$.

	A	B	C	D	E	F
1	×	×	×	×		
2			×	×	×	
3	×	×			×	×
4	×	×	×	×	×	×
5			×	×		×

FIGURE 1.1 – Un exemple de contexte d'extraction.

Le lemme suivant établit les relations qui existent entre les différents supports. Ces relations sont basées sur les identités d'inclusion-exclusion [49].

Lemme 1 [49] (IDENTITÉS D'INCLUSION-EXCLUSION) *Les identités d'inclusion-exclusion établissent les liens qui existent entre le support conjonctif, le support disjonctif et le support négatif.*

$$Supp(I) = \sum_{\substack{I_1 \subseteq I \\ I_1 \neq \emptyset}} (-1)^{|I_1| - 1} Supp(\vee I_1)$$

$$Supp(\vee I) = \sum_{\substack{I_1 \subseteq I \\ I_1 \neq \emptyset}} (-1)^{|I_1| - 1} Supp(I_1)$$

$$Supp(\neg I) = |\mathcal{O}| - Supp(\vee I) \text{ (loi de De Morgan)}$$

Exemple 2 Considérons le contexte d'extraction de la figure 1.1. Nous allons montrer comment calculer les différents supports de l'itemset BC grâce aux identités d'inclusion-exclusion.

- $Supp(BC) = (-1)^{|BC| - 1} Supp(\vee BC) + (-1)^{|B| - 1} Supp(\vee B) + (-1)^{|C| - 1} Supp(\vee C) = - Supp(\vee BC) + Supp(\vee B) + Supp(\vee C) = - 5 + 3 + 4 = 2$.
- $Supp(\vee BC) = (-1)^{|BC| - 1} Supp(BC) + (-1)^{|B| - 1} Supp(B) + (-1)^{|C| - 1} Supp(C) = - Supp(BC) + Supp(B) + Supp(C) = - 2 + 3 + 4 = 5$.
- $Supp(\neg BC) = |\mathcal{O}| - Supp(\vee BC) = 5 - Supp(\vee BC) = 5 - 5 = 0$.

L'ensemble des itemsets maximaux fréquents constitue la bordure positive de l'ensemble des itemsets fréquents. Formellement, cet ensemble est défini comme suit :

Définition 2 [8] (ITEMSET MAXIMAL FRÉQUENT) *Soit $\mathcal{K} = (\mathcal{O}, \mathcal{I}, \mathcal{R})$ un contexte d'extraction. L'ensemble des itemsets maximaux fréquents extraits à partir de \mathcal{K} , noté $BD^+(\mathcal{IF}_{\mathcal{K}})$, est défini comme suit :*

$$BD^+(\mathcal{IF}_{\mathcal{K}}) = \{I \subseteq \mathcal{I} \mid Supp(I) \geq \text{minsup} \wedge \forall I_1 \supset I, Supp(I_1) < \text{minsup}\}$$

La notion d'idéal d'ordre [50] est aussi nécessaire afin de caractériser les propriétés structurelles des itemsets.

2. Les ensembles d'items seront représentés sans séparateurs, e.g., BC représente l'ensemble $\{B, C\}$.

Définition 3 [50] (IDÉAL D'ORDRE) *Un ensemble S est un idéal d'ordre s'il vérifie la propriété suivante :*
Si $x \in S$, alors $\forall y \subset x, y \in S$.

Notons que l'ensemble des itemsets fréquents est aussi un idéal d'ordre [3].

- **Correspondance de Galois :** Soit un contexte d'extraction $\mathcal{K} = (\mathcal{O}, \mathcal{I}, \mathcal{R})$. L'application ϕ , de l'ensemble des parties de $\mathcal{O}^{(3)}$ dans l'ensemble des parties de \mathcal{I} , associée à un ensemble d'objets $O \subseteq \mathcal{O}$ l'ensemble des items $i \in \mathcal{I}$ communs à tous les objets $o \in O$ [50] :

$$\begin{aligned} \phi : 2^{\mathcal{O}} &\rightarrow 2^{\mathcal{I}} \\ \phi(O) &= \{i \in \mathcal{I} \mid \forall o \in O \wedge o \mathcal{R} i\} \end{aligned}$$

Dualement, l'application ψ , de l'ensemble des parties de \mathcal{I} dans l'ensemble des parties de \mathcal{O} , associée à tout ensemble d'items $I \subseteq \mathcal{I}$ l'ensemble des objets $o \subseteq \mathcal{O}$ contenant tous les items $i \in I$ [50] :

$$\begin{aligned} \psi : 2^{\mathcal{I}} &\rightarrow 2^{\mathcal{O}} \\ \psi(I) &= \{o \in \mathcal{O} \mid \forall i \in I \wedge o \mathcal{R} i\} \end{aligned}$$

Le couple d'applications (ϕ, ψ) est une *correspondance de Galois* entre l'ensemble des parties de \mathcal{O} et l'ensemble des parties de \mathcal{I} [50]. Étant donné l'opérateur de fermeture ω ($\omega = \phi \circ \psi$), un élément $X \in \mathcal{I}$ est un élément *fermé* si l'image de X par l'opérateur de fermeture ω est égale à lui-même, *i.e.*, $\omega(X) = X$ [41].

- **Treillis de concepts formels (de Galois) :** Étant donné un contexte d'extraction $\mathcal{K} = (\mathcal{O}, \mathcal{I}, \mathcal{R})$, l'ensemble de concepts formels $\mathcal{C}_{\mathcal{K}}$ est un treillis complet $\mathcal{L}_{\mathcal{C}_{\mathcal{K}}} = (\mathcal{C}_{\mathcal{K}}, \leq)$, appelé *treillis de Galois*, quand l'ensemble $\mathcal{C}_{\mathcal{K}}$ est considéré avec la relation d'inclusion entre les itemsets [6, 50]. La relation d'ordre partiel entre des concepts formels est définie comme suit [50] : $\forall c_1 = (O_1, I_1), c_2 = (O_2, I_2) \in \mathcal{C}_{\mathcal{K}}, c_1 \leq c_2 \iff I_2 \subseteq I_1 (\Leftrightarrow O_1 \subseteq O_2)$ avec $I_1, I_2 \subseteq \mathcal{I}$ et $O_1, O_2 \subseteq \mathcal{O}$.

La relation d'ordre partiel est utilisée pour générer le graphe du treillis, appelé *Diagramme de Hasse*. Dans ce graphe, les sommets correspondent aux éléments de l'ensemble $\mathcal{C}_{\mathcal{K}}$ et les arcs aux relations de couverture entre les sommets. Chaque élément $c \in \mathcal{C}_{\mathcal{K}}$ est connecté aussi bien à un ensemble de ses successeurs immédiats, appelé *Couverture supérieure* ($Couv^s$), et à un ensemble de ses prédécesseurs immédiats, appelé *Couverture inférieure* ($Couv_i$).

La construction de diagramme de Hasse se base sur les deux principes suivants [50] :

- si $x < y$ alors c_x est en dessous de c_y ;
- c_x et c_y sont liés par un segment si et seulement si $x \prec y$.

- **Itemsets fermés :** Un itemset $l \subseteq \mathcal{I}$ tel que $\omega(l) = l$ est appelé *itemset fermé*. Ainsi, un itemset fermé est un ensemble maximal d'items communs à un ensemble d'objets [105].

- **Iceberg du Treillis de Galois :** Quand nous considérons seulement l'ensemble des itemsets fermés *fréquents* ordonnés par la relation d'inclusion, la structure obtenue $(\hat{\mathcal{L}}, \subseteq)$ est un sup-demi-treillis supérieur et elle est désignée par *Iceberg du treillis de Galois* [116].

- **Générateur minimal :** Un itemset $g \subseteq \mathcal{I}$ est un *générateur minimal*⁴ d'un itemset fermé f si et seulement si $\omega(g) = f$ et il n'existe pas $g_1 \subset g$ et $\omega(g_1) = f$ [7]. L'ensemble GM_f des générateurs minimaux d'un itemset fermé f est défini comme suit :

$$GM_f = \{g \subseteq \mathcal{I} \mid \omega(g) = f \wedge \nexists g_1 \subset g \text{ tel que } \omega(g_1) = f\}.$$

Définition 4 (REPRÉSENTATION CONCISE EXACTE/APPROXIMATIVE)

Soit \mathcal{E} un ensemble d'itemsets.

- \mathcal{E} représente une **représentation concise exacte** de l'ensemble des itemsets fréquents si, à partir de \mathcal{E} , nous sommes en mesure de déterminer avec exactitude le support de chaque itemset fréquent.

3. L'ensemble des parties d'un ensemble \mathcal{O} est noté $2^{\mathcal{O}}$.

4. Appelé aussi *itemset libre* dans [24] et *itemset clé* dans [118].

- \mathcal{E} représente une **représentation concise approximative** de l'ensemble des itemsets fréquents si, à partir de \mathcal{E} , nous sommes en mesure d'estimer le support de chaque itemset fréquent.

Dans ce qui suit, nous allons présenter un survol de la littérature dédiée aux approches d'extraction des fermés fréquents.

1.3 Approches d'extraction des itemsets fermés fréquents

En général, le critère utilisé pour classer les algorithmes d'extraction des itemsets (fermés) fréquents est la stratégie adoptée pour l'exploration de l'espace de recherche. Il existe actuellement trois grandes stratégies "Générer-et-tester", "Diviser-pour-régner" et une stratégie "hybride" des deux premières. Néanmoins, nous allons ajouter une nouvelle catégorie que nous appelons *hybride sans duplication* pour différentes raisons expliquées dans la suite.

1. **La stratégie "Générer-et-tester"** : les algorithmes les plus connus adoptant cette stratégie sont CLOSE [107], A-CLOSE [108] et TITANIC [118]. Ces algorithmes parcourent l'espace de recherche par niveau. Comme point de départ, ils considèrent l'ensemble des éléments inf-irréductibles déjà connu, *i.e.*, l'ensemble des items \mathcal{I} . À chaque itération k , un ensemble de candidats de taille k est généré en utilisant la phase combinatoire de l'algorithme APRIORI-GEN [3] appliquée aux $(k-1)$ -générateurs minimaux fréquents retenus lors de l'itération précédente. Cet ensemble de candidats est élagué par la conjonction d'une métrique statistique (*i.e.*, le support) et d'heuristiques basées essentiellement sur les propriétés structurelles des itemsets fermés et/ou des générateurs minimaux (*e.g.*, l'idéal d'ordre régissant l'ensemble des générateurs minimaux).

2. **La stratégie "Diviser-pour-régner"** : l'algorithme représentatif adoptant cette stratégie est CLOSET [109]. Ce dernier a introduit l'utilisation d'une structure de données compacte appelée FP-TREE (Frequent Pattern tree) [76] dans les algorithmes permettant l'extraction des itemsets fermés. En utilisant un parcours en profondeur d'abord de l'espace de recherche, CLOSET essaie de diviser le contexte d'extraction en sous-contextes et d'appliquer le processus de découverte des itemsets fermés récursivement sur ces sous-contextes. Ce processus de découverte repose sur un élagage du contexte basé essentiellement sur l'utilisation d'une métrique statistique et d'heuristiques [16]. Des améliorations ou des variantes de cet algorithme ont été proposées, dont principalement CLOSET+ [128] et FP-CLOSE [57].

3. **La stratégie "hybride"** : les algorithmes adoptant cette stratégie utilisent les propriétés des deux stratégies précédentes, dont le plus connu est l'algorithme CHARM [134]. Contrairement aux autres algorithmes qui n'exploitent que l'espace de recherche des itemsets (fermés), CHARM explore simultanément l'espace de recherche des itemsets fermés et celui des transactions en introduisant une structure de données appelée *IT-tree* (Itemset-Tidset tree) [134]. Chaque noeud dans *IT-tree* contient un candidat itemset fermé fréquent ainsi que la liste des transactions auxquelles il appartient. Cette liste est appelée *tidset* [134]. CHARM explore l'espace de recherche en profondeur d'abord (comme dans le cas des algorithmes adoptant la stratégie "Diviser-pour-régner") sans diviser le contexte d'extraction en sous-contextes. Cependant, il génère un seul k -candidat (comme les algorithmes adoptant la stratégie "Générer-et-tester") et essaie de tester si ce candidat est un itemset fermé fréquent ou non, en utilisant des intersections des tidsets ainsi que des tests de couverture. Le processus d'extraction se base aussi sur des stratégies d'élagage. Ces dernières consistent à utiliser une métrique statistique en conjonction avec d'autres heuristiques.

4. **La stratégie "hybride sans duplication"** : deux principaux algorithmes caractérisent cette stratégie, à savoir DCI-CLOSED [94, 95] et LCM [123, 124]. Ces algorithmes peuvent simplement être considérés comme des améliorations de l'algorithme CHARM, étant donné qu'ils héritent de l'utilisation des tidsets et du parcours hybride de l'espace de recherche adopté dans CHARM. Cependant, nous avons choisi de placer ces deux

Base	Type	# Items	Taille moyenne des transactions	# Transactions
CONNECT	dense	129	43	67557
PUMSB	dense	7117	74	49046
MUSHROOM	dense	119	23	8124
CHESS	dense	75	37	3196
T10I4D100K	éparse	1000	10	100000
T40I4D100K	éparse	1000	40	100000
RETAIL	éparse	16470	10	88162

TABLE 1.1 – Caractéristiques des jeux de données *benchmark* utilisées tout le long du mémoire

algorithmes dans une nouvelle catégorie étant donné qu'ils évitent l'inconvénient majeur des algorithmes précédemment proposés, à savoir le coût élevé des tests de couverture permettant d'éliminer tout générateur dont la fermeture a été déjà extraite (cas de la deuxième et de la troisième catégorie). À cette fin, DCI-CLOSED et LCM parcourent l'espace de recherche en profondeur d'abord. Après la découverte d'un nouvel itemset fermé fréquent c , ils génèrent un nouveau générateur g en étendant c par un item i , $i \notin c$. Ainsi, ces deux algorithmes extraient l'ensemble des itemsets fermés fréquents en un temps linéaire de la taille de cet ensemble [94, 123]. De plus, ces algorithmes n'ont nul besoin de stocker, en mémoire centrale, l'ensemble des itemsets fermés fréquents précédemment extraits, étant donné qu'ils n'effectuent pas les coûteux tests de couverture. La différence entre DCI-CLOSED et LCM réside dans les stratégies adoptées pour calculer les fermetures, ainsi que les structures de données utilisées pour stocker les transactions en mémoire centrale.

Outre la stratégie d'exploration adoptée, d'autres éléments de caractérisation de ces algorithmes peuvent être retenus [12] :

- *Choix des générateurs* : certains algorithmes ont choisi les générateurs minimaux comme générateurs de chaque classe d'équivalence (cas de l'algorithme CLOSE), tandis que d'autres optent pour une technique se basant sur le fait qu'à chaque fois qu'un générateur est trouvé, sa fermeture est calculée. Ceci permettrait de créer de nouveaux générateurs à partir des itemsets fermés fréquents trouvés (cas de l'algorithme CLOSET).
- *Calcul de la fermeture* : le calcul de la fermeture d'un générateur minimal X varie, d'un algorithme à autre, par le fait qu'il peut être réalisé soit par des opérations d'intersection sur les transactions auxquelles appartient X (*i.e.*, son extension), soit d'une manière incrémentale en cherchant les items appartenant à la fermeture d'un générateur (minimal) X et qui vérifient la relation suivante : $\psi(X) \subseteq \psi(i) \Rightarrow i \in \omega(X)$, avec i un item n'appartenant pas à X [116].

Notons que le protocole d'évaluation de ces différents algorithmes est simplement basé sur des comparatifs des performances obtenues pour des jeux de données *benchmark*, dont les caractéristiques sont récapitulées dans le tableau 1.1.

1.4 Conclusion

Depuis l'apparition de l'approche basée sur l'extraction des itemsets *fermés* fréquents [106], une nouvelle formulation du problème de l'extraction des règles associatives, basée sur l'extraction des itemsets fermés fréquents au lieu des itemsets fréquents, a été proposée. Cette nouvelle formulation permet [105] :

- D'améliorer les temps de calcul, puisque dans la plupart des cas, le nombre d'itemsets fermés fréquents est largement inférieur à celui des itemsets fréquents, surtout pour les contextes d'extraction considérés comme denses.

— De ne générer que des règles associatives non redondantes.

Cette nouvelle approche – l'extraction des itemsets fermés fréquents – a donné lieu à une sélection de sous-ensembles de règles sans perte d'information. La sélection de règles sans perte d'information repose sur l'extraction d'un sous-ensemble de toutes les règles associatives, appelé *base générique*, à partir duquel le reste des règles pourrait être dérivé. C'est sur les différentes approches de formalisation des bases génériques que se propose le chapitre 2 de mettre l'accent.

Chapitre 2

Définition de nouvelles bases génériques de règles associatives

2.1 Introduction

La prolifération des algorithmes fondés sur l'extraction des itemsets (maximaux/ fermés) fréquents a édulcoré l'objectif réel de la technique d'extraction des règles associatives, à savoir l'extraction d'une connaissance de taille exploitable et présentant une plus value. Ainsi, cette abondance d'algorithmes laisse penser que l'objectif de la technique d'extraction des règles associatives consiste à découvrir des itemsets (fermés) fréquents. En revanche, peu de travaux se sont concentrés sur la génération de règles associatives [85, 105, 133]. En effet, dans la pratique, le nombre de règles associatives, pouvant être extraites à partir de bases de données réelles, est très élevé. Ceci est dû à la présence de règles redondantes (*i.e.*, véhiculant la même information). Par conséquent, l'utilisateur ne peut plus gérer et exploiter efficacement les connaissances utiles qui lui sont présentées. Ainsi, l'objectif de la technique d'extraction des règles associatives doit être reformulé en veillant à :

1. Déterminer un ensemble minimal et compact de règles associatives présenté à l'utilisateur tout en maximisant la quantité d'informations utiles véhiculées ;
2. Disposer d'un mécanisme d'inférence qui, suite à une demande explicite de l'utilisateur, permet de retrouver le reste de règles associatives, tout en déterminant avec exactitude leurs supports et leurs confiances sans accéder au contexte d'extraction.

Pour réduire le nombre de règles extraites, une sélection avec perte d'information peut reposer sur des patrons définis par l'utilisateur (*user-defined templates*) [83, 84, 92], des opérateurs booléens ou *SQL-Like* [98, 100, 115]. Le nombre de règles peut être aussi réduit en les élaguant avec une information additionnelle, telle qu'une taxonomie [74, 77, 89, 114] ou une métrique d'intérêt additionnelle [30, 78] (*e.g.*, corrélation de Pearson ou le test- χ^2).

En revanche, dans le cadre d'une sélection sans perte d'information, certains travaux ont puisé dans les fondements mathématiques de l'AFC pour proposer des approches de sélection sans perte d'information des règles associatives. Ces approches reposent sur l'extraction d'un sous-ensemble de taille compacte, de toutes les règles associatives, appelé *base générique*, tout en satisfaisant les conditions suivantes [87] :

1. **Dérivabilité** : le mécanisme d'inférence (*e.g.*, un système axiomatique), permettant la dérivation des règles redondantes doit être **correct** (*i.e.*, le système ne permet de dériver que les règles associatives valides) et **complet** (*i.e.*, l'ensemble de toutes les règles valides peut être retrouvé).
2. **Informativité** : la base générique des règles associatives doit permettre de retrouver avec exactitude le support et la confiance des règles dérivées.

2.2 Bases génériques de règles associatives : État de l'art

Dans ce qui suit, nous allons commencer par présenter les différents mécanismes d'inférence de règles associatives proposés dans la littérature. Ces mécanismes sont considérés comme étant des méthodes de dérivation (ou de raisonnement) de règles à partir d'autres règles [86]. Un examen de l'état de l'art montre que ces mécanismes se définissent, généralement, sous la forme de système axiomatique ou d'opérateurs de dérivation.

1. **Les axiomes d'Armstrong (AA)** : le système axiomatique d'Armstrong est utilisé uniquement dans le cadre des règles exactes [4] et il est constitué des axiomes suivants :

- (a) **Reflexivité** : Si $X \subseteq Y$ alors $\text{Conf}(X \Rightarrow Y) = 1$.
- (b) **Augmentation** : Si $\text{Conf}(X \Rightarrow Y) = 1$ alors, $\text{Conf}(XZ \Rightarrow Y) = 1$.
- (c) **Transitivité** : Si $\text{Conf}(X \Rightarrow Y) = 1$ et $\text{Conf}(Y \Rightarrow Z) = 1$ alors $\text{Conf}(X \Rightarrow Z) = 1$.

2. **La transitivité de la confiance (TC)** : ce mécanisme, introduit par Luxemburger [97], permet de déterminer la confiance d'une règle à partir de celles d'autres règles. Contrairement à l'axiome de transitivité d'Armstrong, \mathcal{TC} est utilisé aussi bien pour les règles exactes que pour les règles approximatives.

Soient X , Y et Z trois itemsets fréquents tels que $X \subset Y \subset Z$. Le support et la confiance de la règle $R'' : X \Rightarrow (Z - X)$ peuvent être déterminés à partir des mesures de validité des règles $R : X \Rightarrow (Y - X)$ et $R' : Y \Rightarrow (Z - Y)$ comme suit :

- (a) $\text{Supp}(X \Rightarrow Z - X) = \text{Supp}(Y \Rightarrow Z - Y)$.
- (b) $\text{Conf}(X \Rightarrow Z - X) = \text{Conf}(X \Rightarrow Y - X) \times \text{Conf}(Y \Rightarrow Z - Y)$.

Ainsi, la confiance d'une règle dérivée, *i.e.*, obtenue par l'application d'un axiome de dérivation, est toujours inférieure ou égale aux valeurs de confiance respectives des règles à partir desquelles elle a été inférée.

3. **L'opérateur de couverture (C)** : dans [85], Kryszkiewicz introduit un opérateur de dérivation de règles associatives défini comme suit :

Définition 5 Soient X , Y , Z et V quatre itemsets fréquents et $R : X \Rightarrow Y$ une règle valide. L'ensemble des règles dérivées suite à l'application de l'opérateur de couverture sur une règle R , noté $\mathcal{C}(R)$, est défini comme suit :

$$\mathcal{C}(X \Rightarrow Y) = \{X \cup Z \Rightarrow V \mid Z \subseteq Y \wedge V \subseteq Y \wedge (Z \cap V) = \emptyset \wedge V \neq \emptyset\}.$$

À partir d'une règle $R : X \Rightarrow Y$, nous pouvons dériver, grâce à l'opérateur de couverture \mathcal{C} , $3^m - 2^m$ règles, où m désigne la cardinalité de l'itemset fréquent Y . Soit \mathcal{R} l'ensemble de toutes les règles qui couvrent une règle associative R' (*i.e.*, pour toute règle $R_i \in \mathcal{R}$, nous avons $R' \in \mathcal{C}(R_i)$). Ainsi, $\text{Conf}(R') \geq \max\{\text{Conf}(R_i)\}$ et $\text{Supp}(R') \geq \max\{\text{Supp}(R_i)\}$.

4. **L'inférence basée sur l'opérateur de fermeture (IRF)** : ce mécanisme d'inférence est basé sur le fait que le support d'un itemset fréquent I est égal à celui de sa fermeture $\omega(I)$ [105].

Dans ce qui suit, nous présentons les différentes approches d'extraction des bases génériques de règles associatives.

2.3 Les approches de formalisation de bases génériques de règles associatives

Les bases d'implication, définies essentiellement dans les domaines de l'analyse de données et de l'AFC, ont été les précurseurs des bases génériques de règles associatives. Les travaux de Guigues-Duquenne (la base \mathcal{DG} [58]) et Luxemburger (la base \mathcal{BP} [97]) ont largement influencé les travaux portant sur les bases génériques de règles associatives. Pour une étude détaillée sur les bases d'implications et les mécanismes d'inférence associés,

prière de se référer à [52]. Un survol de la littérature permet de classer les travaux dédiés à la formalisation de bases génériques des règles associatives en deux catégories : bases génériques avec perte d'informations et bases génériques sans perte d'informations.

2.3.1 Approches de formalisation de bases génériques avec perte d'information

Les approches de formalisation de bases génériques, qui se font avec perte d'information [85, 96, 133], *i.e.*, ne satisfont pas l'une des deux conditions de dérivabilité ou d'informativité.

I. La base de règles représentatives (\mathcal{RR})

En se basant sur l'opérateur de couverture \mathcal{C} , Kryszkiewicz introduit dans [85] une base générique de règles associatives, appelée *base de règles représentatives* (\mathcal{RR}), définie comme suit :

Définition 6 Soit \mathcal{AR} l'ensemble de toutes les règles valides. La base \mathcal{RR} des règles représentatives est définie par : $\mathcal{RR} = \{R \in \mathcal{AR} \mid \forall R' \in \mathcal{AR} \wedge R \neq R', [R \in \mathcal{C}(R') \Rightarrow R' = R]\}$.

Afin de dériver l'ensemble de règles redondantes, Kryszkiewicz propose d'utiliser l'opérateur de couverture \mathcal{C} [85]. Ainsi, dans [87], Kryszkiewicz montre que la base générique \mathcal{RR} constitue l'ensemble le plus réduit de règles génériques couvrant la totalité des règles associatives valides et véhiculant le maximum de connaissances utiles. Toutefois, l'extraction de la base se fait avec une perte d'information [87], puisqu'elle n'est pas informative (*i.e.*, elle ne permet pas de déterminer avec exactitude le support ainsi que la confiance de certaines règles associatives dérivées). Bien que l'opérateur de couverture \mathcal{C} soit correct et complet, l'extraction de \mathcal{RR} est faite avec perte d'information [87].

II. La base de règles associatives non redondantes ($\mathcal{RN}\mathcal{R}$)

Dans [133], Zaki redéfinit la notion de redondance comme suit :

Définition 7 Soit une règle $R_i : X_i \Rightarrow Y_i$ et $\mathcal{AR} = \{R_1, \dots, R_n\}$, l'ensemble de toutes les règles valides pouvant être extraites à partir d'un contexte d'extraction \mathcal{K} . Une règle $R_1 : X_1 \Rightarrow Y_1 \in \mathcal{AR}$ est plus générale qu'une règle $R_2 : X_2 \Rightarrow Y_2$, notée $R_1 \preceq R_2$, si et seulement si les conditions suivantes sont vérifiées :

1. $X_1 \subseteq X_2 \wedge Y_2 \subseteq Y_1$;
2. $Supp(R_1) = Supp(R_2)$ et $Conf(R_1) = Conf(R_2)$.

Par conséquent, une règle R_2 est redondante si et seulement s'il existe une règle R_1 telle que $R_1 \preceq R_2$. Ainsi, R_2 peut être retrouvée en ajoutant des items à la partie prémisse et/ou à la partie conclusion de la règle R_1 . En se basant sur la définition 7, Zaki introduit une nouvelle base générique de règles associatives, appelée $\mathcal{RN}\mathcal{R}$, définie comme suit :

Définition 8 $\mathcal{RN}\mathcal{R} = \{R_i \in \mathcal{AR} \mid \nexists R_j \in \mathcal{AR}, R_j \preceq R_i \text{ et } R \neq R'\}$.

Afin de dériver l'ensemble de toutes les règles redondantes, Zaki propose d'utiliser l'axiome \mathcal{TC} ainsi que l'axiome d'augmentation. Toutefois, l'augmentation d'une règle de $\mathcal{RN}\mathcal{R}$ ne doit pas se faire avec n'importe quel item, puisque le risque de générer une règle invalide peut surgir. Pour se faire, Zaki propose dans [132] de présenter à l'utilisateur les règles génériques sous la forme : $R : X \Rightarrow Y [I^\top, I^\perp]$, où I^\top désigne l'ensemble d'items pouvant être ajoutés à la partie prémisse ou à la partie conclusion d'une règle R . En revanche, I^\perp désigne l'ensemble d'items pouvant être ajoutés uniquement à la partie prémisse de R lorsque $Conf(R) = 1$ ou uniquement à la partie conclusion lorsque $Conf(R) < 1$. Cette manière de présenter les règles permet à la base $\mathcal{RN}\mathcal{R}$ de devenir informative [132]. Cependant, nous avons noté que l'approche d'extraction de la base $\mathcal{RN}\mathcal{R}$ présente quelques limites, à savoir :

- La base $\mathcal{RN}\mathcal{R}$ ne couvre pas l'ensemble de toutes les règles valides, *i.e.*, des règles associatives valides pourraient ne pas être générées avec le mécanisme d'inférence proposé.
- En se référant à la définition 7, une règle R_2 redondante par rapport à R_1 , doit avoir les mêmes mesures de support et de confiance que celles de la règle R_1 . Néanmoins, la confiance d'une règle R_3 , obtenue suite à l'application de l'axiome \mathcal{TC} sur les deux règles R_1 et R_2 de $\mathcal{RN}\mathcal{R}$, n'est ni égale à la confiance de R_1 ni celle de R_2 .
- L'algorithme qui permet d'extraire la base $\mathcal{RN}\mathcal{R}$ n'est pas correct, dans le sens où il ne garantit pas la génération de toutes les règles non redondantes exactes.

Bien que la base $\mathcal{RN}\mathcal{R}$ soit informative, l'utilisation de l'axiome d'augmentation et de \mathcal{TC} ne garantit pas la génération de toutes les règles valides. Par conséquent, le mécanisme d'inférence utilisé n'est pas complet et l'extraction de la base $\mathcal{RN}\mathcal{R}$ se fait avec perte d'information.

2.3.2 Approches de formalisation de bases génériques sans perte d'information

Afin d'extraire les bases génériques des règles associatives, Bastide *et al.* se sont basés sur la définition de redondance suivante [7] :

Définition 9 Soit \mathcal{AR} l'ensemble des règles associatives pouvant être extraites à partir d'un contexte d'extraction \mathcal{K} . Une règle $R : X \xrightarrow{\alpha} Y \in \mathcal{AR}$ est dite redondante par rapport à (ou dérivable de) $R_1 : X_1 \xrightarrow{\alpha} Y_1$ si R satisfait les conditions suivantes :

1. $Supp(R) = Supp(R_1) \wedge Conf(R) = Conf(R_1) = \alpha$;
2. $X_1 \subseteq X \wedge Y \subseteq Y_1$.

Bastide *et al.* définissent la base générique des règles associatives exactes, notée \mathcal{GBE} , comme suit [7] :

Définition 10 Soient $\mathcal{IFF}_{\mathcal{K}}$ l'ensemble d'itemsets fermés fréquents et \mathcal{G}_c l'ensemble des générateurs minimaux d'un itemset fermé fréquent c . La base \mathcal{GBE} est définie comme suit : $\mathcal{GBE} = \{g \Rightarrow (c - g) \mid c \in \mathcal{IFF}_{\mathcal{K}} \wedge g \in \mathcal{G}_c \wedge g \neq c\}$.

Bastide *et al.* ont également introduit une base informative des règles approximatives, notée \mathcal{GBA} , définie comme suit [7] :

Définition 11 Soient $\mathcal{IFF}_{\mathcal{K}}$ l'ensemble d'itemsets fermés fréquents et \mathcal{G} l'ensemble des générateurs minimaux. La base \mathcal{GBA} est définie comme suit :

$$\mathcal{GBA} = \{g \Rightarrow (c - g), c \in \mathcal{IFF}_{\mathcal{K}} \wedge g \in \mathcal{G} \wedge \omega(g) \subset c \wedge Conf(R) \geq minconf\}.$$

En se référant aux définitions 10 et 11, les bases génériques de règles associatives peuvent être obtenues directement à partir l'iceberg du treillis de Galois [15]. En effet, dans une telle structure, chaque itemset fermé fréquent est étiqueté par la liste de ses générateurs minimaux. Ainsi, la base \mathcal{GBA} représente des relations inter-noeuds, alors que la base \mathcal{GBE} représente des relations intra-noeuds [15].

Le mécanisme d'inférence \mathcal{IRF} peut servir comme moyen de dérivation [105], permettant de rendre la base \mathcal{GBE} informative. Pasquier a montré également qu'en appliquant le mécanisme d'inférence \mathcal{IRF} , il est possible de déterminer le support et la confiance de toutes les règles valides approximatives redondantes [105]. Toutefois, Kryszkiewicz a contredit l'affirmation de Pasquier quant à la validité du mécanisme d'inférence \mathcal{IRF} sur la base \mathcal{GBA} [87]. L'application du mécanisme d'inférence \mathcal{IRF} à \mathcal{GBA} ne garantit pas la dérivation des règles valides. Par conséquent, l'extraction de la base \mathcal{GBA} est faite avec perte d'information [87]. Afin de pallier ce problème, Kryszkiewicz propose d'appliquer l'opérateur de couverture \mathcal{C} sur le couple $(\mathcal{GBE}, \mathcal{GBA})$.

2.4 Discussion

Sur la base du tableau 2.1 – comparant les différentes approches de formalisation de bases génériques– nous avons pu dégager les constatations suivantes :

Base	Forme des règle	Informativité	Dérivabilité			Type de règles dérivées
			Mécanisme d'inférence	Complet	Correct	
\mathcal{DG}^+	pseudo-fermé/ fermé	non	AA	oui	non	\mathcal{RA} exactes
\mathcal{BP}	fermé/fermé	non	IRF	oui	non	\mathcal{RA} approximatives
$(\mathcal{BP}, \mathcal{DG}^+)$	(pseudo-fermé/ fermé) ; (fermé/ fermé)	oui	IRF, AA	oui	oui	\mathcal{RA} approximatives
\mathcal{RR}	gen.min/ fermé	non	\mathcal{C}	oui	oui	\mathcal{RA}
$\mathcal{RN}\mathcal{R}^a$	gen.min/ gen.min	oui	Augmentation + \mathcal{TC}	non	oui	\mathcal{RA}
\mathcal{BR}^*	gen.min/ fermé	non	Augmentation décomposition**	oui	oui	\mathcal{RA}
\mathcal{GBE}	gen.min/ fermé	oui	IRF	oui	oui	\mathcal{RA} exactes
\mathcal{GBA}	gen.min/ fermé	non	IRF	oui	non	\mathcal{RA} approximatives
$(\mathcal{GBE}, \mathcal{GBA})$	gen.min/ fermé	oui	\mathcal{C}	oui	oui	\mathcal{RA}

TABLE 2.1 – Tableau comparatif des bases génériques de règles associatives.

(*) : La base \mathcal{BR} est équivalente à la base \mathcal{RR} (**) : L'application de ces axiomes revient à appliquer l'opérateur de couverture \mathcal{C} () : L'utilisation de l'opérateur de couverture \mathcal{C} ne respecte pas la définition de redondance (*c.f.*, définition 9, page 16)^(a) : L'algorithme d'extraction de cette base n'est pas correct.

1. Les règles des bases \mathcal{RR} , \mathcal{BR} et du couple $(\mathcal{GBE}, \mathcal{GBA})$ véhiculent le maximum d'informations utiles. En effet, il a été prouvé que les règles qui traduisent des implications entre les générateurs minimaux et les itemsets fermés fréquents véhiculent le maximum d'informations utiles, puisqu'elles possèdent une prémisse minimale et une conclusion maximale [86, 105];
2. Les règles génériques du couple $(\mathcal{DG}^+, \mathcal{BP}^2)$ sont de formes différentes. Ainsi, cette hétérogénéité peut entraîner une difficulté supplémentaire pour interpréter les connaissances présentées à l'utilisateur ;
3. Seules les bases génériques $\mathcal{RN}\mathcal{R}$, \mathcal{GBE} , $(\mathcal{GBE}, \mathcal{GBA})$ et $(\mathcal{DG}^+, \mathcal{BP})$ sont qualifiées de bases informatives ;
4. Seuls les couples $(\mathcal{GBE}, \mathcal{GBA})$ et $(\mathcal{DG}^+, \mathcal{BP})$ sont extraits sans perte d'information. En effet, la non perte d'information est due, d'une part au fait que ces deux couples sont informatifs et d'autre part, au fait que les mécanismes d'inférence utilisés pour la dérivation des règles associatives sont corrects et complets.

2.5 Contributions

Nous avons pu relever, dans la section précédente, que seule l'approche $(\mathcal{GBE}, \mathcal{GBA})$, tout en étant homogène, permet de dériver, sans perte d'information, les règles associatives. Cependant, deux lacunes surgissent :

- La définition de la redondance donnée par la définition 9 n'a pas été respectée lors de l'utilisation de l'opérateur de couverture \mathcal{C} . En effet, une règle $R' : X' \Rightarrow (Y' - X)$ redondante par rapport à une règle générique $R : X \Rightarrow (Y - X)$ doit avoir les mêmes mesures de support et de confiance que R . Or, en appliquant l'opérateur de couverture sur une règle générique $R : X \Rightarrow (Y - X)$, toutes les règles $R' : X' \Rightarrow (Y' - X')$, ayant un support et une confiance supérieurs ou égaux à ceux de R , sont aussi dérivées.
- L'approche $(\mathcal{GBE}, \mathcal{GBA})$ souffre de la génération d'un nombre important de règles surtout pour des contextes d'extraction considérées denses. Ce constat est renforcé par le fait que pour les contextes considérés comme épars, l'extraction du couple $(\mathcal{GBE}, \mathcal{GBA})$ n'apporte aucun gain en terme de compacité [52].

Dans ce qui suit, nous proposons deux systèmes axiomatiques corrects et complets servant comme mécanisme d'inférence à partir du couple $(\mathcal{GBE}, \mathcal{GBA})$, et qui permettent de dériver l'ensemble de toutes les règles valides [15].

2.5.1 Proposition d'un nouveau système axiomatique pour le couple $(\mathcal{GBE}, \mathcal{GBA})$

Le couple de bases génériques informatives $(\mathcal{GBE}, \mathcal{GBA})$ présente "les bordures maximales" supportant toutes les règles associatives dérivées. En effet, une règle dérivée ne peut pas présenter une prémisse plus petite que celle d'une règle générique, *i.e.*, à partir de laquelle elle peut être dérivée. En outre, une règle dérivée ne peut pas présenter aussi une conclusion plus large que celle de la règle générique associée. C'est pour cette raison que nous remettons en cause l'inclusion large des conclusions donnée dans la définition 9 de la redondance [7]. Pour cela, nous avons redéfini la notion de redondance comme suit :

Définition 12 Soit \mathcal{AR} l'ensemble de règles associatives pouvant être extrait du contexte d'extraction \mathcal{K} . Une règle $R : X \xrightarrow{\alpha} Y^3 \in \mathcal{AR}$ est dite redondante par rapport à (dérivée à partir de) la règle non redondante $R_1 : X_1 \xrightarrow{\alpha} Y_1$ si elle remplit les conditions suivantes :

1. $Supp(R) = Supp(R_1)$ et $Conf(R) = Conf(R_1)$
2. $(X_1 \subset X \wedge Y \subset Y_1)$ ou $(X_1 = X \wedge Y \subset Y_1)$

Dans ce qui suit, nous allons montrer comment dériver les règles associatives à partir du couple de bases génériques $(\mathcal{GBE}, \mathcal{GBA})$, grâce à l'utilisation de deux mécanismes d'inférence. Puisque, la prémisse d'une règle générique est minimale, alors suite à l'augmentation de cette prémisse, il est possible de dériver une autre règle

1. La base \mathcal{DG}^+ désigne la redéfinition de la base de Guigues-Duquenne adaptée au cadre des règles associatives exactes [105].
 2. La base \mathcal{BP} désigne la redéfinition de la base de Luxemburger adaptée au cadre des règles associatives approximatives [105].
 3. Si $Conf(R : X \xrightarrow{\alpha} Y) = 1$, alors α est omis, *i.e.*, $R : X \Rightarrow Y$.

associative. De plus, comme la conclusion d'une règle générique est maximale, alors il est possible de dériver une autre règle associative suite à une décomposition de cette conclusion.

Axiomatisation de la dérivation à partir de la base \mathcal{GBE}

La proposition 1 ci-dessous introduit un ensemble d'axiomes permettant la dérivation de toutes les règles associatives exactes à partir de la base générique de règles associatives exactes \mathcal{GBE} .

Proposition 1 *Soient \mathcal{ERB} et \mathcal{EAR} respectivement l'ensemble des règles génériques exactes et l'ensemble de toutes les règles associatives exactes pouvant être extraits d'un contexte d'extraction \mathcal{K} . Alors, les axiomes suivants sont valides [15] :*

A1. Décomposition : *Si $X \Rightarrow Y \in \mathcal{ERB}$ alors $X \Rightarrow Z \in \mathcal{EAR}$, $\forall Z \subset Y$*

A2. Augmentation : *Si $X \Rightarrow Y \in \mathcal{ERB}$ alors $X \cup Z \Rightarrow Y - \{Z\} \in \mathcal{EAR}$, $\forall Z \subset Y$*

Axiomatisation de la dérivation de la base \mathcal{GBA}

La proposition 2 suivante caractérise un ensemble d'axiomes permettant la dérivation de toutes les règles approximatives à partir de la base générique \mathcal{GBA} .

Proposition 2 *Soient \mathcal{ARB} et \mathcal{AAR} respectivement l'ensemble des règles génériques approximatives et l'ensemble de toutes les règles approximatives pouvant être extraits à partir du contexte d'extraction \mathcal{K} . Les axiomes d'inférence suivants sont valides [15] :*

A1. Décomposition : *Si $X \stackrel{\alpha}{\Rightarrow} Y \in \mathcal{ARB}$ alors $X \stackrel{\alpha}{\Rightarrow} Z \in \mathcal{AAR}$ si $|XZ| = |XY|$ avec $Z \subset Y$.*

A2. Augmentation *Si $X \stackrel{\alpha}{\Rightarrow} Y \in \mathcal{ARB}$ alors $X \cup Z \stackrel{\alpha}{\Rightarrow} Y - \{Z\} \in \mathcal{AAR}$ si $|XZ| = |X|$ avec $Z \subset Y$.*

En outre, et au delà de la notion d'informativité et de compacité, l'approche d'extraction du couple $(\mathcal{GBE}, \mathcal{GBA})$ proposée par Bastide *et al.* [7] soulève un certain nombre de questions d'ordre sémantique :

1. A-t-on atteint l'objectif de l'extraction des bases génériques, à savoir la présentation d'un sous-ensemble réduit de règles associatives exploitables par l'utilisateur ?
2. Le couple $(\mathcal{GBE}, \mathcal{GBA})$ fournit-il vraiment à l'utilisateur la "bonne" information dont il a besoin ?

Dans ce qui suit, nous allons essayer de porter quelques éléments de réponse à ces interrogations, en proposant une nouvelle base générique informative, et en revisitant la sémantique associée à la notion de règle générique.

2.5.2 Proposition d'une nouvelle base générique \mathcal{IGB}

Les limites du couple $(\mathcal{GBE}, \mathcal{GBA})$ nous ont motivés pour introduire une nouvelle base générique, appelée \mathcal{IGB} , que nous définissons comme suit [53, 54] :

Définition 13 *Soient $\mathcal{IFF}_{\mathcal{K}}$ l'ensemble des itemsets fermés fréquents et \mathcal{G}_c l'ensemble des générateurs minimaux de tous les itemsets fermés fréquents inclus ou égaux dans un itemset fermé fréquent I . La base \mathcal{IGB} est définie comme suit :*

$$\mathcal{IGB} = \{R : g_s \Rightarrow (I - g_s) \mid I \in \mathcal{IFF}_{\mathcal{K}} \wedge I - g_s \neq \emptyset \wedge g_s \in \mathcal{G}_c, c \in \mathcal{IFF}_{\mathcal{K}} \wedge c \subseteq I \wedge \text{Conf}(R) \geq \text{minconf} \wedge \nexists g' \subset g_s \wedge \text{Conf}(g' \Rightarrow I - g') \geq \text{minconf} \}.$$

Ainsi, les règles génériques de \mathcal{IGB} représentent des implications entre des prémisses minimales et des conclusions maximales (selon l'ordre d'inclusion). En effet, il a été prouvé dans la littérature que ce type de règles est le plus général (*i.e.*, convoyant le maximum d'information) [86, 105].

Proposition 3 *Soit I un itemset fermé fréquent non vide. Si $\text{Supp}(I) \geq \text{minconf}$, alors nous pouvons extraire la règle générique suivante : $\emptyset \Rightarrow I$ [54].*

À partir de la proposition 3, nous constatons que les prémisses de certaines règles génériques de la base \mathcal{IGB} peuvent être vides. Pour cela, nous distinguons deux types de règles génériques [54] :

1. **Règles factuelles**, qui ont une prémisse vide. Bien que telles règles aient été considérées dans les travaux de Kryszkiewicz [85] et de Luong [96], aucune interprétation sémantique n'a été fournie pour ce type de connaissance.
2. **Règles implicatives**, qui ont une prémisse non vide.

Afin de montrer l'intérêt pratique de la base générique introduite, supposons qu'un gestionnaire d'une surface commerciale cherche à déterminer le lot d'items minimal pour arriver à pousser les ventes des lots d'items qui se vendent actuellement avec une première valeur, pour atteindre une autre valeur plus élevée. Sur un exemple pratique et en utilisant les règles génériques du couple $(\mathcal{GBE}, \mathcal{GBA})$, il a été montré que ces règles n'apportent aucune plus value et ne sont donc d'aucune utilité pour le gestionnaire [52]. Cependant, les règles génériques de la base \mathcal{IGB} rejoignent l'objectif du gestionnaire, et ceci grâce aux raisons suivantes [52] :

- d'une part, par la catégorisation des règles de \mathcal{IGB} . En effet, *les règles factuelles* traduisent des faits (*i.e.*, l'objectif matérialisé par le seuil *minconf* est déjà atteint). En d'autres termes, ces règles contiennent les items sur lesquels aucune activité promotionnelle n'est requise. En revanche, les règles implicatives traduisent des conditions qu'il faut remplir afin d'atteindre l'objectif fixé par l'utilisateur.
- d'autre part, l'exploitation de règles comportant les prémisses minimales seulement.

Afin de dériver l'ensemble de toutes les règles associatives valides, nous proposons, dans ce qui suit, un système axiomatique et nous prouvons qu'il est **correct** et **complet**.

La correction du système axiomatique est donnée par la proposition suivante :

Proposition 4 *Soient \mathcal{IGB} la base générique et \mathcal{AR} l'ensemble de toutes les règles valides pouvant être extraites à partir d'un contexte d'extraction \mathcal{K} . Le système axiomatique suivant est correct [54] :*

A0. Réflexivité conditionnelle : *Si $X \xrightarrow{\alpha} Y \in \mathcal{IGB}$ et $X \neq \emptyset$ alors $X \xrightarrow{\alpha} Y$ est valide.*

A1. Augmentation : *Si $R : X \xrightarrow{\alpha} Y \in \mathcal{IGB}$ et $Z \subset Y$, alors $R' : XZ \xrightarrow{\alpha'} Y - Z$ est valide avec une confiance $\alpha' \geq \alpha$.*

A2. Décomposition : *Soit $R : X \xrightarrow{\alpha} Y$ une règle valide obtenue suite à l'application de l'un des axiomes de réflexivité conditionnelle ou d'augmentation sur l'une des règles génériques de \mathcal{IGB} , $Z \subset Y$ et $\omega(XZ) = XY$. La règle $R' : X \xrightarrow{\alpha} Z$ est valide.*

La complétude du système axiomatique, qui revient à montrer qu'il permet de dériver **toutes** les règles valides pouvant être extraites d'un contexte d'extraction, est donnée par la proposition suivante [54].

Proposition 5 *Toutes les règles pouvant être extraites du contexte d'extraction \mathcal{K} sont dérivables de \mathcal{IGB} moyennant le système axiomatique donné par la proposition 4.*

Au-delà de la validité des règles dérivées, la proposition suivante montre l'informativité de la base \mathcal{IGB} .

Proposition 6 *La base \mathcal{IGB} est informative, *i.e.*, les mesures de support et de confiance des règles redondantes peuvent être déterminées avec exactitude [53].*

Comparons maintenant le nombre de règles de la base \mathcal{IGB} par rapport à celui des règles des différentes bases génériques (*i.e.*, \mathcal{RR} , $(\mathcal{GBE}, \mathcal{GBA})$ et \mathcal{RN}), puis les taux de compacité des différentes bases génériques par rapport au nombre de toutes les règles valides \mathcal{AR} pouvant être extraites en utilisant l'algorithme APRIORI [3] par exemple. Le taux de compacité est mesuré comme suit : $\text{comp}_{base} = 1 - \left(\frac{\text{taille}_{Base}}{\text{taille}_{\mathcal{AR}}}\right)$.

- **Contextes épars :** Le tableau 2.2 montre l'évolution du nombre de règles des différentes bases génériques lorsque nous considérons des contextes de test épars. Le tableau 2.3 illustre le taux de compacité pour des contextes considérés épars.

À la lecture des tableaux 2.2 et 2.3, nous constatons que :

Base	$minconf$ (%)	\mathcal{RR}	\mathcal{IGB}	$\mathcal{RN}\mathcal{R}$	$(\mathcal{GBE}, \mathcal{GBA})$	\mathcal{AR}
T10I4D100K	0,50	585	1074	1231	2216	2216
	1,00	890	1595	1231	2216	2216
	10,00	497	1188	1105	2172	2172
	50,00	215	606	608	1145	1145
	100,00	0	0	0	0	0
RETAIL	00,50	284	580	861	1382	1382
	1,00	459	757	838	1334	1334
	10,00	214	427	553	770	770
	50,00	305	353	402	438	438
	100,00	0	0	0	0	0
ACCIDENTS	70,00	23	529	1911	8226	8226
	80,00	83	864	1822	6445	6445
	90,00	50	588	1318	3407	3407
	100,00	0	0	0	0	0

TABLE 2.2 – Variation du nombre de règles associatives extraites de contextes considérés épars *vs.* la variation de $minconf$

- L'extraction du couple $(\mathcal{GBE}, \mathcal{GBA})$ n'apporte aucun gain en terme de compacité. Ceci est dû au fait que l'ensemble des itemsets (fermés) fréquents est confondu avec celui des générateurs minimaux. Ainsi, construire des implications entre les générateurs minimaux et les itemsets fermés fréquents revient à construire des implications entre les itemsets fréquents.
- Pour $minconf = 100\%$, la cardinalité de toutes les bases génériques est égale à 0. En effet, pour une telle valeur de $minconf$, les bases \mathcal{RR} , \mathcal{IGB} et $(\mathcal{GBE}, \mathcal{GBA})$ sont constituées de règles représentant des implications entre les générateurs minimaux d'une même classe d'équivalence et l'itemset fermé fréquent associé. Étant donné que l'ensemble des itemsets fermés fréquents est confondu avec celui des générateurs minimaux et que la prémisse et la conclusion d'une règle doivent être disjointes, le nombre de règles générées est alors égal à 0. Quant à la base $\mathcal{RN}\mathcal{R}$, les règles représentent des implications entre les générateurs minimaux d'un itemset fermé fréquent I et ceux d'un itemset fermé fréquent J prédécesseur immédiat de I . Puisque, pour les contextes considérés épars, un générateur minimal de J est inclus dans celui de I , alors le nombre de règles est lui aussi égal à 0.
- Les taux de compacité des différentes bases génériques peuvent être ordonnés comme suit : $comp_{\mathcal{RR}} \leq comp_{\mathcal{IGB}} \leq comp_{\mathcal{RN}\mathcal{R}} \leq comp_{(\mathcal{GBE}, \mathcal{GBA})}$.
- **Contextes denses** : Le tableau 2.4 met en évidence l'évolution du nombre de règles des différentes bases génériques lorsque nous considérons des contextes considérés denses. Le tableau 2.5 illustre le taux de compacité des différentes bases génériques par rapport au nombre de toutes les règles valides \mathcal{AR} extraites à partir des contextes considérés denses.

L'analyse des tableaux 2.4 et 2.5 nous permet de relever ce qui suit :

- Pour $minconf = 100\%$, le nombre de règles des bases \mathcal{RR} , \mathcal{IGB} et $(\mathcal{GBE}, \mathcal{GBA})$ est identique avec une singularité pour $(\mathcal{GBE}, \mathcal{GBA})$ que nous expliciterons par la suite. Ceci est justifié par le fait que, pour cette valeur de $minconf$, les bases sont constituées de règles représentant des implications entre les générateurs minimaux et l'itemset fermé fréquent d'une même classe d'équivalence.
- Pour le contexte MUSHROOM, le nombre de règles du couple $(\mathcal{GBE}, \mathcal{GBA})$ est différent de celui des bases \mathcal{RR} et \mathcal{IGB} lorsque $minconf = 100\%$. En effet, l'item '85' apparaît dans toutes les transactions ; par conséquent, les bases \mathcal{RR} et \mathcal{IGB} vont contenir la règle " $\emptyset \Rightarrow 85$ ". Cependant, cette règle ne peut pas apparaître dans le couple $(\mathcal{GBE}, \mathcal{GBA})$ puisque les règles ayant une prémisse vide ne sont pas prises

Base	$minconf$ (%)	$comp_{\mathcal{RR}}$	$comp_{IGB}$	$comp_{\mathcal{RN}\mathcal{R}}$	$comp_{(GBE,GBA)}$
T10I4D100K	0,50	73,61%	51,54%	44,45%	00,00%
	1,00	59,84%	28,03%	44,45%	00,00%
	10,00	77,12%	45,41%	49,13%	00,00%
	50,00	81,23%	47,08%	46,90%	00,00%
	100,00	00,00%	00,00%	00,00%	00,00%
RETAIL	0,50	79,46%	58,04%	37,7%	00,00%
	1,00	65,60%	43,26%	37,18%	00,00%
	10,00	72,21%	44,55%	28,19%	00,00%
	50,00	30,37%	19,41%	8,22%	00,00%
	100,00	00,00%	00,00%	00,00%	00,00%
ACCIDENTS	70,00	99,73%	93,57%	76,77%	00,00%
	80,00	98,72%	86,60%	71,40%	00,00%
	90,00	98,54%	82,75%	61,32%	00,00%
	100,00	00,00%	00,00%	00,00%	00,00%

TABLE 2.3 – Comparatif des taux de compacité des bases génériques extraites à partir de contextes considérés épars.

en considération.

- Pour $minconf = 100\%$, le taux de compacité de la base $\mathcal{RN}\mathcal{R}$ est très important. Ceci peut s'expliquer par le fait que les règles génériques représentent des implications entre les générateurs minimaux d'un itemset fermé fréquent I et ceux d'un itemset fermé fréquent J prédécesseur immédiat de I . Ainsi, le nombre de règles exactes est déterminé par l'ensemble des générateurs minimaux de J non inclus dans les générateurs minimaux de I .
- Pour $minconf < 100\%$, les taux de compacité des différentes bases génériques sont ordonnés comme suit : $comp_{\mathcal{RR}} \leq comp_{IGB} \leq comp_{\mathcal{RN}\mathcal{R}} \leq comp_{(GBE,GBA)}$.

En revanche, pour $minconf = 100\%$, les taux sont classés comme suit : $compacité_{\mathcal{RN}\mathcal{R}} \leq compacité_{\mathcal{RR}} \leq compacité_{IGB} \leq compacité_{(GBE,GBA)}$.

Il est à noter que l'évolution du nombre de règles des différentes bases génériques n'est pas déterminée par la nature du contexte. En effet, le nombre de règles génériques évolue de la même manière pour les contextes considérés denses ou épars.

2.6 Conclusion

Le développement d'algorithmes d'extraction d'itemsets fermés fréquents de plus en plus efficaces a permis d'améliorer les performances du processus d'exploration de bases de données très volumineuses. Cependant, la taille de la connaissance présentée à l'utilisateur, en terme du nombre de règles associatives, reste prohibitive. Ceci a motivé des travaux pour la proposition d'approches d'extraction de sous-ensembles réduits de règles, appelés *bases génériques*, contenant les règles qui véhiculent le maximum d'informations utiles. Une étude critique des différentes approches a permis de dégager le fait que seul le couple de bases génériques (GBE, GBA) , proposé par Bastide *et al.*, peut être qualifié d'approche sans perte d'information. Toutefois, nous avons montré que ce couple de bases ne peut pas constituer un outil d'aide à la décision présentant une plus-value cognitive, *i.e.* qu'il contient des règles associatives qui n'ajoutent aucune connaissance additionnelle pour l'utilisateur. Ainsi, comme première contribution, nous avons proposé deux systèmes axiomatiques corrects et complets qui peuvent servir de mécanismes d'inférence à partir de ce couple de bases. Ensuite, nous avons proposé une nouvelle base générique informative IGB permettant de déterminer exactement le support et la confiance des règles dérivées

Base	$minconf(\%)$	\mathcal{RR}	\mathcal{IGB}	$\mathcal{RN}\mathcal{R}$	$(\mathcal{GBE}, \mathcal{GBA})$	\mathcal{AR}
MUSHROOM	30	63	427	1829	7623	94894
	50	318	967	1732	5761	79437
	70	429	966	1501	2159	58010
	90	520	799	933	2159	24408
	100	558	558	32	557	8450
CHESS	87	71	1194	4873	31538	42740
	89	430	2423	4873	29704	40451
	91	486	2655	4799	26147	36098
	93	616	2766	4734	21350	29866
	95	768	2754	4260	14373	20312
	97	467	1286	2857	7695	10830
	100	342	342	3	342	418
CONNECT	95	97	809	3054	25336	77816
	96	1003	2140	3054	18470	73869
	97	1178	2438	3051	18470	60101
	98	1404	2598	2804	11717	41138
	99	1667	2284	2473	5250	19967
	100	682	682	10	682	2260
PUMSB	90	260	1466	8385	36640	71488
	92	1567	3696	8375	35142	68465
	94	2572	5448	8304	29028	56349
	96	258	5208	7466	18350	35013
	98	1753	3340	5201	8014	14692
	100	1118	1118	74	1118	1190

TABLE 2.4 – Variation du nombre de règles associatives extraites à partir de contextes considérés denses *vs.* la variation de $minconf$

via un système axiomatique correct et complet. Contrairement à la catégorisation classique des règles associatives (*i.e.*, exactes et approximatives), nous avons proposé deux nouveaux types de règles, factuelles et implicatives, et nous avons montré leur intérêt dans le processus de prise de décision. L'étude empirique menée sur des bases benchmarks a fait ressortir que la base \mathcal{IGB} apporte d'importants gains en terme de compacité par rapport aux bases génériques extraites sans perte d'information. Nous avons également montré que l'exploitation des règles associatives peuvent être améliorées, d'une part grâce à la compacité de la base \mathcal{IGB} et d'autre part grâce à la catégorisation des règles génériques en *règles factuelles* et *règles implicatives*.

Base	$minconf(\%)$	$comp_{\mathcal{R}\mathcal{R}}$	$comp_{\mathcal{I}GB}$	$comp_{\mathcal{R}\mathcal{N}\mathcal{R}}$	$comp_{(GB\mathcal{E},GBA)}$
MUSHROOM	30	99,94%	99,56%	98,08%	91,97%
	50	99,96%	98,79%	97,82%	92,75%
	70	99,27%	98,34%	97,42%	92,21%
	90	97,87%	96,73%	96,18%	91,16%
	100	93,40%	93,40%	99,63%	93,40%
CHESS	87	99,84%	97,21%	88,6%	26,20%
	89	98,94%	94,02%	87,96%	27,57%
	91	98,66%	92,71%	86,71%	27,57%
	93	97,6%	90,74%	84,15%	28,52%
	95	96,12%	86,45%	79,03%	29,24%
	97	95,69%	88,13%	73,62%	28,94%
	100	18,19%	18,19%	99,29%	18,19%
CONNECT	95	99,88%	98,97%	96,08%	67,45%
	96	98,65%	97,11%	95,87%	67,81%
	97	98,04%	95,95%	94,93%	69,27%
	98	96,59%	93,69%	93,19%	71,52%
	99	91,66%	88,57%	87,62%	26,28%
	100	69,83%	69,83%	99,56%	69,83%
PUMSB	90	99,64%	97,95%	88,28%	48,74%
	92	97,89%	94,61%	87,77%	48,68%
	94	95,44%	90,34%	85,27%	48,49%
	96	99,27%	85,13%	78,68%	47,60%
	98	88,07%	77,34%	64,60%	45,46%
	100	6,06%	6,06%	93,79%	6,06%

TABLE 2.5 – Comparatif des taux de compacité des bases génériques pour des contextes considérés denses

Chapitre 3

Extraction de bases génériques de règles associatives

3.1 Introduction

Les approches classiques basées sur l'extraction des itemsets fréquents font ressortir que le problème de la pertinence et de l'utilité des règles extraites, est d'une importance capitale dans un processus d'extraction des règles associatives. En effet, pour un itemset fréquent I , le nombre de règles associatives non triviales qui peuvent être générées est égal à $(2^{|I|} - 1)$. Ainsi, dans la plupart des contextes d'extraction réels, des milliers et même des millions de règles associatives peuvent être générées [117, 135], dont une large partie est redondante [15]. Pour remédier à ce problème de redondance, les approches basées sur l'extraction des itemsets fermés ont proposé une autre alternative en fournissant – du moins théoriquement – les éléments nécessaires pour extraire des bases génériques de règles associatives informatives et compactes. Ces éléments sont [16] : (i) les itemsets fermés fréquents ; (ii) la liste des générateurs minimaux associés à chaque itemset fermé fréquent ; et (iii) la relation d'ordre entre les itemsets fermés fréquents.

Un survol critique des algorithmes fondés sur l'extraction des itemsets fermés fréquents montre que la quasi-totalité de ces algorithmes s'est focalisée sur l'extraction de la première composante, *i.e.*, les itemsets fermés fréquents, et omettent les deux dernières [16]. Seuls les algorithmes adoptant la stratégie "*Générer-et-tester*" font mieux en permettant aussi l'extraction des générateurs minimaux, sans se soucier de la construction de la relation d'ordre partiel. Par conséquent, les algorithmes existants ne sont pas en mesure de générer les bases génériques de règles associatives.

3.2 Discussion

Le problème de découverte des règles associatives, considéré sous l'optique de la découverte des itemsets fermés, pourrait être reformulé comme suit [16] :

1. Découvrir deux "*systèmes de fermeture*" distincts, *i.e.*, des ensembles fermés sous l'opérateur d'intersection, à savoir l'ensemble des itemsets fermés et l'ensemble des générateurs minimaux. En outre, la relation d'ordre sous-jacente devrait être déterminée ;
2. Dériver des bases génériques de règles associatives à partir de ces deux "*systèmes de fermeture*" et de la relation d'ordre sous-jacente.

À la lumière de cette reformulation et en tenant compte de l'objectif de réduire le nombre de règles associatives, nous considérons les caractéristiques (ou dimensions) suivantes permettant de déterminer les buts

réalisés (construction de la relation d'ordre) et de montrer les différences majeures qui pourraient exister entre les algorithmes d'extraction des itemsets fermés (stratégie adoptée, éléments générés, etc) [12] :

1. **Stratégie d'exploration** : trois stratégies principales sont utilisées afin d'explorer l'espace de recherche : "*Générer-et-tester*", "*Diviser-pour-générer*" et une stratégie *hybride* qui combine les deux précédentes ;

2. **Espace de recherche** : la valeur "exhaustive" de cette caractéristique indique que toutes les transactions seront prises en compte lors du premier balayage. En revanche, la valeur "échantillon" signifie que seul un échantillon du contexte d'extraction sera considéré du moins pour un premier balayage du contexte d'extraction [122] ;

3. **Type du format des données** : cette caractéristique indique le type des données prises en entrée de l'algorithme. Elle peut prendre comme valeurs : format horizontal (étendu), format de vertical, relationnel, texte brut, données multimédia ;

4. **Stockage des informations** : différentes structures de données peuvent être utilisées pour stocker les informations nécessaires à l'exécution d'un algorithme (pour stocker les candidats, le contexte d'extraction, etc). La structure la plus privilégiée semble être la structure *trie*, qui est un arbre de recherche, dont les éléments sont stockés d'une manière condensée ;

5. **Choix des générateurs** : cette caractéristique indique si les générateurs sont choisis parmi ceux considérés comme minimaux ;

6. **Calcul de la fermeture** : nous distinguons principalement deux manières pour calculer la fermeture d'un générateur (minimal) : soit *via* des intersections des transactions auxquelles il appartient (*i.e.*, son extension), soit d'une manière *incrémentale*, *i.e.*, *via* la recherche des items appartenant à la fermeture en question. Nous distinguons aussi le fait que le calcul des fermetures est réalisé sous-ensemble par sous-ensemble (calcul partiel) ou non (calcul global) ;

7. **Calcul redondant des fermetures** : étant donné la propriété anti-matroïde des classes d'équivalence, *i.e.*, un itemset fermé fréquent peut avoir plus qu'un seul générateur minimal, il peut être calculé plus qu'une fois sauf si des tests sont effectués. Aussi, cette caractéristique précise s'il y a une possibilité de calcul redondant des fermetures. Dans le cas contraire, elle montre comment ce calcul redondant peut être évité ;

8. **Type des règles associatives générées en sortie** : cette caractéristique fixe le type des règles associatives dérivées : *e.g.*, booléen, flou, spatial, temporel, généralisé, etc ;

9. **Ordre partiel** : cette caractéristique indique si la relation d'ordre sous-jacente des itemsets fermés fréquents a été ou non déterminée ;

10. **Éléments générés en sortie** : grâce à cette caractéristique, nous pouvons préciser les connaissances extraites par un algorithme donné. La valeur "RAs génériques" signifie que seul un sous-ensemble, non-redondant et sans perte d'information, de toutes les règles a été dérivé. Par contre, la valeur "RAs redondantes" indique que seules toutes les règles associatives redondantes peuvent être dérivées des éléments générés en sortie.

Le tableau 3.1 résume les principales caractéristiques des algorithmes de génération d'itemsets fermés fréquents par rapport aux caractéristiques présentées ci-dessus. Une première constatation qui se dégage de ce tableau est qu'aucun algorithme n'est arrivé à tenir les promesses avancées par cette nouvelle alternative d'algorithmes en matière de réduction de la redondance des règles associatives. En effet, la construction de la relation d'ordre est une condition *sine qua non* pour l'obtention de la base générique des règles associatives approximatives [16].

Une deuxième constatation concerne la notion de générateur minimal. En effet, malgré l'importance de cette dernière dans les bases génériques, étant donné qu'elle permet d'avoir des prémisses minimales, seuls les algorithmes adoptant la stratégie "*Générer-et-tester*" se sont intéressés à l'extraction des générateurs minimaux (*cf.* dernière ligne du tableau 3.1). Pour ces algorithmes, l'obtention des règles génériques exactes peut se faire d'une manière directe, étant donné qu'ils extraient les générateurs minimaux fréquents. Pour pouvoir extraire les règles génériques approximatives, ils nécessitent l'exécution en aval d'un algorithme permettant de construire la relation d'ordre partiel, tel que celui proposé par Valtchev *et al.* [125]. Les algorithmes, appartenant aux trois autres catégories, se sont focalisés sur l'énumération des itemsets fermés fréquents. Pour obtenir les bases géné-

riques de règles associatives, ces algorithmes nécessitent d'être couplés avec deux autres algorithmes. Le premier permettra de construire l'ordre partiel et le second aura pour objectif de retrouver les générateurs minimaux fréquents tel que l'algorithme JEN [47]. Ce dernier permet de retrouver les générateurs minimaux à condition que l'ordre partiel soit déjà construit.

	1 ^{ère} CATÉGORIE	2 ^{ème} CATÉGORIE	3 ^{ème} CATÉGORIE	4 ^{ème} CATÉGORIE
Stratégie d'exploration	Générer-et-tester	Diviser-pour-régner	Hybride	Hybride
Espace de recherche	exhaustive	exhaustive	exhaustive	exhaustive
Type du format des données	horizontal	horizontal	horizontal, vertical	horizontal, vertical
Stockage des informations	<i>trie</i>	<i>trie</i>	<i>trie</i>	matrice de bits pour DCI-CLOSED et de simples tableaux pour LCM
Choix des générateurs	générateurs minimaux	générateurs	générateurs	générateurs
Calcul de la fermeture	intersections des transactions, global pour CLOSE et TITANIC et partiel pour A-CLOSE	calcul incrémental et partiel	calcul incrémental et partiel	calcul incrémental et partiel
Calcul redondant des fermetures	oui	non, avec des tests de couverture	non, avec des tests de couverture	non, avec des tests préservant l'ordre total
Type des règles associatives	booléen	booléen	booléen	booléen
Ordre partiel	non	non	non	non
Éléments générés en sortie	itemsets fermés fréquents, leurs générateurs minimaux associés et les RAs redondantes	itemsets fermés fréquents et les RAs redondantes	itemsets fermés fréquents et les RAs redondantes	itemsets fermés fréquents et les RAs redondantes

TABLE 3.1 – Tableau comparatif des caractéristiques des quatre catégories d'approches d'extraction des itemsets fermés fréquents.

Une troisième constatation concerne le coût induit par le calcul de la fermeture. En effet, bien que ces algorithmes constituaient une alternative intéressante par rapport aux algorithmes d'énumération des itemsets fréquents dans le cas de contextes considérés denses, leurs performances sont faibles pour les contextes considérés épars. Ceci se justifie par le fait que, dans ce type de contexte, l'espace de recherche des itemsets fermés fréquents tend à se confondre avec celui des itemsets fréquents.

Une étude approfondie de ces algorithmes nous a permis de dégager les remarques suivantes :

- Seuls les algorithmes TITANIC, DCI-CLOSED et LCM considèrent la classe d'équivalence dont l'ensemble vide est le générateur minimal. Ainsi, ce sont les seuls algorithmes dont les éléments générés permettent de construire un *Iceberg du treillis de Galois* en utilisant par exemple l'algorithme proposé par Valtchev *et al.* [125];
- Les stratégies d'élagage adoptées par TITANIC sont une amélioration de celles utilisées dans A-CLOSE, grâce à l'utilisation du support estimé qui permet d'éviter des parcours coûteux de l'ensemble des générateurs minimaux déjà extraits. Celles de CLOSET et de CHARM (resp. de DCI-CLOSED et de LCM)

peuvent être considérées comme étant les mêmes ;

- CLOSE, A-CLOSE et TITANIC ont pour inconvénient de calculer la même fermeture plusieurs fois, dans le cas où la classe d'équivalence associée admet plusieurs générateurs minimaux. Cette faiblesse est évitée par CLOSET et CHARM grâce aux tests de couverture. Cependant, afin d'accélérer ces tests, CLOSET et CHARM sont contraints de maintenir, en mémoire centrale, l'ensemble des itemsets fermés fréquents trouvés. DCI-CLOSED et LCM sont alors principalement dédiés à résoudre ce problème. En effet, ils essaient d'extraire les itemsets fermés fréquents en un temps linéaire et sans les maintenir en mémoire centrale en utilisant un test préservant l'ordre total adopté.

3.3 Contributions

À la lumière des insuffisances que nous avons pu déceler dans la section 3.2, nous allons présenter deux nouvelles approches visant à extraire toute l'information nécessaire pour la génération des bases génériques de règles associatives.

3.3.1 Une nouvelle approche pour la construction de structures partiellement ordonnées

Dans ce qui suit, nous allons introduire une nouvelle approche pour l'extraction des bases génériques de règles associatives, dont les propriétés principales sont [11] :

- Éviter les opérations d'entrée/sortie intensives : pour cela, nous introduisons une nouvelle structure de données compacte, appelée ITEMSET-TRIE, pour stocker un contexte d'extraction.
- L'usage de la stratégie "Diviser-pour-générer" pour réduire le coût de la construction de l'iceberg du treillis de Galois. En utilisant cette stratégie, nous sommes en mesure de construire, en parallèle, des sous-structures partiellement ordonnées. Ensuite, ces sous-structures sont parcourues pour dériver, d'une manière directe, des bases génériques locales de règles associatives. Finalement, ces bases génériques locales sont fusionnées pour constituer une base générique globale.

L'arbre ITEMSET-TRIE [11], que nous avons proposé, est une extension de l'idée proposée par les auteurs de l'arbre FP-TREE [76] et CATS [39], qui ont cherché à réduire le coût de stockage en proposant une structure de données compacte. Ainsi, cette structure pourrait être chargée totalement en mémoire centrale et permettre ainsi la recherche d'itemsets (fermés) fréquents en minimisant la génération d'itemsets candidats.

L'algorithme de construction de l'ITEMSET-TRIE, que nous avons développé, parcourt un contexte d'extraction transaction par transaction. Chaque transaction du contexte est insérée dans l'ITEMSET-TRIE, en respectant la règle liée au partage d'un item en préfixe. Pour cela, nous comparons deux listes à chaque fois : la liste de la transaction courante et la liste du noeud courant dans l'ITEMSET-TRIE. S'il y a un item commun entre ces deux listes, nous le laissons dans le noeud courant et nous insérons le reste de chaque liste en tant que fils de ce noeud. Dans le cas contraire, nous insérons le reste dans les frères de ce noeud. Le traitement se répète jusqu'à la fin des transactions composant le contexte.

La complexité de la construction de l'ITEMSET-TRIE est linéaire en fonction du nombre de transactions [54]. L'étude expérimentale de la structure proposée, en matière de réduction de l'espace de stockage en mémoire centrale, a donné des résultats encourageants [112]. En effet, à la lecture de la figure 3.1 (Droite), nous remarquons que la structure ITEMSET-TRIE est plus compacte que les structures de données FP-TREE et CATS. En effet, cette compacité s'illustre sur le double aspect du nombre de noeuds et la quantité de mémoire centrale nécessaire pour stocker un contexte d'extraction¹. Ainsi, les contextes considérés épars sont au plus représentés par 24,4% de leur taille réelle, tandis que les contextes considérés denses sont au plus représentés par 18,8% de leur taille réelle. La figure 3.1 met en exergue que ces performances sont fortement corrélées au nombre de

1. Toutes ces structures ont été construites pour $minsup=1$.

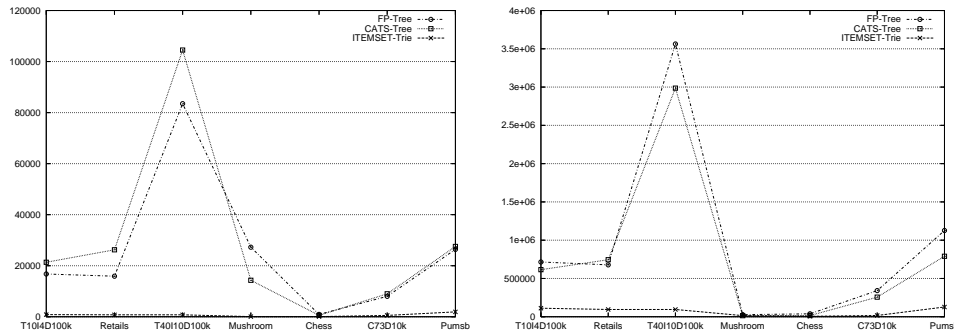


FIGURE 3.1 – **(Gauche)** Nombre de noeuds l'ITEMSET-TRIE *vs.* ceux respectivement de FP-TREE et CATS. **(Droite)** Taille de l'ITEMSET-TRIE *vs.* celles, respectivement, de FP-TREE et CATS.

niveaux de la structure, qui lui même est intimement lié à la densité du contexte. Ainsi, plus le contexte est dense, plus le nombre de niveaux a tendance à croître (par exemple, le nombre de niveaux de la base CHESS atteint 25) [112].

Une fois que la structure ITEMSET-TRIE est construite, l'algorithme que nous avons développé, appelé SUB-TRIE [11], permet de construire les sous-structures ordonnées locales. Ensuite, il fusionne les bases génériques locales – extraites à partir des sous-structures locales – pour dériver une base générique globale de règles associatives. L'algorithme, opérant selon la stratégie "Diviser-pour-régner", permet la découverte des itemsets fermés fréquents avec leurs générateurs minimaux associés, ainsi que la relation d'ordre sous-jacente. L'idée clé est de construire des sous-structures partiellement ordonnées pour chaque 1-itemset fréquent. Ensuite, ces sous-structures, partiellement ordonnées, sont explorées pour dériver, d'une manière directe, des bases génériques locales de règles associatives. Finalement, les bases génériques locales sont regroupées pour générer une base générique globale [17].

Partant de l'objectif fixé, les itemsets fermés fréquents sont à extraire ainsi que leurs générateurs minimaux associés pour étiqueter les noeuds de l'Iceberg du treillis de Galois. Ainsi, contrairement aux algorithmes FP-GROWTH [76] et CLOSET [109], nous supposons que les items sont uniquement ordonnés selon l'ordre lexicographique. En outre, un item déjà traité ne va pas être exclu du traitement, sous peine de ne pas être en mesure de déterminer l'ensemble de tous les générateurs minimaux associés à un itemset fermé donné.

Pour mesurer le passage à l'échelle de l'algorithme SUB-TRIE, nous avons mesuré les performances obtenues en faisant varier le nombre de transactions par des incréments de taille fixe (*e.g.*, 1000 transactions pour la base T10I4D100K). Les performances obtenues sont linéaires en fonction du nombre de transactions et cette augmentation dans les temps d'exécution a tendance à stagner au delà d'un certain seuil. Pour les contextes denses, et à cause de contraintes matérielles, nous avons fait varier le nombre d'items. Dans ce cas, les performances dépendent linéairement de ce paramètre. La densité du contexte est aussi un facteur non négligeable dans les performances. Par exemple, les temps d'exécution obtenus pour la base C73D10K sont moins importants que ceux de la base CHESS. Le facteur densité, matérialisé par le nombre de niveaux de la structure ITEMSET-TRIE, explique à lui seul cette différence, *e.g.*, 15 niveaux pour la base C73D10K *vs.* 25 niveaux pour la base CHESS [112].

3.3.2 L'algorithme PRINCE

L'objectif principal visé en proposant un nouvel algorithme pour l'extraction de bases génériques de règles associatives, appelé PRINCE, est de pallier la principale lacune des algorithmes dédiés à l'extraction des itemsets fermés fréquents, *i.e.*, ne pas construire la relation d'ordre partiel. L'originalité de l'algorithme PRINCE est qu'il construit le *treillis des générateurs minimaux* [10], et met en place un mécanisme de gestion des classes d'équivalence permettant de générer la liste intégrale des itemsets fermés fréquents sans duplication et sans

recours aux tests de couverture. Il permet aussi de réduire, d'une manière notable, le coût du calcul des fermetures en utilisant les notions de *bloqueur minimal* et de *face* introduites par Pfaltz and Taylor [110].

L'algorithme PRINCE prend en entrée un contexte d'extraction \mathcal{K} , le seuil minimal de support *minsup* et le seuil minimal de confiance *minconf*. Il donne en sortie la liste des itemsets fermés fréquents, leurs générateurs minimaux associés ainsi que les bases génériques de règles. À cette fin, il opère en trois étapes successives [59] :

1. **Détermination des générateurs minimaux** : en adoptant la stratégie "*Générer-et-tester*", l'algorithme PRINCE parcourt l'espace de recherche par niveau pour déterminer l'ensemble des générateurs minimaux fréquents, noté $\mathcal{GMF}_{\mathcal{K}}$, ainsi que la bordure négative des générateurs minimaux, notée \mathcal{GBd}^- . Il utilise, dans cette étape, les mêmes stratégies d'élagage que TITANIC, *i.e.*, *minsup*, l'idéal d'ordre régissant des générateurs minimaux fréquents et le support estimé.
2. **Construction du treillis des générateurs minimaux** : l'objectif de cette étape est d'organiser les générateurs minimaux fréquents sous forme d'un *treillis sans effectuer un accès supplémentaire au contexte d'extraction*. Pour atteindre cet objectif, les listes des successeurs immédiats seront modifiées d'une manière itérative. Ainsi, nous parcourons l'ensemble trié $\mathcal{GMF}_{\mathcal{K}}$ en introduisant un par un les générateurs minimaux fréquents dans le *treillis des générateurs minimaux*. Chaque générateur minimal fréquent g de taille k ($k \geq 1$) est introduit dans le *treillis des générateurs minimaux* en le comparant avec les successeurs immédiats de ses sous-ensembles de taille $(k-1)$. La détermination de la relation d'ordre entre deux générateurs est effectuée en utilisant la proposition suivante :

Proposition 7 [62] *Soient deux générateurs minimaux $X, Y \in \mathcal{GMF}_{\mathcal{K}}$ et \mathcal{C}_X et \mathcal{C}_Y leurs classes d'équivalence respectives :*

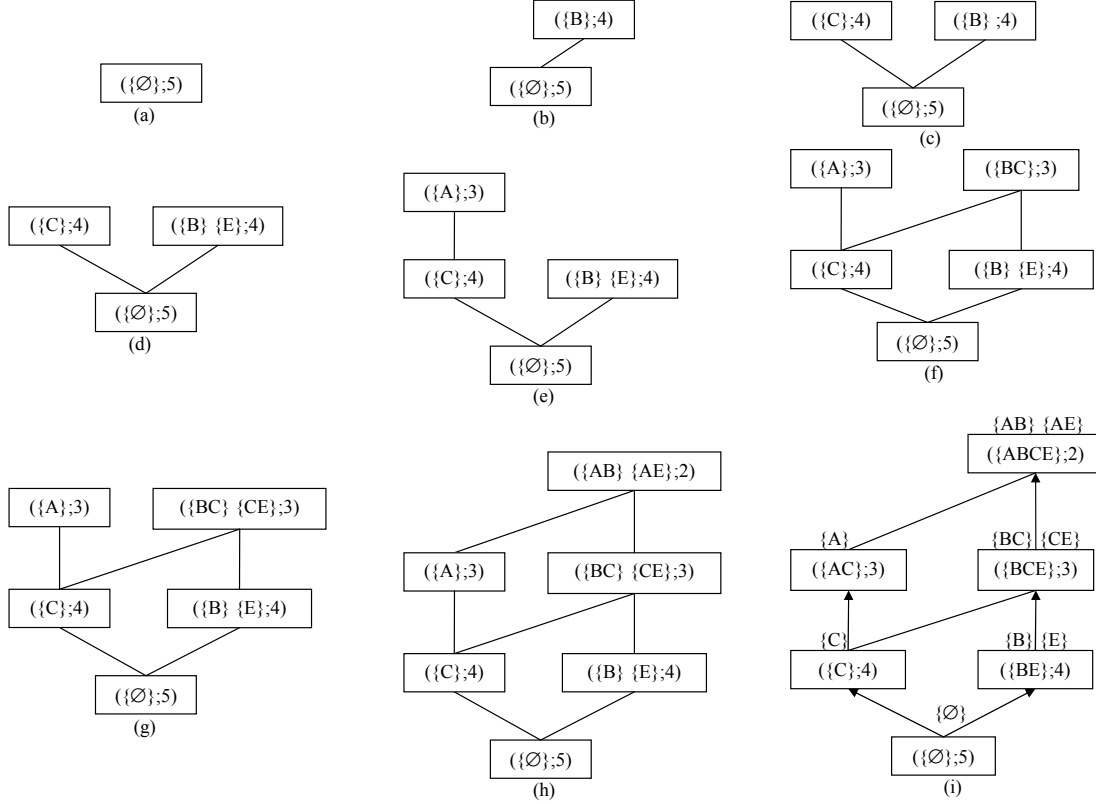
- (a). *Si $\text{Supp}(X) = \text{Supp}(Y) = \text{Supp}(X \cup Y)$ alors X et Y appartiennent à la même classe d'équivalence.*
- (b). *Si $\text{Supp}(X) < \text{Supp}(Y)$ et $\text{Supp}(X) = \text{Supp}(X \cup Y)$ alors \mathcal{C}_X (resp. \mathcal{C}_Y) est un successeur (resp. prédécesseur) de \mathcal{C}_Y (resp. \mathcal{C}_X).*

3. **Extraction des bases génériques informatives de règles** : Dans cette étape, l'algorithme PRINCE extrait les bases génériques de règles associatives. Dans son implantation actuelle, il est en mesure d'extraire la base \mathcal{IGB} , ou conjointement la base \mathcal{GBE} et la réduction transitive de la base \mathcal{GBA} . Pour cela, il retrouve les itemsets fermés fréquents. Cet objectif est facilement atteint grâce à la proposition 8, qui indique comment retrouver, pour chaque classe d'équivalence, l'itemset fermé fréquent associé.

Proposition 8 [62] *Soient deux itemsets fermés fréquents f et $f_1 \in \mathcal{LFF}_{\mathcal{K}}$ tels que $f \prec f_1$ dans l'Iceberg du treillis de Galois. Soit GM_f l'ensemble des générateurs minimaux de f . Alors, l'itemset fermé fréquent f est égal à : $f = \cup\{g|g \in GM_f\} \cup f_1$.*

Exemple 3 *Afin d'illustrer le déroulement de l'algorithme PRINCE, considérons le contexte d'extraction \mathcal{K} donné par la Figure 3.2 pour $\text{minsup} = 2$ et $\text{minconf} = 0,5$. La première étape permet de déterminer l'ensemble des générateurs minimaux $\mathcal{GMF}_{\mathcal{K}}$ trié, ainsi que la bordure négative \mathcal{GBd}^- . $\mathcal{GMF}_{\mathcal{K}} = \{(\emptyset, 5), (B, 4), (C, 4), (E, 4), (A, 3), (BC, 3), (CE, 3), (AB, 2), (AE, 2)\}$ et $\mathcal{GBd}^- = \{(D, 1)\}$. Dans la deuxième étape, l'ensemble $\mathcal{GMF}_{\mathcal{K}}$ est parcouru en comparant chaque générateur minimal fréquent g de taille k ($k \geq 1$) aux listes des successeurs immédiats de ses sous-ensembles de taille $(k-1)$. L'ensemble vide, n'ayant aucun sous-ensemble, est introduit directement dans le treillis des générateurs minimaux (cf. Figure 3.3.a). Ensuite, B est ajouté à \emptyset .succs-immédiats (cf. Figure 3.3.b), la liste des successeurs immédiats de l'ensemble \emptyset , étant initialement vide. Ensuite, C sera comparé à B . BC étant un générateur minimal, \mathcal{C}_B et \mathcal{C}_C sont alors incomparables et C est ajouté à \emptyset .succs-immédiats (cf. Figure 3.3.c). E est alors comparé à cette liste. En comparant E à B , E .support = B .support = $\text{Supp}(BE)$ et donc $E \in \mathcal{C}_B$ dont B est le représentant (cf. Figure 3.3.d). Ainsi, le traitement continue en remplaçant les occurrences de E par B dans des listes des successeurs immédiats (dans ce cas, il n'y a aucune occurrence) et en poursuivant les comparaisons avec B au lieu de E (dans ce cas, il n'y a plus de comparaisons à faire via*

	A	B	C	D	E
1	×		×	×	
2		×	×		×
3	×	×	×		×
4		×			×
5	×	×	×		×

FIGURE 3.2 – Contexte d'extraction \mathcal{K} FIGURE 3.3 – Construction du treillis des générateurs minimaux et de l'Iceberg du treillis de Galois associés au contexte d'extraction donné par la Figure 3.2 pour $minsup=2$

E). Les traitements s'arrêtent alors pour E . À cette étape, $\emptyset.succs-immédiats = \{B, C\}$. A est alors comparé à B . Comme $AB \in \mathcal{GMF}_{\mathcal{K}}$, C_B et C_A sont incomparables. Par contre, en comparant A et C , $A.support < C.support$ et $A.support = Supp(AC)$ et donc C_A est un successeur de C_C . A est tout simplement ajouté à $C.succs-immédiats$ étant donné qu'elle est encore vide (cf. Figure 3.3.e). Le même traitement est appliqué pour les reste des générateurs minimaux. Le treillis des générateurs minimaux obtenu est donné par la Figure 3.3.h. Pour la dérivation des règles génériques, le treillis des générateurs minimaux est parcouru d'une manière ascendante à partir de C_0 . Comme $\omega(\emptyset) = \emptyset$, il n'y a donc pas de règle exacte informative relative à C_0 . $\emptyset.succs-immédiats = \{B, C\}$. L'itemset fermé fréquent correspondant à C_B est alors retrouvé et est égal à BE (cf. Figure 3.3.i)². La règle approximative informative $\emptyset \Rightarrow BE$ de support 4 et de confiance 0,8 sera alors extraite. De même avec C_C . De la même manière et à partir de C_B et C_C , le parcours du treillis se fait d'une façon ascendante jusqu'à extraire toutes les règles associatives informatives valides. À la fin de l'exécution de l'algorithme, nous obtenons l'Iceberg du treillis de Galois associé au contexte d'extraction \mathcal{K} (cf. Figure 3.3.i).

L'étude des performances de l'algorithme PRINCE *vs.* respectivement celles des algorithmes les plus connus adoptant la stratégie "Générer-et-tester", *i.e.*, CLOSE, A-CLOSE et TITANIC a donné des résultats encourage-

2. Dans la Figure 3.3.i, les flèches indiquent les relations de précedence utilisées pour retrouver les itemsets fermés fréquents.

Contexte	CLOSE PRINCE		A-CLOSE PRINCE		TITANIC PRINCE	
	min	max	min	max	min	max
PUMSB	24,67	160,44	57,33	402,78	2,78	7,11
CONNECT	26,17	137,12	42,39	230,84	2,87	6,85
CHESS	6,00	72,33	15,00	160,33	1,00	9,74
MUSHROOM	3,36	32,00	7,04	69,00	2,00	537,54
T10I4D100K	0,88	6,50	1,03	10,00	2,33	17,40
T40I10D100K	9,31	47,60	5,68	19,87	3,47	202,12
RETAIL	2,05	114,86	1,26	29,18	8,78	261,30

TABLE 3.2 – Récapitulatif des performances de l’algorithme PRINCE *vs.* celles de CLOSE, A-CLOSE et TITANIC.

geants [59]. Les contextes utilisés lors de cette étude sont les contextes benchmark que l’on retrouve dans la littérature associée au domaine de fouille de donnée. Les temps d’exécution de l’algorithme PRINCE comparés, respectivement, aux algorithmes CLOSE, A-CLOSE et TITANIC sur des contextes considérés comme denses sont présentés dans la Figure 3.4. De plus, le tableau 3.2 présente des ratios comparatifs des performances de l’algorithme PRINCE *vs.* celles des autres algorithmes considérés.

Ainsi, l’algorithme PRINCE s’avère performant sur les contextes considérés comme denses et pour toutes les valeurs de *minsup*. La différence entre les performances de PRINCE et celles de CLOSE et A-CLOSE atteint son maximum pour le contexte PUMSB. En effet, l’algorithme PRINCE est environ 160 (resp. 403) fois plus rapide que CLOSE (resp. A-CLOSE) pour un support de 85%. De même, l’algorithme PRINCE est environ 538 fois plus rapide que TITANIC pour le contexte MUSHROOM et pour un support égal à 0,01%. Pour ces contextes denses, PRINCE est en moyenne 42 (resp. 89 et 41) fois plus rapide que CLOSE (resp. A-CLOSE et TITANIC) [59].

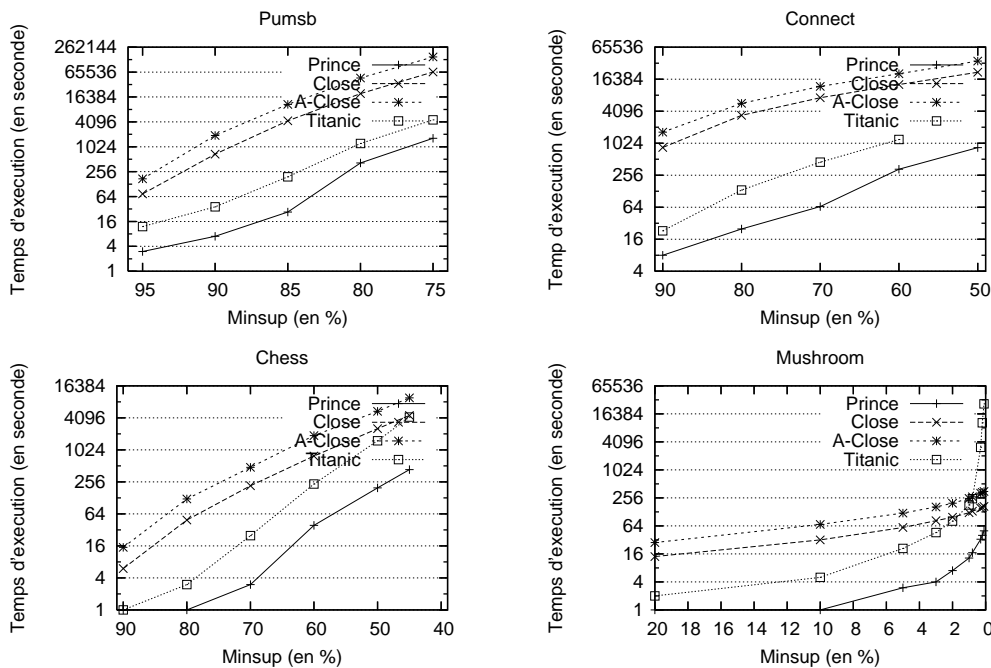


FIGURE 3.4 – Performances de PRINCE *vs.* CLOSE, A-CLOSE et TITANIC pour les contextes considérés comme denses

L’algorithme PRINCE s’avère aussi performant sur des contextes considérés épars et pour toutes les valeurs de *minsup*. La différence entre les performances de PRINCE et celles de CLOSE et TITANIC atteint sa valeur maximale pour le contexte RETAIL. En effet, l’algorithme PRINCE est environ 115 (resp. 261) fois plus rapide

que CLOSE (resp. TITANIC) pour un support de 0,004%. Pour ces contextes épars, PRINCE est en moyenne 31 (resp. 13 et 32) fois plus rapide que CLOSE (resp. A-CLOSE et TITANIC).

3.3.3 L'algorithme IMG-EXTRACTOR

Pour permettre une plus grande réduction informative du nombre de règles associatives extraites, la notion de générateur minimal semble jouer un rôle central. Le peu d'attention accordé aux générateurs minimaux nous a encouragé à une exploration approfondie de leur structure intrinsèque. Ainsi, cette piste, concernant la détection des éléments redondants par la substitution de sous-ensembles par d'autres, a été initialement amorcée par Dong et *al.* [43]. Ces derniers ont constaté que quelques générateurs minimaux peuvent être déduits à partir d'autres par substitution de leurs sous-ensembles respectifs. Ils ont alors proposé le Système Succinct des Générateurs Minimaux (SSGM) comme une représentation concise des générateurs minimaux. Ainsi, seuls les générateurs minimaux utiles, ou *succincts*, seront maintenus, et ceux dits "*redondants*" seront alors éliminés. L'algorithme IMG-EXTRACTOR, que nous avons proposé dans [61], nous permettait une extraction efficace de ce SSMG tel que défini dans [43]³. Cependant, suite à une étude approfondie de cette définition, nous avons relevé que ce système souffre d'une perte d'information, *i.e.*, que quelques générateurs minimaux redondants peuvent ne pas être dérivés à partir du système. Ainsi, nous avons proposé une nouvelle définition [66], permettant de remédier à l'inconvénient de la définition originelle. Néanmoins, cette nouvelle définition proposée a fait perdre au SSGM sa structure intéressante à savoir un idéal d'ordre [50], dont bénéficiait la définition originelle. Cette dernière facilite énormément la localisation des éléments à retenir et réduit ainsi le coût des traitements à effectuer. Récemment, le travail que nous avons proposé dans [67] avait pour but de concilier les avantages des deux définitions initiales à savoir la non perte d'information et le maintien de la structure d'idéal d'ordre. Une nouvelle famille d'éléments a été alors introduite en se basant sur l'axiome de pseudo-transitivité d'Armstrong [4]. Les expérimentations réalisées ont montré que cette famille permet d'éliminer un nombre important de générateurs minimaux redondants, et par conséquent de règles associatives génériques redondantes. Une piste primordiale qui reste à étudier concerne l'étude du coût de la dérivation des générateurs minimaux redondants à partir de cette famille, en s'inspirant des travaux réalisés dans des domaines liés à la fouille de données, *e.g.*, la théorie des graphes. En effet, la séquence de substitutions à suivre pour atteindre un générateur minimal redondant donné mériterait d'être étudiée afin d'éviter la redondance dans la dérivation, puisque différentes séquences peuvent mener à un même générateur minimal redondant.

3.4 Conclusion

Dans ce chapitre, nous avons présenté une revue de l'état de l'art sur les algorithmes d'extraction des itemsets fermés fréquents. Le constat majeur est que ces algorithmes se sont focalisés sur l'extraction des itemsets fermés fréquents et ils ont négligé la composante relation d'ordre partiel sous-jacente. Or celle-ci est primordiale pour l'extraction des règles génériques approximatives. Pour cela, nous avons proposé deux approches pour le calcul de la relation d'ordre. Le cadre fédérateur de nos propositions a consisté à définir de nouvelles approches visant à extraire toute l'information nécessaire pour trouver des bases génériques de règles associatives.

En outre, il serait d'une part intéressant d'étudier la possibilité d'intégrer dans PRINCE l'approche proposée dans [33]. Cette approche, applicable à tout ensemble vérifiant la propriété d'idéal d'ordre, peut être utilisée pour l'ensemble des générateurs minimaux utilisé dans notre cas. Il permet de réduire le nombre de candidats auxquels un accès au contexte d'extraction est nécessaire pour calculer le support. Étant donné que cette étape est la plus coûteuse de la première étape, une telle intégration permettra de réduire un tel coût. D'autre part, la mise en place d'un choix adaptatif de la bordure à ajouter à l'ensemble des générateurs minimaux fréquents est envisagée. En effet, pour certains contextes, il est plus avantageux du point de vue cardinalité de maintenir une

3. Le prototype IMG-EXTRACTOR est disponible à l'adresse suivante www.cck.rnu.tn/sbenyahia/software_release.htm.

autre bordure que celle actuellement maintenue, à savoir $\mathcal{GB}d^-$ [93]. Ceci dépend étroitement des caractéristiques des contextes et qui seront donc à étudier pour bien sélectionner la bordure à maintenir.

Chapitre 4

Les itemsets fermés disjonctifs : une nouvelle représentation concise

4.1 Introduction

L'apparition de la "fouille de connaissances" a été un tournant dans les intérêts prioritaires de la communauté de la fouille de données. En effet, les efforts ne sont plus seulement déployés dans la réduction des temps d'extraction des motifs fréquents mais de plus en plus de travaux s'intéressent à l'extraction d'une connaissance de meilleure qualité tout en maximisant sa compacité. Dans ce registre, nous relevons des travaux visant l'extraction des représentations concises des itemsets fréquents. Ainsi, parmi les représentations exactes les plus connues, nous citons celles fondées sur les itemsets fermés [107], les itemsets non-dérivables [32] et les itemsets essentiels [36]. Un excellent état de l'art des principales représentations concises des itemsets fréquents qui ont été proposées dans la littérature se trouve dans [34].

Les itemsets de la représentation basée sur les essentiels fréquents sont caractérisés à travers des relations qui manipulent deux métriques, à savoir le support disjonctif et le support conjonctif. Le support disjonctif d'un itemset I , noté $Supp(\vee I)$, désigne le nombre de transactions contenant au moins un item de I . Une telle caractérisation des itemsets de la représentation fondée sur les essentiels fréquents lui confère le pouvoir de dériver directement les supports disjonctifs des itemsets fréquents et d'offrir un mécanisme correct de dérivation de leurs supports conjonctifs. Cette caractéristique est d'une importance capitale dans l'évaluation efficace des supports et des confiances de certaines formes de règles d'association généralisées. Par contre, les éléments des représentations par les itemsets fermés fréquents et les itemsets non dérivables fréquents sont caractérisés à travers des relations qui manipulent uniquement le support conjonctif. De telles caractérisations rendent impossible la dérivation directe du support disjonctif des itemsets fréquents à partir de ces représentations concises exactes. Bien qu'offrant un taux de compacité intéressant, la représentation fondée sur les itemsets essentiels souffrait de son association avec la bordure positive afin de la rendre exacte.

Dans ce chapitre, nous présentons une contribution visant la proposition d'une nouvelle représentation concise des itemsets fréquents, qui exploite la propriété de non-injectivité de tout opérateur de fermeture. Deux particularités sont à mettre au crédit de cette nouvelle représentation :

- La dérivation directe des supports disjonctifs et négatifs des itemsets ;
- L'élimination de la bordure positive puisque l'ensemble des itemsets fermés disjonctifs associés aux itemsets essentiels fréquents, augmenté d'un autre ensemble d'itemsets que nous avons caractérisé, constitue à lui seul une représentation concise exacte des itemsets fréquents.

Les expérimentations que nous avons menées sur des contextes benchmark ont montré que la nouvelle représentation concise présente un taux de compacité largement supérieur à ceux des autres représentations concises.

En particulier, nous arrivons même à réduire les représentations des contextes considérés comme épars.

4.2 Les représentations concises : revue des travaux antérieurs

Dans ce qui suit, nous allons présenter une étude succincte des principales représentations concises exactes des itemsets fréquents [34]. Nous allons commencer par nous focaliser sur les propriétés structurelles de la représentation concise fondée sur les itemsets essentiels, ensuite celle basée sur les itemsets non-dérivables//.

4.2.1 Représentation par itemsets essentiels fréquents

La représentation concise exacte fondée sur les itemsets essentiels possède deux avantages majeurs : d'une part, elle offre à l'utilisateur la possibilité de calculer les différents types de supports et d'autre part, elle présente un taux de compacité intéressant [36].

Définition 14 [36] (ITEMSET ESSENTIEL FRÉQUENT) *Soit $\mathcal{K} = (\mathcal{O}, \mathcal{I}, \mathcal{R})$ un contexte d'extraction et $I \subseteq \mathcal{I}$. I est appelé un itemset essentiel si : $Supp(\vee I) > \max\{Supp(\vee I \setminus i) \mid i \in I\}$.*

Exemple 4 *Considérons le contexte d'extraction de la Figure 1.1 (page 7) pour $minsup = 1$. L'itemset AB n'est pas un itemset essentiel puisque $Supp(\vee AB) = \max\{Supp(\vee A), Supp(\vee B)\} = Supp(\vee A) = 3$ alors que AC est un itemset essentiel puisque $Supp(\vee AC) > \max\{Supp(\vee A), Supp(\vee C)\}$ (car $\max\{Supp(\vee A), Supp(\vee C)\} = Supp(\vee C) = 4$ et $Supp(\vee AC) = 5$). De plus, AC est fréquent puisque $Supp(AC) = 2 \geq minsup$.*

La proposition suivante montre que l'ensemble des itemsets essentiels fréquents vérifie la propriété intéressante d'idéal d'ordre, *i.e.*, que si I est un itemset essentiel fréquent, alors tous ses sous-ensembles sont des itemsets essentiels fréquents.

Proposition 9 [36] *L'ensemble des itemsets essentiels fréquents est un idéal d'ordre.*

Cette propriété donne la possibilité aux algorithmes d'extraction, par niveau, d'extraire efficacement cet ensemble. Ainsi, l'algorithme MEP [35], permettant d'extraire les itemsets essentiels fréquents, est une adaptation de l'algorithme APRIORI [3].

Dans ce qui suit, nous désignerons par $\mathcal{IEF}_{\mathcal{K}}$ (resp. $\mathcal{IF}_{\mathcal{K}}$) l'ensemble des itemsets essentiels fréquents (resp. itemsets fréquents) qui peuvent être extraits à partir d'un contexte d'extraction \mathcal{K} . Le lemme suivant montre comment nous pouvons obtenir le support disjonctif d'un itemset fréquent à partir de l'ensemble $\mathcal{IEF}_{\mathcal{K}}$.

Lemme 2 [36] $\forall I \in \mathcal{IF}_{\mathcal{K}}, Supp(\vee I) = \max\{Supp(\vee I_1) \mid I_1 \subseteq I \wedge I_1 \in \mathcal{IEF}_{\mathcal{K}}\}$.

Le théorème qui suit caractérise la représentation concise fondée sur les itemsets essentiels fréquents.

Théorème 1 [36] *L'ensemble $\mathcal{IEF}_{\mathcal{K}}$ des itemsets essentiels fréquents augmenté par l'ensemble $BD^+(\mathcal{IF}_{\mathcal{K}})$ des itemsets maximaux fréquents est une représentation concise exacte de l'ensemble des itemsets fréquents.*

Le théorème qui suit indique comment dériver le support conjonctif d'un itemset fréquent une fois que nous avons extrait l'ensemble des itemsets essentiels fréquents.

Théorème 2 ([36]) $\forall X \in \mathcal{IF}_{\mathcal{K}}$. *Soit $Y \in Argmax(\{Supp(\vee X_1) \mid X_1 \subseteq X \text{ et } X_1 \in \mathcal{IEF}_{\mathcal{K}}\})$. Alors nous avons :*

$$Supp(X) = \sum_{\substack{X_1 \subseteq X \\ X_1 \neq \emptyset \\ X_1 \in \mathcal{IEF}_{\mathcal{K}}}} (-1)^{|X_1|-1} Supp(\vee X_1)$$

4.2.2 Représentation par les itemsets non dérivables fréquents

La notion d'itemset non dérivable a été introduite par Calders et Goethals [31, 32]. Il s'est avéré que dans des applications réelles, le nombre d'itemsets non dérivables fréquents est largement inférieur à celui des itemsets fréquents ainsi qu'à celui des itemsets fermés fréquents [31]. Dans ce qui suit, nous désignons l'ensemble des itemsets non dérivables fréquents par \mathcal{INDF} . La notion d'itemset non dérivable repose principalement sur les règles de déduction que nous présentons dans la sous-section ci-dessous.

4.2.2.1 Règles de déduction

Les règles de déduction représentent un ensemble de règles permettant de déduire les bornes du support conjonctif d'un itemset I . Pour ce faire, les itemsets qui ne sont pas inclus dans I seront ignorés et ils seront même exclus du contexte d'extraction. L'opération de suppression de ces itemsets se fait grâce à une opération appelée I -projection présentée dans la définition suivante.

Définition 15 I -Projection

Soit $I \subseteq \mathcal{I}$ un itemset.

- L'ensemble résultant de la I -projection d'une transaction T , noté $\Pi_I T$, est défini par $\Pi_I T := \{i \mid i \in T \cap I\}$.
- L'ensemble résultant de la I -projection d'une base de transactions \mathcal{K} , noté Π_I , est l'ensemble des I -projections des transactions de \mathcal{K} .

Le lemme qui suit définit la relation qui existe entre le support conjonctif d'un itemset dans une base de transactions \mathcal{K} et le support conjonctif dans Π_I .

Lemme 3 Soient I et J deux itemsets tels que $I \subseteq J \subseteq \mathcal{I}$. Pour chaque transaction de \mathcal{K} , nous avons l'égalité suivante :

$$\text{Supp}(I) = \text{Supp}(I, \Pi_J)$$

Avant d'entamer les règles de déduction, les notions de fraction et de couverture doivent être introduites.

Définition 16 (I -Fraction)

Soient I et J deux itemsets tels que $I \subseteq J \subseteq \mathcal{I}$. Alors, la I -fraction de Π_J , notée f_I^J , est égale au nombre de transactions de Π_J qui sont égales à I . Ainsi, le support conjonctif d'un itemset est égal à $\sum_{I \subseteq I' \subseteq \mathcal{I}} f_{I'}^I$.

Exemple 5 Considérons le contexte d'extraction défini par la figure 1.1 (page 7). La projection du contexte \mathcal{K} sur l'itemset AB , notée Π_{AB} , est égale à $\{AB, \emptyset, AB, AB, \emptyset\}$. Ainsi, nous obtenons $f_A^{AB} = 0$.

Définition 17 (Couverture)

Soit $I \subseteq \mathcal{I}$ un itemset. La couverture de I dans la base de transactions \mathcal{K} , notée $\text{Couv}(I, \mathcal{K})$, est l'ensemble des transactions de \mathcal{K} qui contiennent I .

Soient I et J deux itemsets tels que $I \subseteq J \subseteq \mathcal{I}$ avec $J = I \cup \{A_1, \dots, A_n\}$. Remarquons que $\text{Couv}(J) = \bigcap_{i=1}^n \text{Couv}(I \cup \{A_i\})$ et que $|\bigcup_{i=1}^n \text{Couv}(I \cup \{A_i\})| = |\text{Couv}(I)| - f_I^J$. En utilisant le principe d'inclusion-exclusion [49], l'égalité précédente se réécrit comme suit :

$$\begin{aligned} |\text{Couv}(I)| - f_I^J &= \sum_{1 \leq i \leq n} |\text{Couv}(I \cup \{A_i\})| - \sum_{1 \leq i < j \leq n} |\text{Couv}(I \cup \{A_i, A_j\})| \\ &\quad + \dots + (-1)^n |\text{Couv}(J)| \end{aligned}$$

Puisque $Supp(I \cup \{A_{i_1}, \dots, A_{i_n}\}) = |Couv(I \cup \{A_{i_1}, \dots, A_{i_n}\})|$, nous obtenons :

$$\begin{aligned} (-1)^{|J \setminus I|} Supp(J) - f_I^J &= Supp(I) - \sum_{1 \leq i \leq n} Supp(I \cup \{A_i\}) \\ &+ \sum_{1 \leq i < j \leq n} Supp(I \cup \{A_i, A_j\}) + \dots \\ &+ (-1)^{|J \setminus I| - 1} \sum_{1 \leq i \leq n} Supp(J - \{A_i\}) \end{aligned}$$

Dans ce qui suit, nous noterons le terme à droite de l'égalité ci-dessus par $\sigma(I, J)$. Puisque f_I^J est toujours positif, nous obtenons le théorème suivant.

Théorème 3 *Pour chaque couple d'itemsets $I \subseteq J \subseteq \mathcal{I}$, $\sigma(I, J)$ est un minorant (resp. majorant) de $Supp(J)$ si $|J \setminus I|$ est pair (resp. impair). De plus, $|Supp(J) - \sigma(I, J)| = f_I^J$.*

Si pour chaque $I \subseteq J$, $Supp(I)$ est connu, les règles $\{\mathcal{R}_J(I) \mid I \subseteq J\}$ permettent de calculer le majorant et le minorant de $Supp(J)$.

Les règles de déduction partitionnent l'ensemble des itemsets fréquents en deux sous-ensembles disjoints : (i) *les itemsets dérivables*, dont le support conjonctif associé peut être calculé de façon exacte à partir des règles de déduction ; (ii) *les itemsets non dérivables*, dont le support conjonctif ne peut être calculé de façon exacte à partir des règles de déduction qui lui sont associées.

Ainsi, si un itemset I est non dérivable, alors tous ses sous-ensembles sont non dérivables. Pour chaque itemset I , nous désignons par l_I (resp. u_I) le plus grand minorant (resp. le plus petit majorant) pouvant être déduit à partir des règles de déduction.

Lemme 4 Monotonie [32]

Soit $I \subseteq \mathcal{I}$ un itemset, et $i \in \mathcal{I} \setminus I$ un item. Alors nous avons :

$$2 |u_{I \cup \{i\}} - l_{I \cup \{i\}}| \leq 2 \min\{|Supp(I) - l_I|, |Supp(I) - u_I|\} \leq |u_I - l_I|$$

En particulier, si I est un itemset dérivable, alors ses sur-ensembles sont des itemsets dérivables.

Grâce au théorème suivant, qui est une conséquence du Lemme 4, l'ensemble des itemsets non dérivables est montré qu'il constitue une représentation concise exacte.

Théorème 4 [32] Représentation par les itemsets non dérivables fréquents

Soient \mathcal{K} un contexte d'extraction, $minsup$ un seuil minimal du support conjonctif défini par l'utilisateur et $NDI(\mathcal{K}, minsup)$ l'ensemble défini comme suit :

$$NDI(\mathcal{K}, minsup) = \{(I, Supp(I)) \mid l_I \neq u_I \wedge Supp(I) \geq minsup\}$$

$NDI(\mathcal{K}, minsup)$ est une représentation concise exacte de l'ensemble des itemsets fréquents.

4.2.3 Discussion

À la lumière de ce qui a été précédemment présenté dans ce chapitre, nous remarquons que les représentations concises exactes présentent quelques éléments de comparaison, qui peuvent être organisées selon les dimensions suivantes :

1. **Itemsets constituant la représentation** : cette dimension décrit la nature des itemsets contenus dans la représentation concise exacte.
2. **Outils de caractérisation des itemsets constituant la représentation** : cette dimension détermine les moyens de caractérisation des itemsets de la représentation concise, tels que les métriques (*i.e.* les supports), les règles de déduction et la taille des itemsets.

3. **Algorithmes d'extraction** : afin d'extraire chaque représentation concise exacte, un ou plusieurs algorithmes ont été définis. À travers cette dimension, nous voulons mettre en évidence les algorithmes les plus connus permettant l'extraction de chaque représentation.
4. **Méthodes de régénération** : cette dimension précise, pour chaque représentation, la méthode spécifique de régénération des itemsets fréquents.
5. **Avantages** : cette dimension présente les principaux avantages des représentations concises proposées dans la littérature, qui peuvent se résumer comme suit :
 - (a) *Dérivation des supports disjonctifs et négatifs* : cette caractéristique est très importante vu qu'elle permet d'éviter l'évaluation des identités d'inclusion-exclusion exprimant le support disjonctif et négatif en fonction du support conjonctif. Ces identités peuvent être très lourdes à évaluer lorsque le nombre d'itemsets fréquents est très grand (pour des contextes denses).
 - (b) *Homogénéité* : à travers cette caractéristique, il est possible de connaître si les itemsets utilisés dans la représentation concise sont de même nature.
 - (c) *Dérivation des règles associatives génériques* : les règles associatives génériques permettent de générer la totalité des règles associatives valides [105]. Elles permettent aussi de réduire le nombre de règles manipulées et de supprimer la redondance existante au sein de ces règles.
 - (d) *Dérivation directe des règles associatives généralisées* : contrairement aux règles associatives classiques, les règles associatives généralisées constituent une mine d'informations établissant les liens entre les conjonctions, les disjonctions et les négations d'items. Elles révèlent à l'utilisateur des corrélations plus fines existantes entre les items du contexte d'extraction. Ainsi, elles aident les utilisateurs à dégager les constatations les plus raffinées sur le contexte d'extraction.

Le tableau 4.1 résume l'étude comparative relative aux principales représentations concises proposées dans la littérature. Les constatations majeures relatives à cette étude sont les suivantes :

1. La dérivation du support conjonctif, à partir de la représentation par les fermés fréquents, est quasi-immédiate. Néanmoins, la dérivation directe des supports disjonctifs et négatifs des itemsets fréquents est impossible.
2. La représentation par les itemsets fermés fréquents est la seule à offrir la possibilité de générer les règles associatives génériques.
3. La régénération des itemsets fréquents à partir des itemsets non dérivables est très coûteuse en temps d'exécution. En effet, le calcul du support conjonctif d'un itemset dérivable nécessite l'évaluation de 2^n règles de déduction. En contre partie, la représentation basée sur les essentiels fréquents ne nécessite que l'évaluation d'une identité d'inclusion-exclusion afin de déterminer le support conjonctif des itemsets fréquents.
4. La représentation basée sur les essentiels fréquents est la seule à offrir la possibilité de dériver directement diverses formes de règles associatives, vu qu'elle permet la dérivation immédiate des supports disjonctifs et négatifs des itemsets fréquents.

4.3 Contribution : Représentation concise exacte fondée sur la fermeture disjonctive

Dans cette section, nous présentons une nouvelle représentation concise exacte des itemsets fréquents. L'idée de base de cette nouvelle représentation concise est d'appliquer un opérateur de fermeture sur les itemsets essentiels fréquents afin d'obtenir une représentation concise plus compacte. Cependant, cet opérateur est différent

Représentation concise exacte	Représentation par les fermés fréquents	Représentation par les non dérivables fréquents	Représentation basée sur les essentiels fréquents
Itemsets constituant la représentation	fermés fréquents	non dérivables fréquents	essentiels fréquents + maximaux fréquents
Outils de caractérisation des itemsets constituant la représentation	opérateur de fermeture de Galois + support conjonctif	règles de déduction + support conjonctif	support disjonctif + support conjonctif + taille des itemsets
Algorithmes d'extraction	CLOSE, CHARM, etc	NDI, dfNDI	MEP
Méthodes de régénération des itemsets fréquents	le support d'un itemset fréquent est égal à celui du plus petit fermé fréquent le contenant	évaluation de $2^{ X }$ règles de déduction pour chaque itemset non dérivable X	évaluation d'une identité d'inclusion-exclusion par itemset
Dérivation directe des supports disjonctifs et négatifs	non	non	oui
Homogénéité	oui	oui	non
Dérivation des règles associatives génériques	oui	non	non
Dérivation directe des règles associatives généralisées	non	non	oui

TABLE 4.1 – Tableau comparatif des principales représentations concises exactes proposées dans la littérature

de celui appliqué pour la représentation concise fondée sur les itemsets fermés fréquents [107]. En effet, les itemsets essentiels sont plutôt caractérisés par leurs supports *disjonctifs* que par leurs supports *conjonctifs*. Pour cela, nous avons besoin d'un nouvel opérateur de fermeture, que nous avons dénommé *opérateur de fermeture disjonctive*. L'intérêt de cette nouvelle représentation concise fondée sur la fermeture disjonctive est double :

1. Avoir une représentation plus compacte que celle fondée sur les essentiels fréquents. En effet, la fermeture disjonctive, comme tout opérateur de fermeture, est une fonction non injective. Le nombre des itemsets fermés disjonctifs sera, dans tous les cas, inférieur ou égal au nombre des itemsets essentiels fréquents. De plus, cette représentation concise va préserver l'avantage d'avoir l'information relative aux différents supports et non seulement le support conjonctif.
2. Éviter le besoin d'ajouter une information supplémentaire afin de vérifier si un itemset est fréquent ou non, telle que $BD^+(\mathcal{IF}_K)$ dans le cas de la représentation concise fondée sur les itemsets essentiels fréquents.

4.3.1 Les opérateurs disjonctifs et leurs propriétés

Afin de présenter la fermeture disjonctive, nous avons besoin de définir les applications correspondantes qui assurent le lien entre $\mathcal{P}(\mathcal{I})$ et $\mathcal{P}(\mathcal{O})$ et vice-versa.

Définition 18 Soit $\mathcal{K} = (\mathcal{O}, \mathcal{I}, \mathcal{R})$ un contexte d'extraction. Les opérateurs assurant la connexion entre $\mathcal{P}(\mathcal{I})$ et $\mathcal{P}(\mathcal{O})$ sont les suivants :

$$f_d : \mathcal{P}(\mathcal{O}) \rightarrow \mathcal{P}(\mathcal{I})$$

$$O \mapsto f_d(O) = \{i \in \mathcal{I} \mid (\exists o \in O) (((o, i) \in \mathcal{R}) \wedge ((\forall o_1 \in \mathcal{O} \setminus O) ((o_1, i) \notin \mathcal{R})))\}$$

$$g_d : \mathcal{P}(\mathcal{I}) \rightarrow \mathcal{P}(\mathcal{O})$$

$$I \mapsto g_d(I) = \{o \in \mathcal{O} \mid (\exists i \in I) ((o, i) \in \mathcal{R})\}$$

La sémantique des opérateurs de correspondance peut se définir comme suit. L'opérateur $f_d(O)$ détermine

l'ensemble des items qui apparaissent au moins dans une transaction de O et qui n'apparaissent que dans les transactions de O . Dualement, l'opérateur $g_d(I)$ est l'ensemble des transactions qui contiennent au moins un item i de I .

Après avoir énoncé les opérateurs de la correspondance, nous pouvons introduire leurs composées.

Définition 19 [60] Soient $\mathcal{K} = (\mathcal{O}, \mathcal{I}, \mathcal{R})$ un contexte d'extraction, et f_d et g_d les opérateurs de la définition 18. Les opérateurs composés relatifs à ces deux opérateurs se définissent comme suit :

$$\begin{aligned} h_d &= f_d \circ g_d : \mathcal{P}(\mathcal{I}) \rightarrow \mathcal{P}(\mathcal{I}) \\ I &\mapsto h_d(I) = \{i \in \mathcal{I} \mid (\forall o \in \mathcal{O}) ((o, i) \in \mathcal{R}) \Rightarrow (\exists i_1 \in I)((o, i_1) \in \mathcal{R})\} \\ h'_d &= g_d \circ f_d : \mathcal{P}(\mathcal{O}) \rightarrow \mathcal{P}(\mathcal{O}) \\ O &\mapsto h'_d(O) = \{o \in \mathcal{O} \mid (\exists i \in \mathcal{I}) (((o, i) \in \mathcal{R}) \wedge ((\forall o_1 \in \mathcal{O} \setminus O) ((o_1, i) \notin \mathcal{R})))\} \end{aligned}$$

Maintenant, nous présentons les principales propriétés des opérateurs (composés) introduits ci-dessus.

Proposition 10 [60] Soit f_d (resp. g_d) l'opérateur assurant le lien entre $\mathcal{P}(\mathcal{I})$ (resp. $\mathcal{P}(\mathcal{O})$) et $\mathcal{P}(\mathcal{O})$ (resp. $\mathcal{P}(\mathcal{I})$). Soient $I, I_1, I_2 \in \mathcal{P}(\mathcal{I})$ et $O, O_1, O_2 \in \mathcal{P}(\mathcal{O})$. Nous avons les propriétés suivantes données par la table 4.2.

$$\begin{array}{ll} (1) O_1 \subseteq O_2 \Rightarrow f_d(O_1) \subseteq f_d(O_2) & (1') I_1 \subseteq I_2 \Rightarrow g_d(I_1) \subseteq g_d(I_2) \\ (2) I \subseteq h_d(I) & (2') h'_d(O) \subseteq O \\ (3) I_1 \subseteq I_2 \Rightarrow h_d(I_1) \subseteq h_d(I_2) & (3') O_1 \subseteq O_2 \Rightarrow h'_d(O_1) \subseteq h'_d(O_2) \\ (4) f_d(O) = h'_d(f_d(O)) & (4') g_d(I) = h_d(g_d(I)) \\ (5) h_d(I) = h_d(h_d(I)) & (5') h'_d(O) = h'_d(h'_d(O)) \\ (6) g_d(I) \subseteq O \Leftrightarrow I \subseteq f_d(O) & \end{array}$$

TABLE 4.2 – Les propriétés des opérateurs disjonctifs

h_d est un opérateur de fermeture puisqu'il vérifie les conditions requises, *i.e.*, isotonie, idempotence et extensivité. En effet, il est extensif (*cf.* Propriété (2)), isotone (*cf.* Propriété (3)) et idempotent (*cf.* Propriété (5))¹. La définition de la fermeture disjonctive va nous permettre de proposer une nouvelle représentation concise de l'ensemble des itemsets fréquents.

Définition 20 [60] (ITEMSET FERMÉ DISJONCTIF) Un itemset $I \subseteq \mathcal{I}$ est dit fermé disjonctif si et seulement si $h_d(I) = I$. Un itemset fermé disjonctif est l'ensemble maximum des items contenus uniquement dans l'ensemble des transactions dans lesquelles apparaît au moins un item de I et qui n'apparaissent nul part ailleurs.

L'ensemble des itemsets fermés disjonctifs est défini comme suit :

Définition 21 [60] (ENSEMBLE DES ITEMSETS FERMÉS DISJONCTIFS ESSENTIELS) Soit \mathcal{K} un contexte d'extraction et h_d l'opérateur de fermeture disjonctive. L'ensemble $\mathcal{LFDE}_{\mathcal{K}}$ (Itemsets Fermés Disjonctifs Essentiels), extrait à partir de \mathcal{K} , est défini comme suit : $\mathcal{LFDE}_{\mathcal{K}} = \{h_d(I) \mid I \in \mathcal{IEF}_{\mathcal{K}}\}$.

4.3.2 Représentation concise exacte fondée sur les fermés disjonctifs

Dans cette section, nous introduisons, à l'aide d'une suite de propositions, la nouvelle représentation concise exacte basée sur les fermés disjonctifs.

Proposition 11 [63] Soit I un itemset, alors nous avons :

$$(I \in \mathcal{IEF}_{\mathcal{K}}) \Rightarrow (\exists F \text{ un fermé disjonctif relatif à un essentiel fréquent} \mid I \subseteq F)$$

1. h'_d n'est pas un opérateur de fermeture puisqu'il n'est pas extensif (*cf.* Propriété (2')). h'_d est dit opérateur d'ouverture ([50]).

Proposition 12 [63] *Soit $I \in \mathcal{IF}_{\mathcal{K}}$, alors $h_d(I)$ est le plus petit fermé disjonctif relatif à un essentiel fréquent contenant I . En outre, le support disjonctif d'un itemset I est égal à celui du plus petit itemset fermé disjonctif le contenant.*

L'ensemble $\mathcal{IFDE}_{\mathcal{K}}$ à lui seul ne peut pas constituer une représentation concise exacte de l'ensemble des itemsets fréquents. Pour montrer cela, supposons que nous disposons d'une méthode de régénération, qui consiste à affecter au support disjonctif de chaque itemset candidat X_i le support disjonctif du plus petit fermé disjonctif contenant X_i et à calculer le support conjonctif de X_i en utilisant les identités d'inclusion-exclusion. Ainsi, il s'est avéré que, dans certains cas, cette méthode génère un ensemble différent de l'ensemble des itemsets fréquents. En effet, considérons le contexte illustré par la table 4.3. Pour $minsup = 1$, nous avons $\mathcal{IFDE}_{\mathcal{K}}$

	A	B	C	D
1	×			
2	×	×		
3	×		×	
4	×			×
5	×	×	×	
6	×	×		×
7	×		×	×

TABLE 4.3 – Contexte d'extraction.

$= \{(B, 3), (C, 3), (D, 3), (BC, 5), (BD, 5), (CD, 5), (ABCD, 7)\}$. Dans cet exemple, le support disjonctif de n'importe quel itemset de taille inférieure à 2 peut être correctement calculé à partir de $\mathcal{IFDE}_{\mathcal{K}}$. Par contre, si nous voulons calculer le support de BCD en utilisant la méthode précédemment décrite, nous affectons au support disjonctif de BCD la valeur 7 alors que son support disjonctif réel est égal à 6. En calculant le support conjonctif de BCD par le biais des identités d'inclusion-exclusion, nous obtenons $Supp(BCD) = 7 - 5 - 5 - 5 + 3 + 3 + 3 = 1$ alors que le support conjonctif exact de BCD est égal à 0. Ainsi, BCD sera inséré dans l'ensemble des itemsets fréquents alors qu'en réalité, il est infrequent.

Afin de pallier cette lacune, une méthode directe consiste à enrichir l'ensemble $\mathcal{IFDE}_{\mathcal{K}}$ avec un autre ensemble d'itemsets. La caractérisation de ces itemsets dépend étroitement de la méthode selon laquelle le support conjonctif sera calculé ainsi que de la caractérisation des itemsets dont le support conjonctif est calculé de façon erronée. Dans ce qui suit, nous supposons que notre méthode de régénération des itemsets fréquents parcourt l'espace de recherche des itemsets fréquents en largeur. Cette contrainte est imposée par l'application des égalités des identités d'inclusion-exclusion, qui nécessite la connaissance des supports disjonctifs des sous-ensembles d'un itemset afin de pouvoir calculer son support conjonctif.

Ainsi, nous nous proposons de substituer l'ensemble des essentiels fréquents par un autre ensemble. Cet ensemble, noté par la suite $\mathcal{IFDA}_{\mathcal{K}}$ (Itemsets Fermés Disjonctifs Ajoutés), est introduit dans ce qui suit.

Définition 22 [63] *Soit $BD^-(\mathcal{IEF}_{\mathcal{K}}) = \{\min_{\subseteq} \{Y \in \mathcal{P}(\mathcal{I}) \setminus \mathcal{IEF}_{\mathcal{K}}\}\}$ l'ensemble des itemsets non essentiels ou infrequent, tels que tous leurs sous-ensembles stricts sont des itemsets essentiels fréquents.*

Nous définissons l'ensemble $\mathcal{IFDA}_{\mathcal{K}}$ comme suit :

$$\mathcal{IFDA}_{\mathcal{K}} = \{h_d(X) \mid (X \in BD^-(\mathcal{IEF}_{\mathcal{K}}) \cap \mathcal{IE}) \wedge ((-1)^{|X|} = -1) \wedge (\forall X' \subseteq \mathcal{I}, h_d(X') = h_d(X) \Rightarrow Supp(X') < minsup) \wedge (\exists f \in \mathcal{IFDE}_{\mathcal{K}} \text{ s.t. } h_d(X) \subset f)\}$$

Autrement dit, $\mathcal{IFDA}_{\mathcal{K}}$ est l'ensemble des fermés disjonctifs ayant tous leurs essentiels infrequent et dont au moins un appartient à $BD^-(\mathcal{IEF}_{\mathcal{K}}) \cap \mathcal{IE}$ et est de taille impaire. Chaque fermeture de cet ensemble doit être couverte par au moins un itemset fermé disjonctif faisant partie de $\mathcal{IFDE}_{\mathcal{K}}$ pour être maintenue.

En ajoutant \mathcal{IFDA}_K à l'ensemble \mathcal{IFDE}_K , nous pouvons garantir un processus correct de régénération des itemsets fréquents à partir de ce nouvel ensemble. Cette affirmation est formellement décrite par le théorème suivant.

Théorème 5 *L'ensemble des itemsets de $\mathcal{IFDE}_K \cup \mathcal{IFDA}_K$ munis de leurs supports disjonctifs est une représentation concise exacte [63].*

Le lemme suivant permet la dérivation du support disjonctif des itemsets fréquents à partir de ceux des éléments de l'ensemble \mathcal{IFDE} .

Lemme 5 ([63]) - *Soient \mathcal{IF} l'ensemble des itemsets fréquents, $I \subseteq \mathcal{I}$ un itemset et $I_{min} = \min_{\subseteq} \{X \in \mathcal{IFDE} \mid I \subseteq X\}$ s'il existe. Alors, nous avons :*

$$I \in \mathcal{IF} \Rightarrow (\exists X \in \mathcal{IFDE} \mid I \subseteq X) \wedge (Supp(\vee I) = Supp(\vee I_{min})).$$

Le statut de fréquence d'un itemset quelconque I ainsi est déterminé son support conjonctif avec exactitude sont déterminés comme suit. Nous débutons par la dérivation des supports disjonctifs et le calcul des supports conjonctifs des sous-ensembles stricts avec la même méthode utilisée pour traiter I . Dans le cas où I contient un sous-ensemble strict qui est infréquent, nous déduisons son infréquence (car les itemsets fréquents constituent un idéal d'ordre). Dans le cas échéant (*i.e.*, tous les sous-ensembles stricts de I sont fréquents), deux possibilités se présentent :

1. **I est fréquent** : Dans ce cas, nous pouvons déterminer correctement $Supp(\vee I)$ à partir de ceux des éléments de l'ensemble \mathcal{IFDE} grâce au lemme 5. Ainsi, en évaluant la somme de l'égalité 1 du lemme 1 par rapport à I , la valeur obtenue correspond au support conjonctif exact de I .

2. **I est infréquent** : Soit $I_{min} = \min_{\subseteq} \{X \in \mathcal{IFDE} \mid I \subseteq X\}$. Alors, deux sous-cas se présentent :

(a) **I est de taille paire** : Dans ce cas, nous attribuons à $Supp(\vee I)$ le support disjonctif de I_{min} . Étant donné que I est infréquent (*i.e.*, $Supp(I) < minsup$), alors $Supp(\vee I)$ peut être strictement inférieur à celui de I_{min} (car $I \subseteq I_{min}$). En dépit de cette estimation erronée de $Supp(\vee I)$, nous pouvons détecter l'infréquence de I . En effet, lorsque la taille de I est paire, nous avons $Supp(I) = \sum_{I' \subseteq I} (-1)^{|I'-1|} Supp(\vee I') = -Supp(\vee I) + \sum_{I' \subseteq I} (-1)^{|I'-1|} Supp(\vee I')$. Étant donné que $Supp(\vee I) \leq Supp(\vee I_{min})$, nous obtenons $-Supp(\vee I_{min}) + \sum_{I' \subseteq I} (-1)^{|I'-1|} Supp(\vee I') \leq -Supp(\vee I) + \sum_{I' \subseteq I} (-1)^{|I'-1|} Supp(\vee I')$. Par conséquent, le support conjonctif calculé va être inférieur au support conjonctif correct. Étant donné que I est infréquent par hypothèse, le support conjonctif calculé de I sera strictement inférieur à $minsup$. Ainsi, nous détectons correctement l'infréquence de I .

(b) **I est de taille impaire** : En attribuant au support disjonctif de I celui de I_{min} , le statut déterminé de la fréquence de I peut être erroné. En effet, puisque la taille de I est impaire, nous obtenons $Supp(I) = \sum_{I' \subseteq I} (-1)^{|I'-1|} Supp(\vee I') = Supp(\vee I) + \sum_{I' \subseteq I} (-1)^{|I'-1|} Supp(\vee I')$. Étant donné que $Supp(\vee I) \leq Supp(\vee I_{min})$, nous obtenons $Supp(\vee I) + \sum_{I' \subseteq I} (-1)^{|I'-1|} Supp(\vee I') \leq Supp(\vee I_{min}) + \sum_{I' \subseteq I} (-1)^{|I'-1|} Supp(\vee I')$. D'où, le support conjonctif calculé de I peut être strictement supérieur au support conjonctif exact voire dépasser le seuil $minsup$. Ainsi, en attribuant au support disjonctif de I celui de I_{min} , nous pouvons inférer la fréquence de I alors qu'en réalité, cet itemset est infréquent. Afin d'éviter le calcul erroné du support conjonctif de I , la détermination *exacte* de son support disjonctif s'impose. Pour ce faire, il suffit d'ajouter $h_d(I)$, munie de son support disjonctif, à l'ensemble \mathcal{IFDE} . Étant donné que I est un itemset essentiel infréquent de taille impaire tel que tous ses sous-ensembles stricts sont fréquents (*i.e.*, $I \in \mathcal{IEII}$), nous déduisons que $h_d(I)$ appartient à \mathcal{IFDA} . Ainsi, l'ensemble des fermés disjonctifs de \mathcal{IFDA} , munis de leurs supports disjonctifs, permet la détection exacte de l'infréquence de I en adoptant le même mécanisme que dans le sous-cas précédent.

Il est important de noter que la représentation sus-mentionnée est :

1. **Homogène** : En effet, tous ses éléments sont des fermés disjonctifs.

2. **De taille réduite** : En effet, en se basant sur le fait que les éléments de l'ensemble \mathcal{IFDA}_K doivent vérifier une multitude de conditions, nous pouvons affirmer que la cardinalité de l'ensemble \mathcal{IFDA}_K sera, dans la plupart des cas, largement inférieure à celle de l'ensemble \mathcal{IFDE}_K . En outre, puisque l'ensemble \mathcal{IFDE}_K est de taille largement inférieure à celle l'ensemble des itemsets fréquents, nous pouvons déduire que l'ensemble $\mathcal{IFDE}_K \cup \mathcal{IFDA}_K$ est de cardinalité inférieure à celle de l'ensemble des itemsets fréquents. Toutefois, la représentation concise exacte, que nous proposons, ne constitue pas une représentation parfaite, puisque sa cardinalité peut parfois dépasser celle de l'ensemble des itemsets fréquents. En effet, considérons le contexte donné par la Figure 4.1. Pour $minsup = 1$, l'ensemble des itemsets fréquents est égal à $\mathcal{IF}_K = \{A, B, C, D, AB, AC, AD, BC, BD, CD, ABC\}$ alors que $\mathcal{IFDE}_K \cup \mathcal{IFDA}_K = \{A, B, C, D, AB, AC, AD, BC, BD, CD, ABD, BCD, ABCD\}$. En comptabilisant la cardinalité de chaque ensemble, nous remarquons que $|\mathcal{IF}_K| = 11$ alors que $|\mathcal{IFDE}_K \cup \mathcal{IFDA}_K| = 13$.
3. **Sans surcoût en temps extraction** : Afin de construire la représentation concise fondée sur les essentiels fréquents, l'algorithme MEP [35] fait appel à un algorithme *externe* d'extraction des itemsets maximaux fréquents ce qui engendre un surcoût en temps d'extraction. La représentation fondée sur les fermés disjonctifs a pu éviter un tel surcoût. En effet, si nous utilisons un algorithme du type "Générer-et-tester", adoptant la stratégie "en largeur d'abord" lors du parcours de l'espace de recherche, les fermés disjonctifs de \mathcal{IFDA}_K peuvent être extraits au fur et à mesure de l'extraction des fermés disjonctifs des essentiels fréquents.

	A	B	C	D
1	×			
2	×			×
3	×		×	
4	×	×	×	
5	×	×		
6		×		×
7		×	×	
8			×	
9			×	×

FIGURE 4.1 – Contexte d'extraction

4.3.3 L'algorithme DCPR-MINER

Afin d'extraire l'ensemble $\mathcal{IFDE}_K \cup \mathcal{IFDA}_K$, nous proposons un algorithme appelé DCPR-MINER², de type "Générer-et-tester". Afin d'explicitier les stratégies d'élagage utilisées, nous introduisons la proposition suivante.

Proposition 13 *Soient X et Y deux itemsets tels que $X \subseteq Y$. Si $Y \subseteq h_d(X)$, alors $h_d(X) = h_d(Y)$ et $Supp(\vee X) = Supp(\vee Y)$.*

Les stratégies d'élagage utilisées par DCPR-MINER sont les suivantes :

1. Un élagage par rapport au support conjonctif des itemsets essentiels candidats (*i.e.*, par rapport au support minimal $minsup$) ;
2. Un élagage par rapport à la propriété d'idéal d'ordre que doit vérifier l'ensemble des itemsets essentiels fréquents ;
3. Un élagage par rapport à l'inclusion dans la fermeture de l'un des sous-ensembles (*cf.* Proposition 13).

2. DCPR_MINER est l'acronyme de Disjunctive Closed Pattern-based Representation Miner

\mathcal{K}	Contexte d'extraction
C_i	L'ensemble des itemsets essentiels fréquents candidats de taille i .
L_i	L'ensemble des itemsets essentiels fréquents de taille i .
\mathcal{IFDE}_i	L'ensemble des itemsets fermés disjonctifs, relatifs aux essentiels fréquents de taille i .
\mathcal{IFDA}_i	L'ensemble des itemsets fermés disjonctifs, relatifs aux essentiels inférieurs de taille impaire égale à i .
X_i	Itemset de taille i .
$X_i.h_d$	Fermeture disjonctive de l'itemset X_i .
$X_i.h_d^-$	L'ensemble des items qui ne doivent pas appartenir à $X_i.h_d$. Autrement dit, c'est l'ensemble des items qui sont apparus dans les transactions qui ne contiennent aucun item appartenant à X_i .
$X_i.Supp_Conj$	Support conjonctif de X_i .
$X_i.Supp_Disj$	Support disjonctif de X_i .

TABLE 4.4 – Notations utilisées dans l'algorithme DCPR-MINER.

Algorithme 1 : DCPR-MINER	
Entrées :	Le contexte d'extraction \mathcal{K} et le support minimal $minsup$.
Sortie :	L'ensemble $\mathcal{IFDE}_\mathcal{K} \cup \mathcal{IFDA}_\mathcal{K}$.
1 :	$i = 1$;
2 :	$C_i = \mathcal{I}$; $L_i = \emptyset$; $\mathcal{IFDE}_i = \emptyset$; $\mathcal{IFDA}_i = \emptyset$;
3 :	Tant que $(C_i \neq \emptyset)$ faire
4 :	$\text{CALCUL_SUPPORTS_FERMETURE}(\mathcal{K}, minsup, C_i, L_i, \mathcal{IFDE}_i, \mathcal{IFDA}_i)$; /*L'élagage par rapport à $minsup$ s'effectue au sein de cette procédure*/
5 :	$C_{i+1} = \text{APRIORI_GEN}(L_i)$;
6 :	$C_{i+1} = \{X_{i+1} \in C_{i+1} \mid \forall X_i \subset X_{i+1}, (X_i \in L_i) \wedge (X_{i+1} \not\subseteq X_i.h_d)\}$; /*Élagage des itemsets essentiels candidats par rapport à l'idéal d'ordre et par rapport à l'inclusion du candidat dans la fermeture disjonctive de l'un de ses sous-ensembles immédiats*/
7 :	$i = i + 1$;
8 :	fin Tant que
9 :	$\mathcal{IFDE}_\mathcal{K} = \cup_{j=1, \dots, i} \mathcal{IFDE}_j$;
10 :	$\mathcal{IFDA}_\mathcal{K} = \{X \in \cup_{j=1, \dots, i} \mathcal{IFDA}_j \mid \exists Y \in \mathcal{IFDE}_\mathcal{K}, X \subset Y\}$;
11 :	retourner $\mathcal{IFDE}_\mathcal{K} \cup \mathcal{IFDA}_\mathcal{K}$;

Les notations utilisées dans notre algorithme sont données dans la table 4.4. Le pseudo-code de l'algorithme DCPR-MINER est décrit dans Algorithme 1. APRIORI_GEN est la procédure utilisée dans [3] pour générer les candidats de taille $(i + 1)$ à partir des éléments retenus de taille i . Le pseudo-code de la procédure CALCUL_SUPPORTS_FERMETURE est donné par Procédure 1. Cette procédure permet de calculer, en effectuant un seul parcours du contexte d'extraction, les supports conjonctifs et disjonctifs ainsi que la fermeture disjonctive de chaque itemset X_i appartenant à C_i .

4.3.4 Évaluation expérimentale

Dans ce qui suit, nous présentons quelques résultats que nous avons obtenus en comparant la taille de notre représentation avec l'ensemble total des itemsets fréquents ainsi que les trois autres types de représentations : (i) celle utilisant l'ensemble des itemsets non dérivables fréquents; (ii) celle fondée sur les itemsets fermés fréquents; et (iii) celle utilisant les itemsets essentiels fréquents.

Procédure 1 : CALCUL_SUPPORTS_FERMETURE (\mathcal{K} , $minsup$, C_i , L_i , \mathcal{LFDE}_i , \mathcal{LFDA}_i)	
1 :	Pour chaque (transaction $T \in \mathcal{K}$) faire
2 :	Pour chaque (itemset $X_i \in C_i$) faire
3 :	$\Omega = X_i \cap T$;
4 :	Si ($\Omega = \emptyset$) alors
5 :	$X_i.h_d^- = X_i.h_d^- \cup T$;
6 :	Sinon
7 :	$X_i.Supp_Disj = X_i.Supp_Disj + 1$;
8 :	Si ($\Omega = X_i$) alors
9 :	$X_i.Supp_Conj = X_i.Supp_Conj + 1$;
10 :	fin Si
11 :	fin Si
12 :	fin Pour
13 :	fin Pour
14 :	Si ($i == 1$ ou $i \bmod 2 == 0$) alors
15 :	Pour chaque (itemset $X_i \in C_i$) faire
16 :	Si ($X_i.Supp_Conj \geq minsup$) alors
17 :	$L_i = L_i \cup \{X_i\}$;
18 :	$X_i.h_d = \mathcal{I} \setminus X_i.h_d^-$;
19 :	$\mathcal{LFDE}_i = \mathcal{LFDE}_i \cup \{(X_i.h_d, X_i.Supp_Disj)\}$;
20 :	fin Si
21 :	fin Pour
22 :	Sinon
23 :	Pour chaque (itemset $X_i \in C_i$) faire
24 :	Si ($X_i.Supp_Conj \geq minsup$) alors
25 :	$L_i = L_i \cup \{X_i\}$;
26 :	$X_i.h_d = \mathcal{I} \setminus X_i.h_d^-$;
27 :	$\mathcal{LFDE}_i = \mathcal{LFDE}_i \cup \{(X_i.h_d, X_i.Supp_Disj)\}$;
28 :	Sinon
29 :	$\mathcal{LFDA}_i = \mathcal{LFDA}_i \cup \{(X_i.h_d, X_i.Supp_Disj)\}$;
30 :	fin Si
31 :	fin Pour
32 :	fin Si

Les résultats obtenus sont présentés dans les Tables 4.5-4.8. À la lecture de ces tables, nous pouvons noter ce qui suit :

1. Même pour des valeurs élevées de $minsup$, la cardinalité notre représentation concise $\mathcal{IFD}_{\mathcal{K}}$ est réduite par rapport à celle des itemsets fréquents $\mathcal{IF}_{\mathcal{K}}$;
2. Dans le cas des contextes CONNECT et CHESS, la cardinalité de $\mathcal{IFD}_{\mathcal{K}}$ est largement inférieure à celle des itemsets fermés fréquents $\mathcal{IFF}_{\mathcal{K}}$;
3. La cinquième colonne montre l'effet néfaste de l'addition de l'ensemble $BD^+(\mathcal{IF}_{\mathcal{K}})$ par rapport au taux de compacité réalisé par l'ensemble des itemsets essentiels fréquents $\mathcal{IEF}_{\mathcal{K}}$. L'ensemble $\mathcal{IFD}_{\mathcal{K}}$ a surmonté cet handicap en excluant $BD^+(\mathcal{IF}_{\mathcal{K}})$ de la représentation concise.
4. Pour le contexte épars T10I4D100K, nous remarquons que nous arrivons quand même à obtenir un taux de compacité acceptable, pour des valeurs faibles de $minsup$. Il est important de souligner que ce type de contextes est considéré comme "difficile", vu que les approches fondées sur les fermetures n'apportent pas de gains intéressants sur de tels contextes. Il est aussi important de souligner que la taille de la représentation concise fondée sur les itemsets essentiels fréquents dépasse même celle de l'ensemble de tous les itemsets fréquents. En effet, les éléments de $\mathcal{IEF}_{\mathcal{K}}$ sont caractérisés uniquement par leurs supports disjonctifs alors que ceux de $BD^+(\mathcal{IF}_{\mathcal{K}})$ le sont uniquement par leurs supports conjonctifs. Pour ce contexte, quelques éléments font alors partie des deux ensembles et jouent à chaque fois un rôle différent selon l'ensemble auquel ils appartiennent.
5. Finalement, il est nettement remarquable que la variation de la cardinalité de $\mathcal{IFD}_{\mathcal{K}}$ est moins sensible à la variation de $minsup$ que les autres représentations concises.

La Table 4.9 compare les cardinalités obtenues avec la représentation concise que nous proposons, *vs.* les représentations concises les plus connues de la littérature. Ainsi, une lecture transversale de ce tableau permet de mettre en exergue la compacité de notre représentation concise même par rapport à celle des itemsets non dérivables, notée $\mathcal{IND}_{\mathcal{K}}$. Seul le nombre des itemsets fermés suit la même évolution que le nombre de disjonctifs fermés. En effet, le rapport de compacité augmente à fur et mesure que la valeur de $minsup$ *diminue*.

4.4 Conclusion

Dans ce chapitre, nous avons introduit une nouvelle représentation concise exacte des itemsets fréquents. Ceci a nécessité la proposition d'un opérateur de fermeture disjonctive permettant le calcul des éléments de cette nouvelle représentation. Les expérimentations que nous avons menées ont permis de mettre en valeur la compacité de notre représentation. La principale caractéristique de cette représentation est qu'elle permet d'inspirer une piste de recherche intéressante que nous envisageons explorer à l'avenir. Cette piste a pour but de combler le vide entre les travaux sur les représentations concises, d'une part, et ceux portant sur la formalisation de bases génériques de règles associatives, d'autre part. En effet, la représentation concise que nous avons proposée, permet de dériver aisément les supports disjonctifs et négatifs des itemsets fréquents. Ainsi, la génération des règles (génériques) associatives généralisées – ne se limitant pas à l'utilisation de l'opérateur de conjonction entre des items positifs – deviendrait quasi-immédiate. Ainsi, les différents types de règles qu'on pourrait extraire sont comme suit :

1. $\mathcal{R}_1 : x_1 \wedge x_2 \wedge \dots \wedge x_n \Rightarrow y_1 \wedge y_2 \wedge \dots \wedge y_m.$
2. $\mathcal{R}_2 : x_1 \wedge x_2 \wedge \dots \wedge x_n \Rightarrow y_1 \vee y_2 \vee \dots \vee y_m.$
3. $\mathcal{R}_3 : x_1 \wedge x_2 \wedge \dots \wedge x_n \Rightarrow \overline{y_1} \wedge \overline{y_2} \wedge \dots \wedge \overline{y_m}.$
4. $\mathcal{R}_4 : x_1 \vee x_2 \vee \dots \vee x_n \Rightarrow y_1 \wedge y_2 \wedge \dots \wedge y_m.$
5. $\mathcal{R}_5 : x_1 \vee x_2 \vee \dots \vee x_n \Rightarrow y_1 \vee y_2 \vee \dots \vee y_m.$
6. $\mathcal{R}_6 : x_1 \vee x_2 \vee \dots \vee x_n \Rightarrow \overline{y_1} \wedge \overline{y_2} \wedge \dots \wedge \overline{y_m}.$

<i>minsup</i>	$ IFD_{\mathcal{K}} =$ $ IFDE_{\mathcal{K}} + IFDA_{\mathcal{K}} $	$ IFF_{\mathcal{K}} $	$ IND_{\mathcal{K}} $	$ IEF_{\mathcal{K}} + BD^+(IF_{\mathcal{K}}) $
90%	22+0=22	3 487	199	176+222=398
80%	83+0=83	15 108	348	304+673=977
70%	161+0=161	35 876	545	490+1 220=1 710
60%	265+28=293	68 344	894	822+2 103=2 925
50%	462+127=589	130 112	1 396	1 315+3 748=5 063
40%	819+243=1 062	239 373	2 066	1 948+6 213=8 161
30%	1 625+361=1 986	460 357	3 220	3 044+ 11 039=14 083
20%	4 725+789=5 514	1 483 199	7 573	6 620+32 583=39 203
10%	19 797+2 603=22 400	8 035 412	29 167	22 942+130 986=153 928
5%	70 798+11 940=82 738	28 384 574	91 050	75 345+413 053=488 398

TABLE 4.5: Taille des différentes représentations concises pour le contexte
CONNECT.

<i>minsup</i>	$ IFD_{\mathcal{K}} =$ $ IFDE_{\mathcal{K}} + IFDA_{\mathcal{K}} $	$ IFF_{\mathcal{K}} $	$ IND_{\mathcal{K}} $	$ IEF_{\mathcal{K}} + BD^+(IF_{\mathcal{K}}) $
40%	79+12=91	140	146	110+41=151
30%	182+31=213	427	329	247+63=310
20%	759+182=941	1 197	1 141	1 100+158=1 258
10%	4 432+1 025=5 457	4 885	4 340	5 983+547=6 530
5%	17 814+2 740=20 554	12 843	11 556	22 965+1 442=24 407
1%	186 273+10 782=197 055	51 640	486 47	230 474+6 768=237 242

TABLE 4.6: Taille des différentes représentations concises pour le contexte
MUSHROOM.

<i>minsup</i>	$ IFD_{\mathcal{K}} =$ $ IFDE_{\mathcal{K}} + IFDA_{\mathcal{K}} $	$ IFF_{\mathcal{K}} $	$ IND_{\mathcal{K}} $	$ IEF_{\mathcal{K}} + BD^+(IF_{\mathcal{K}}) $
90%	40+3=43	499	95	84+34=118
80%	129+21=150	5 084	279	241+226=467
70%	349+71=420	23 893	684	591+891=1 410
60%	773+144=917	98 393	1 594	1314+3 323=4 637
50%	1 695+276=1 971	369 451	3 425	2 809+11 463=14 272
40%	3 563+555=4 118	1 361 158	7 172	5 977+38 050=44 027
30%	7 957+867=8 824	5 316 468	15 124	13 153+134 624=147 777
20%	20 368+2 149=22 517	22 808 625	34 761	33 185+509 355=542 540
10%	70 354+5 844=76 198	123 243 073	98 664	114 219+2 339 525=2 453 744

TABLE 4.7: Taille des différentes représentations concises pour le contexte
CHESS.

$minsup$	$ IFD_{\mathcal{K}} =$ $ IFDE_{\mathcal{K}} + IFDA_{\mathcal{K}} $	$ IFF_{\mathcal{K}} $	$ IND_{\mathcal{K}} $	$ IEF_{\mathcal{K}} + BD^+(IF_{\mathcal{K}}) $
5	10+0=10	11	11	10+10=20
4	26+0=26	27	27	26+26=52
3	60+0=60	61	61	60+60=120
2	155+0=155	156	156	155+155=310
1	385+0=385	386	386	385+370=755
0,5	1 073+0=1 073	1074	1074	1 073+585=1 685
0,4	2 000+0=2 000	1 993	1 987	2 000+761=2 761
0,3	4 474+2=4 476	4 510	4 377	4 474+1 293=5 767
0,2	12 944+6=12 950	13 108	11 475	12 949+1 938=14 887
0,1	26 677+5=26 682	26 807	24 120	26 687+4 054=30 741

TABLE 4.8: Taille des différentes représentations concises pour le contexte T10I4D100K.

Base	$minsup$ (%)	$ IFD_{\mathcal{K}} $	$\frac{ IF_{\mathcal{K}} }{ IFD_{\mathcal{K}} }$	$\frac{ IFF_{\mathcal{K}} }{ IFD_{\mathcal{K}} }$	$\frac{ IND_{\mathcal{K}} }{ IFD_{\mathcal{K}} }$	$\frac{ IEF_{\mathcal{K}} + BD^+(IF_{\mathcal{K}}) }{ IFD_{\mathcal{K}} }$
CONNECT	50%	589	149 700,07	220,90	2,37	8,60
	40%	1 062	320 070,86	225,40	1,95	7,68
	30%	1986	670 530,40	231,80	1,62	7,09
	20%	5514	1 116 704,82	268,99	1,37	7,11
MUSHROOM	20%	941	56,94	1,27	1,21	1,34
	10%	5457	105,27	0,90	0,80	1,20
	5%	20 554	182,71	0,62	0,56	1,19
	1%	197055	460,54	0,26	0,25	1,20
CHESS	60%	917	278,02	107,30	1,74	5,06
	50%	1971	645,83	187,44	1,74	7,24
	40%	4118	1 563,79	330,54	1,74	10,69
	30%	8824	4 225,18	602,50	1,71	16,75
T10I4D100K	0,4%	2000	1,00	1,00	0,99	1,38
	0,3%	4476	1,02	1,01	0,98	1,29
	0,2%	12950	1,02	1,01	0,89	1,15
	0,1%	26682	1,03	1,00	0,90	1,15

TABLE 4.9 – Taux de compacité de la représentation $IFD_{\mathcal{K}}$ vs. les représentations concises connues de la littérature.

$$7. \mathcal{R}_7 : \overline{x_1} \wedge \overline{x_2} \wedge \dots \wedge \overline{x_n} \Rightarrow y_1 \wedge y_2 \wedge \dots \wedge y_m.$$

$$8. \mathcal{R}_8 : \overline{x_1} \wedge \overline{x_2} \wedge \dots \wedge \overline{x_n} \Rightarrow y_1 \vee y_2 \vee \dots \vee y_m.$$

$$9. \mathcal{R}_9 : \overline{x_1} \wedge \overline{x_2} \wedge \dots \wedge \overline{x_n} \Rightarrow \overline{y_1} \wedge \overline{y_2} \wedge \dots \wedge \overline{y_m}.$$

Notons que dans ce chapitre, nous avons mis l'accent sur l'aspect quantitatif, *i.e.*, l'estimation de la taille de la représentation concise. Néanmoins, l'aspect performance fait partie des pistes que nous souhaiterions développer. En outre, nous allons nous intéresser à l'aspect régénération des itemsets fréquents. Ainsi, il est important de définir des algorithmes, calculant les sommes d'inclusion-exclusion de manière efficace, afin de calculer les supports conjonctifs des itemsets candidats et de dériver ceux qui sont fréquents de manière exacte.

Conclusion et Perspectives

Le besoin d'interpréter et d'analyser de grandes masses de données constitue un véritable défi pour la communauté informatique au vu de l'incapacité des outils existants à répondre aux nouveaux besoins des utilisateurs, *e.g.*, extraire une connaissance cachée dans ces masses de données. Pour remédier à ce manque de connaissances sur les données, de nouvelles méthodes d'extraction de connaissances ont vu le jour, et qui sont regroupées sous le terme générique de *fouille de données* [21]. Les fondements mathématiques de l'Analyse Formelle de Concepts ont été d'un grand apport dans la proposition d'algorithmes efficaces d'extraction de connaissances, dont la technique d'extraction des règles associatives a été la principale bénéficiaire. En outre, ces fondements ont été largement utilisés dans la définition d'un cadre formel pour l'extraction d'un noyau irréductible et compact de règles associatives. Ceci a ouvert la voie à la possibilité de présenter un ensemble minimal de règles à l'utilisateur afin de lui permettre de mieux exploiter les connaissances extraites. Cependant, l'application "algorithmique", dans le seul souci d'amélioration des performances, n'est pas arrivée à tenir les promesses affichées par les approches recensées dans la littérature. En effet, le principal inconvénient des approches existantes réside dans le fait qu'elles se sont focalisées sur l'extraction des itemsets fermés fréquents – et au plus de leurs générateurs minimaux associés – sans se soucier de la relation d'ordre sous-jacente.

Dans ce cadre, nous avons fait un certain nombre de propositions, dont la plus importante est l'algorithme PRINCE, offrant la possibilité à l'utilisateur de dériver toute base générique de règles utilisant les générateurs minimaux et les itemsets fermés, en évitant le surcoût du calcul des fermetures des itemsets fréquents. Une deuxième contribution, entrant dans le cadre de la quête d'informativité et plus de compacité de la connaissance extraite, consiste en la proposition d'une base générique, appelée *IGB*, ainsi que le système axiomatique, associé. Contrairement à la catégorisation classique des règles associatives (*i.e.*, exactes et approximatives), nous avons proposé deux nouveaux types de règles, *factuelles et implicatives*, et nous avons montré leur intérêt dans un processus de prise de décision. Enfin, nous avons proposé une nouvelle représentation concise des itemsets fréquents fondée sur l'exploration de l'espace de recherche disjonctif. Les expérimentations que nous avons menées ont permis de mettre en valeur la compacité de notre représentation concise par rapport à celles existantes dans la littérature. La dérivation de différentes formes de règles associatives, utilisant l'opérateur de disjonction et de négation, est aussi à signaler au crédit de cette dernière contribution.

Les résultats obtenus ne font qu'ouvrir un certain nombre de perspectives, qui s'articulent autour des deux thèmes complémentaires suivants :

1. **Distribution/Parallélisation du processus d'extraction des représentation concises** : Suite à l'expansion des supports physiques de stockage et les besoins incessants de sauvegarder de plus en plus des données, les algorithmes séquentiels de recherche de règles associatives se sont avérés inefficaces du point de vue performances. Ainsi, l'utilisation du parallélisme est devenue une approche incontournable dans le domaine de l'algorithmique associée à la recherche de règles associatives. Dans ce cadre, l'étude que nous avons menée concernant les itemsets "fermés" fréquents a permis de mettre en relief l'absence d'algorithmes parallèles significatifs permettant l'extraction de tels itemsets (ou d'une façon plus générale des représentations concises).

Ainsi, la mise en oeuvre d'une algorithmique distribuée/parallèle serait intéressante en vue de son appli-

cation sur de grandes bases réelles qui peuvent contenir plusieurs millions de transactions. Par ailleurs, les algorithmes existants sont généralement performants sur un type de bases (avec des dimensions et une corrélation particulière entre les transactions, etc.) et beaucoup moins sur d'autres. Il serait alors intéressant de mettre en place un algorithme adaptatif suivant les caractéristiques des contextes de fouille de données à traiter. En effet, il serait intéressant de proposer, un environnement distribué muni d'une base de connaissances, qui pourra affecter chaque "portion" de données à l'algorithme le plus adapté pour l'extraction de la représentation concise la plus adaptée. Ainsi, les pistes qui méritent d'être explorées, dans le cadre d'une parallélisation par les données, sont :

- Exploration d'éventuelles relations entre les opérateurs de fermeture disjonctive et conjonctive. Par exemple, l'ensemble des fermés disjonctifs peut être retrouvé en calculant les fermés conjonctifs sur le dual complété du contexte d'extraction originel. Grâce à une telle relation, nous pouvons adapter les algorithmes d'extraction des fermés conjonctifs/disjonctifs proposés dans la littérature en optant soit pour le contexte originel, ou soit pour le contexte dual.
- Caractérisation fine des contextes d'extraction. Dans ce cadre, nous avons amorcé une étude basée sur le Système Succinct des Générateurs Minimaux (SSGM) [65]. Dans cette étude, nous avons proposé une première définition formelle de la notion d'éparsité/densité d'un contexte d'extraction. L'objectif visé par cette étude était de déterminer l'algorithme d'extraction des itemsets fermés le plus adéquat selon les estimations de densités des contextes de fouille de données. Cependant, dans un souci d'efficacité, cette détection devrait se faire à volée, *i.e.*, à partir d'un échantillon significatif dont le choix reste encore à fixer.

2. Extraction des règles associatives (généralisées) multi-relationnelles :

La prolifération de données riches ou complexes (génomiques, de télécommunication, multi-relationnel, multimedia, etc.) a montré que la structure particulière de ces données représente un défi véritable pour les techniques de fouille de données classiques. En outre, la majorité des algorithmes d'extraction des règles associatives ont été développés pour des données centralisées. Cependant, dans la pratique, les données se trouvent dispersées dans plusieurs tables. Par conséquent, il est indispensable de passer par une phase de transformation pour que les données soient adaptées aux algorithmes existants d'extraction de règles associatives. Toutefois, dans plusieurs cas, la transformation s'avère désavantageuse menant ainsi à une perte d'information. Les approches visant à extraire des Règles Associatives Relationnelles (\mathcal{RAR}) directement à partir des données décentralisées, essaient de surmonter cette difficulté [80, 99, 131]. Cependant, les approches d'extraction des \mathcal{RAR} à partir d'un schéma en étoile [102] ainsi que les approches d'extraction fondées sur la programmation logique inductive (PLI) [42] souffrent aussi d'un certain nombre de limites. Ainsi, les approches qui permettent d'extraire des règles associatives à partir de bases de données représentées sous la forme d'un schéma en étoile, souffrent des problèmes de redondance, de changement d'objet d'intérêt et de perte d'informations. Par ailleurs, les approches basées sur la PLI, soulèvent le problème de la taille des connaissances présentées à l'utilisateur. En effet, bien que l'utilisation de la PLI permettait d'enrichir l'expressivité des connaissances extraites, l'espace de recherche exploré par les algorithmes de la PLI est très large.

Dans ce cadre, il nous semble intéressant d'explorer les pistes suivantes :

- Rechercher un noyau de règles associatives, à partir duquel l'ensemble de règles restantes pourra être retrouvé via des mécanismes d'inférence [51].
- La prise en considération des termes négatifs pour la définition de règles génériques généralisées (multi-relationnelles). En effet, les règles associatives ont été introduites pour exprimer des corrélations entre les occurrences des items. Toutefois, l'utilisateur a besoin aussi d'une connaissance qui exprime la corrélation entre la non occurrence des items. Le nombre de règles associatives présentées à l'utilisateur sera évidemment très important, nécessitant ainsi une sélection informative d'un sous-ensemble réduit de règles. Pour cela, nous pensons étudier la possibilité d'appliquer des approches d'extraction des bases

génériques pour les règles associatives positives et négatives [88] serait une perspective de recherche très pertinente.

Un cadre applicatif de cette perspective serait *la préservation de la vie privée et fouille de données*. Ce cadre est strictement lié à l'utilisation croissante des systèmes "multi-contextes", qui nécessite la maintenance d'un grand nombre de contextes de fouille de données distribuées. Dans un objectif d'aide à la décision, les grandes organisations souhaitent alors pouvoir extraire de la connaissance à partir de l'ensemble de ces contextes. Récemment, de nombreux travaux se sont intéressés à la définition d'algorithmes de fouille de données préservant la vie privée [40, 45, 111]. Ainsi, préserver la vie privée dans un contexte de fouille de données impose de n'offrir des connaissances que si celles-ci garantissent la non divulgation d'informations sensibles sur les personnes. Pour garantir que les algorithmes de fouille de données ne violent pas la vie privée des individus, certaines approches ont considéré qu'elles disposaient d'une connaissance préalable sur ce qui était sensible ou non. Cependant, ce type d'approches reste, malheureusement, très subjectif et est très difficile à mettre en oeuvre [82].

Bibliographie

- [1] P. Adriaans and D. Zantinge. *Data mining*. Addison-Wesley, 1997.
- [2] R. Agrawal, T. Imielinski, and A. Swami. Mining association rules between sets of items in large databases. In *Proceedings of the ACM-SIGMOD International Conference on Management of Data, Washington D. C., USA*, pages 207–216, May 1993.
- [3] R. Agrawal and R. Srikant. Fast algorithms for mining association rules. In J. B. Bocca, M. Jarke, and C. Zaniolo, editors, *Proceedings of the 20th International Conference on Very Large Databases, Santiago, Chile*, pages 478–499, June 1994.
- [4] W.W. Armstrong. Dependency structures of database relationships. In *IFIP Congress*, pages 580–583, September 1974.
- [5] Sarra Ayouni and S Ben Yahia. Extracting compact and information lossless set of fuzzy association rules. In *2007 IEEE International Fuzzy Systems Conference*, pages 1–6. IEEE, 2007.
- [6] M. Barbut and B. Monjardet. *Ordre et classification. Algèbre et Combinatoire*. Hachette, Tome II, 1970.
- [7] Y. Bastide, N. Pasquier, R. Taouil, G. Stumme, and L. Lakhal. Mining minimal non-redundant association rules using frequent closed itemsets. In *Proceedings of the 1st International Conference on Computational Logic (DOOD 2000), LNAI Vol. 1861, Springer-Verlag*, pages 972–986, London, UK, July 2000.
- [8] R. J. Bayardo. Efficiently mining long patterns from databases. In *Proceedings of ACM-SIGMOD International Conference on Management of Data*, pages 85–93, Seattle, USA, 1998.
- [9] S Ben Yahia, K Arour, A Slimani, and A Jaoua. Discovery of compact rules in relational databases. *Information Science Journal*, 4(3) :497–511, 2000.
- [10] S. Ben Yahia, C. L. Cherif, G. Mineau, and A. Jaoua. Découverte des règles associatives non redondantes : Application aux corpus textuels. *Revue d'Intelligence Artificielle (special issue of International Conference of Journées francophones d'Extraction et Gestion des Connaissances (EGC'2003))*, Lyon, France, 17(1–2–3) :131–143, 22–24 Janvier 2003.
- [11] S. Ben Yahia, N. Doggaz, Y. Slimani, and J. Rezgui. A Galois connection semantics-based approach for deriving generic bases of association rules. *Revue d'Intelligence Artificielle (special issue of International Conference of Journées francophones d'Extraction et Gestion des Connaissances (EGC'2004))*, Clermont-Ferrand, France, 17(1) :131–143, 21–24 Janvier 2004.
- [12] S. Ben Yahia, T. Hamrouni, and E. Mephu Nguifo. Frequent closed itemset based algorithms : A thorough structural and analytical survey. In *ACM-SIGKDD Explorations*, volume 8(1), pages 93–104, June 2006.
- [13] S Ben-Yahia and A Jaoua. A top-down approach for mining fuzzy association rules. In *Proc. 8th Int. Conf. Information Processing Management of Uncertainty Knowledge-Based Systems*, pages 952–959, 2000.
- [14] S Ben Yahia and Ali Jaoua. Mining linguistic summaries of databases using based lukasiewicz implication fuzzy functional dependency. In *FUZZ-IEEE'99. 1999 IEEE International Fuzzy Systems. Conference Proceedings (Cat. No. 99CH36315)*, volume 3, pages 1246–1250. IEEE, 1999.
- [15] S. Ben Yahia and E. Mephu Nguifo. Revisiting generic bases of association rules. In *Proceedings of 6th International Conference on Data Warehousing and Knowledge Discovery (DaWaK 2004), LNCS Vol. 3181, Springer-Verlag*, pages 58–67, Zaragoza, Spain, 1–3 September 2004.
- [16] S. Ben Yahia and E. Mephu Nguifo. Approches d'extraction de règles d'association basées sur la correspondance de Galois. *Ingénierie des Systèmes d'Information (ISI), Hermès-Lavoisier*, 3–4(9) :23–55, 2004.

- [17] S. Ben Yahia, Y. Slimani, and J. Rezgui. A divide and conquer approach for deriving partially ordered sub-structures. In *Proceedings of the International 9th Pacific-Asia Conference on Knowledge Data Discovery (PAKDD 2005)*, LNAI Vol. 3518, Springer-Verlag, pages 91–96, Hanoi, Vietnam, 18-20 May 2005.
- [18] Sadok Ben Yahia and Engelbert Mephu Nguifo. Contextual generic association rules visualization using hierarchical fuzzy meta-rules. In *2004 IEEE International Conference on Fuzzy Systems (IEEE Cat. No. 04CH37542)*, volume 1, pages 227–232. IEEE, 2004.
- [19] Sadok Ben Yahia and Engelbert Mephu Nguifo. Emulating a cooperative behavior in a generic association rule visualization tool. In *16th IEEE International Conference on Tools with Artificial Intelligence*, pages 148–155. IEEE, 2004.
- [20] Sadok Ben Yahia and Engelbert Mephu Nguifo. Visualisation des règles associatives : vers une approche méta-cognitive. In *INFORSID*, pages 735–750, 2006.
- [21] M. J. A. Berry and G. S. Linoff. *Data Mining Techniques : For Marketing, Sales, and Customer Relationship Management, Second Edition*. Wiley Publishing, 2004.
- [22] G. Birkhoff. *Lattice Theory, 2nd edition*. Providence : American Mathematical Society, 1965.
- [23] G. Boole. *The Mathematical Analysis of Logic*. Cambridge University Press, 1847.
- [24] J.-F. Boulicaut, A. Bykowski, and C. Rigotti. Free-sets : A condensed representation of boolean data for the approximation of frequency queries. In *Journal of Data Mining and Knowledge Discovery (DMKD)*, volume 7(1), pages 5–22, 2003.
- [25] I Bouzouita, S Elloumi, and S Ben Yahia. Garc-m : Generic association rules based classifier multi-parameterizable. In *Proceedings of 4th International Conference of the Concept Lattices and their Applications (CLA 2006)*, Hammamet, Tunisia, 2006.
- [26] I. Bouzouita, S. Elloumi, and S. Ben Yahia. GARC : a new associative classification approach. In *Proceedings of the 8th International Conference on Data Warehousing and Knowledge Discovery (DaWaK 2006)*, LNCS Vol. 4081, Springer-Verlag, pages 554–565, Krokow, Poland, September 2006.
- [27] R. Brachman and T. Anand. *Advances in Knowledge Discovery & Data Mining*, chapter The Process of Knowledge Discovery in Databases, pages 37–57. AAAI Press/MIT Press, 1996.
- [28] Hanen Brahmi, Tarek Hamrouni, Riadh Ben Messaoud, and Sadok Ben Yahia. Closed non derivable data cubes based on non derivable minimal generators. In *International Conference on Advanced Data Mining and Applications*, pages 55–66. Springer, 2009.
- [29] I Brahmi, S Ben Yahia, and Y Slimani. Ids-garc : Détection d'intrusions basée sur les règles associatives génériques de classification. In *Actes du 9ème Colloque Africain sur la Recherche en Informatique, Rabat, Maroc*, pages 667–674, 2008.
- [30] S. Brin, R. Motawani, and C. Silverstein. Beyond market baskets : Generalizing association rules to correlation. In *Proceedings of the ACM-SIGMOD, Tucson, Arizona, USA*, pages 265–276, May 1997.
- [31] T. Calders. Deducing bounds on the support of itemsets. In *Database Support for Data Mining Applications*, 2004.
- [32] T. Calders and B. Goethals. Mining all non-derivable frequent itemsets. In T. Elomaa, H. Mannila, and H. Toivonen, editors, *Proceedings of the 6th European Conference on Principles and Practice of Knowledge Discovery in Databases (PKDD 2002)*, LNCS Vol. 2431, Springer-Verlag, pages 74–85, Helsinki, Finland, 19-23 August 2002.
- [33] T. Calders and B. Goethals. Non-derivable itemset mining. *Data Mining and Knowledge Discovery*, 14(1) :171–206, 2007.
- [34] T. Calders, C. Rigotti, and J. F. Boulicaut. A survey on condensed representations for frequent sets. In *Constraint Based Mining and Inductive Databases*, Springer-Verlag, LNAI, volume 3848, pages 64–80, 2005.
- [35] A. Casali, R. Cicchetti, and L. Lakhal. Essential patterns : A perfect cover of frequent patterns. In *Proceedings of the 7th International Conference on Data Warehousing and Knowledge Discovery (DaWaK 2005)*, LNCS Vol. 3589, Springer-Verlag, pages 428–437, Copenhagen, Denmark, August 22-26 2005.
- [36] A. Casali, R. Cicchetti, L. Lakhal, and S. Lopes. Couvertures parfaites des motifs fréquents. *Numéro thématique "Base de données avancées pour XML et le web" de la revue Ingénierie des Systèmes d'Information (ISI)*, 10(2) :117–138, 2005.

- [37] Peggy Cellier, Sébastien Ferré, Olivier Ridoux, and Mireille Ducasse. A parameterized algorithm to explore formal contexts with a taxonomy. *International Journal of Foundations of Computer Science*, 19(02) :319–343, 2008.
- [38] Chiraz Latiri Cherif, W Bellegua, S Ben Yahia, and Ghada Guesmi. Vie_mgb : A visual interactive exploration of minimal generic basis of association rules. In *Proc. of the Intern. Conf. on Concept Lattices and Application (CLA 2005)*, pages 179–196, 2005.
- [39] W. Cheung and O.R. Zaiane. Incremental mining of frequent patterns without candidate generation or support constraint. In *Proceedings of the Seventh International Database Engineering and Applications Symposium (IDEAS 2003)*, Hong Kong, China, pages 111–116, 16–18 July 2003.
- [40] C. Clifton, M. Kantarcioglu, X. Lin, J. Vaidya, and M. Zhu. Tools for privacy preserving distributed data mining. *SIGKDD Explorations*, 4(2) :28–34, 2003.
- [41] B.A Davey and H.A. Priestley. *Introduction to Lattices and Order*. Cambridge University Press, 2002.
- [42] L. Dehaspe and H. Toivonen. Discovery of relational association rules. In Dzeroski and Lavrac, editors, *Relational data mining*, pages 189–212. Springer, September 2001.
- [43] G. Dong, C. Jiang, J. Pei, J. Li, and L. Wong. Mining succinct systems of minimal generators of formal concepts. In *Proceedings of the 10th International Conference on Database Systems for Advanced Applications (DASFAA 2005)*, LNCS, Vol. 3453, Springer-Verlag, pages 175–187, Beijing, China, April 2005.
- [44] MA Esseghir, S Ben Yahia, and S Abdelhak. Localizing compact set of genes involved in cancer diseases using an evolutionary connectionist approach. In *European Conferences on Machine Learning and European Conferences on Principles and Practice of Knowledge Discovery in Databases. ECML/PKDD Discovery Challenge*. Citeseer, 2005.
- [45] A. Evfimievski, R. Srikant, R. Agrawal, and J. Gehrke. Privacy-preserving mining of association rules. *Information Systems*, 29(4) :343–364, June 2004.
- [46] U.M. Fayyad, G. Piatetsky-Shapiro, P. Smyth, and R. Uthurusamy, editors. *Advances in Knowledge Discovery & Data Mining*. AAAI Press/MIT Press, 1996.
- [47] A. Le Floc'h, C. Fiset, R. Missaoui, P. Valtchev, and R. Godin. JEN : un algorithme efficace de construction de générateurs pour l'identification des règles d'association. *Numéro spécial de la revue des Nouvelles Technologies de l'Information*, 1(1) :135–146, 2003.
- [48] J. M. Franco. *Le Data Warehouse, Le Data Mining*. Editions Eyrolles, 1999.
- [49] J. Galambos and I. Simonelli. *Bonferroni-type inequalities with applications*. Springer, 2000.
- [50] B. Ganter and R. Wille. *Formal Concept Analysis*. Springer-Verlag, 1999.
- [51] G. C. Garriga, Roni Khardony, and Luc De Raedt. On mining closed sets in multi-relational data. In *Proceedings of the International Joint Conference on Artificial Intelligence (IJCAI'2007)*, Haiderabad, India, 2007.
- [52] G. Gasmi. *Proposition et Axiomatisation d'une nouvelle base générique de règles associatives*. Master thesis, Faculty of Sciences of Tunis, Tunisia, 2005.
- [53] G. Gasmi, S. Ben Yahia, E. Mephu Nguifo, and Y. Slimani. Discovering "factual" and "implicative" generic association rules. In *Proceedings of the Conférence Francophone d'Apprentissage Automatique (CAp 2005)*, Presses Universitaires de Grenoble, Nice, France, pages 329–344, 30 May - 03 June 2005.
- [54] G. Gasmi, S. Ben Yahia, E. Mephu Nguifo, and Y. Slimani. *TGB* : A new informative generic base of association rules. In *Proceedings of the Intl. Ninth Pacific-Asia Conference on Knowledge Data Discovery (PAKDD'05)*, LNAI 3518, Hanoi, Vietnam, pages 81–90. Springer-Verlag, May 2005.
- [55] G Gasmi, S Ben Yahia, E Mephu Nguifo, and Y Slimani. Igb : une nouvelle base générique informative des règles d'association. *Revue I3 (Information-Interaction-Intelligence)*, 6(1) :31–67, 2006.
- [56] G Gasmi, T Hamrouni, S Abdelhak, S Ben Yahia, and E Mephu Nguifo. Extracting generic basis of association rules from sage data. In *Proceedings of the ECML/PKDD Discovery Challenge Workshop*, pages 84–89, 2005.
- [57] G. Grahne and J. Zhu. Efficiently using prefix-trees in mining frequent itemsets. In B. Goethals and M. J. Zaki, editors, *Proceedings of the IEEE ICDM Workshop on Frequent Itemset Mining Implementations (FIMI 2003)*, volume 90 of *CEUR Workshop Proceedings*, Melbourne, Florida, USA, 19 November 2003.
- [58] J. L. Guigues and V. Duquenne. Familles minimales d'implications informatives résultant d'un tableau de données binaires. *Mathématiques et Sciences Humaines.*, 24(95) :5–18, 1986.

- [59] T. Hamrouni. *Extraction des bases génériques informatives de règles sans calcul de fermetures*. Master thesis, Faculty of Sciences of Tunis, Tunisia, 2005.
- [60] T. Hamrouni, S. Ben Yahia, and E. Mephu Nguifo. A new exact concise representation based on disjunctive closure. In *Proceedings of the 2nd Jordan International Conference on Computer Science and Engineering (JICCSE 2006)*, pages 361–373, Al-Balqa, Jordan, December 2006.
- [61] T. Hamrouni, S. Ben Yahia, and E. Mephu Nguifo. Redundancy-free generic bases of association rules. In *Proceedings of the 8th French Conference on Machine Learning (CAp 2006)*, Presses Universitaires de Grenoble, Trégastel, France, pages 363–378, May 22–24 2006.
- [62] T. Hamrouni, S. Ben Yahia, and Y. Slimani. PRINCE : An algorithm for generating rule bases without closure computations. In *Proceedings of the 7th International Conference on Data Warehousing and Knowledge Discovery (DaWaK 2005)*, Springer-Verlag, LNCS, volume 3589, Copenhagen, Denmark, pages 346–355, August 22–26 2005.
- [63] T. Hamrouni, I. Denden, S. Ben Yahia, and E. Mephu Nguifo. A new concise representation of frequent patterns through disjunctive search space. In *Proceedings of the 5th Intl. Conference on Concept Lattices and their Applications (CLA 2007)*, pages 50–61, Montpellier, France, October 23–26 2007.
- [64] T. Hamrouni, I. Denden, S. Ben Yahia, and E. Mephu Nguifo. Exploring the disjunctive search space towards discovering new exact concise representations for frequent patterns. *Rapport technique, Centre de Recherche en Informatique de Lens (CRILCNRS), Lens, France, 2007*.
- [65] T. Hamrouni, S. Ben Yahia, and E. Mephu Nguifo. Towards a finer assessment of extraction context sparseness. In *Proceedings of the 1st International Co-DEXA'07 co-located workshop on Advances in Conceptual Knowledge Engineering (ACKE 2007)*, IEEE CS Press, pages 504–508, Regensburg, Germany, September 3–6 2007.
- [66] T. Hamrouni, S. Ben Yahia, and E. Mephu Nguifo. Succinct minimal generators : Theoretical foundations and applications. *International Journal on Foundations of Computer Science*, 19(2) :271–296, 2008.
- [67] T. Hamrouni, P. Valtchev, S. Ben Yahia, and E. Mephu Nguifo. About the lossless reduction of the minimal generator family of a context. In S. O. Kuznetsov and S. Schmidt, editors, *Proceedings of the 5th International Conference on Formal Concept Analysis (ICFCA 2007)*, Springer Verlag, LNAI Vol. 4390, pages 130–150, Clermont-Ferrand, France, February 2007.
- [68] Tarek Hamrouni, S. Ben Yahia, and E. Mephu Nguifo. Garm : Generalized association rule mining. In *Proceedings of the 6th International Conference on Concept Lattices and their Applications (CLA 2008)*, Olomouc, Czech Republic, pages 145–156. Citeseer, 2008.
- [69] Tarek Hamrouni, S. Ben Yahia, and Yahya Slimani. Avoiding the itemset closure computation “pitfall”. In *CLA*, volume 2005, pages 46–59, 2005.
- [70] Tarek Hamrouni, Sadok Ben Yahia, and Engelbert Mephu Nguifo. Generic association rule bases : Are they so succinct ? In *International Conference on Concept Lattices and Their Applications*, pages 198–213. Springer, 2006.
- [71] Tarek Hamrouni, Sadok Ben Yahia, and Engelbert Mephu Nguifo. Succinct system of minimal generators : A thorough study, limitations and new definitions. In *International Conference on Concept Lattices and Their Applications*, pages 80–95. Springer, 2006.
- [72] Tarek Hamrouni, Islem Denden, Sadok Ben Yahia, Engelbert Mephu Nguifo, and Yahya Slimani. Les itemsets essentiels fermés : une nouvelle représentation concise. In *EGC*, pages 241–252, 2007.
- [73] Tarek Hamrouni, Sadok Ben Yahia, and Yahya Slimani. PRINCE : extraction optimisée des bases génériques de règles sans calcul de fermetures. In *Actes du XXIIIème Congrès INFORSID, Grenoble, France, 24-27 mai, 2005*, pages 353–368, 2005.
- [74] J. Han and Y. Fu. Discovery of multiple-level association rules from large databases. In *Proceedings of the VLDB Conference*, pages 420–431, Zurich, Switzerland, 1995.
- [75] J. Han and M. Kamber. *Data Mining : Concepts and Techniques*. Morgan Kaufmann, 2001.
- [76] J. Han, J. Pei, and Y. Yin. Mining frequent patterns without candidate generation. In *Proceedings of the ACM-SIGMOD International Conference on Management of Data (SIGMOD'00)*, Dallas, Texas, USA, pages 1–12, May 2000.

- [77] J. Hipp, A. Myka, R. Wirth, and U. Guentzer. A new algorithm for faster mining of generalized association rules. In *Proceedings of the Intl. Conference on Principles of Data Mining and Knowledge Discovery (PKDD'98)*, LNAI Vol.1510, Springer-Verlag, volume 23-26 September, pages 74–82, Nantes, France, 1998.
- [78] E. Huellermeir. Implication-based fuzzy association rules. In *Proceedings of the PKDD'2001 : Principles of Data Mining and Knowledge Discovery*, LNAI Vol. 2168, Springer-Verlag, pages 241–252, Freiburg, Germany, September 2001.
- [79] Ali Jaoua, Rehab Duwairi, Samir Elloumi, and Sadok Ben Yahia. Data mining, reasoning and incremental information retrieval through non enlargeable rectangular relation coverage. In *International Conference on Relational Methods in Computer Science*, pages 199–210. Springer, 2009.
- [80] V. C. Jenson and N. Soparkar. Frequent itemset counting across multiple tables. In *Proceedings of Pacific-Asia Conference on Knowledge discovery and data mining (PAKDD'2000)*, pages 49–61, Kyoto, Japan, 2000.
- [81] Tim B Kaiser, Stefan E Schmidt, and Cliff A Joslyn. Adjusting annotated taxonomies. *International Journal of Foundations of Computer Science*, 19(02) :345–358, 2008.
- [82] V. Kapoor, P. Poncelet, F. Troussel, and M. Teisseire. Préservation de la vie privée : recherche de motifs séquentiels dans des bases de données distribuées. *Revue Ingénierie des Systèmes d'Information (ISI)*, 12 :85–107, December 2007.
- [83] D. Keim and H. Kriegel. Visualization techniques for mining large databases : A comparison. *IEEE Transactions on Knowledge and Data Engineering*, 6(8) :923–938, December 1996.
- [84] M. Klemettinen, H. Mannila, P. Ronkainen, H. Toivonen, and A. I. Verkamo. Finding interesting rules from large sets of discovered association rules. In *Proceedings of the 3rd International Conference on Information and Knowledge Management (CIKM'94)*, ACM Press, pages 401–407, November 1994.
- [85] M. Kryszkiewicz. Representative association rules and minimum condition maximum consequence association rules. In *Proceedings of 2nd European Symposium on Principles of Data Mining and Knowledge Discovery (PKDD 1998)*, LNCS Vol. 1510, Springer-Verlag, pages 361–369, Nantes, France, 1998.
- [86] M. Kryszkiewicz. Concise representation of frequent patterns and association rules. Habilitation dissertation, Institute of Computer Science, Warsaw University of Technology, Warsaw, Poland., August 2002.
- [87] M. Kryszkiewicz. Concise representations of association rules. In D. J. Hand, N.M. Adams, and R.J. Bolton, editors, *Proceedings of Pattern Detection and Discovery, ESF Exploratory Workshop*, LNCS Vol. 2447, Springer Verlag, pages 92–109, London, UK, September 2002. Springer.
- [88] M. Kryszkiewicz and K. Cichon. Support oriented discovery of generalized disjunction-free representation of frequent patterns with negation. In *Proceedings of the Intl. Conf. PAKDD 2005*, LNAI Vol. 3518, Springer-Verlag, pages 672–682, Hanoi, Vietnam, 2005.
- [89] Ch. Latiri and S. Ben Yahia. Textmining : Generating association rules from textual data. In *Proceedings of the XIXème Congrès Informatique des Organisations et Systèmes d'Information et de Décision (INFORSID'2001)*, Geneve, Switzerland, pages 27–39, 29–30 May 2001.
- [90] Cherif Chiraz Latiri and S Ben Yahia. Generating implicit association rules from textual data. In *Proceedings ACS/IEEE International Conference on Computer Systems and Applications*, pages 137–143. IEEE, 2001.
- [91] R. Lefébure and G. Venturi. *Le Data Mining*. Eyrolles, 1999.
- [92] B. Liu, W. Hsu, K. Wang, and S. Che. Visually aided exploration of interesting association rules. In *Proceedings of the 3rd International Conference on Research and Development in Knowledge Discovery and Data mining (PAKDD'99)*, LNCS, Vol. 1574, Springer-Verlag, pages 380–389, Beijing, China, April 1999.
- [93] G. Liu, J. Li, L. Wong, and W. Hsu. Positive borders or negative borders : How to make lossless generator based representations concise. In *Proceedings of the 6th SIAM International Conference on Data Mining (SDM 2006)*, pages 469–473, Maryland, USA, April 20.22 2006.
- [94] C. Lucchese, S. Orlando, and R. Perego. Fast and memory efficient mining of frequent closed itemsets. In *IEEE Journal Transactions on Knowledge and Data Engineering (TKDE)*, 18 (1) :21–36, January 2006.
- [95] C. Lucchese, S. Orlando, and R. Perego. DCI-CLOSED : A fast and memory efficient algorithm to mine frequent closed itemsets. In B. Goethals, M. J. Zaki, and R. Bayardo, editors, *Proceedings of the IEEE ICDM Workshop on*

- Frequent Itemset Mining Implementations (FIMI 2004)*, CEUR Workshop Proceedings, Vol. 126, Brighton, UK, 1 November 2004.
- [96] V. Phan Luong. Raisonement sur les règles d'association. In *Proceedings of 17ème Journées Bases de Données Avancées BDA'2001, Agadir (Maroc), Cepaduès Edition*, pages 299–310, November 2001.
- [97] M. Luxenburger. Implication partielles dans un contexte. *Mathématiques et Sciences Humaines*, 29(113) :35–55, 1991.
- [98] R. Meo, G. Psaila, and S. Ceri. A new sql-like operator for mining association rules. In *Proceedings of the VLDB Conference*, pages 122–133, Bombay, India, 1996.
- [99] K. Ng, W. Fu, and K. Wang. Mining association rules from stars. In *Proceedings of IEEE International Conference on Data Mining*, pages 322–329, Maebashi City, Japan, 2002.
- [100] R. T. Ng, V. S. Lakshmanan, J. han, and A. Pang. Exploratory mining and pruning optimizations of constrained association rules. In *Proceedings of the SIGMOD Conference*, pages 13–24, 1998.
- [101] Engelbert MEPHU NGUIFO, Patrick Njiwoua, Huaiguo Fu, Huaiyu Fu, and Sadok Ben Yahia. Fouille de données et treillis de galois. *Tutoriel, Clermont-Ferrand France*, 2004.
- [102] S. Nijssen. Data mining using logic. Master's thesis, Den Haag, Leiden, Octobre 2000.
- [103] O. Öre. Galois connections. *Transaction of the American Mathematical Society*, 55 :494–513, 1944.
- [104] Leila Ben Othman, François Rioult, Sadok Ben Yahia, and Bruno Crémilleux. Missing values : Proposition of a typology and characterization with an association rule-based model. In *International Conference on Data Warehousing and Knowledge Discovery*, pages 441–452. Springer, 2009.
- [105] N. Pasquier. Datamining : Algorithmes d'extraction et de réduction des règles d'association dans les bases de données. Thèse de doctorat, École Doctorale Sciences pour l'Ingénieur de Clermont Ferrand, Université Clermont Ferrand II, France, Janvier 2000.
- [106] N. Pasquier, Y. Bastide, R. Taouil, and L. Lakhal. Pruning closed itemset lattices for association rules. In M. Bouzeghoub, editor, *Proceedings of 14th International Conference Bases de Données Avancées, Hammamet, Tunisia*, pages 177–196, 26–30 October 1998.
- [107] N. Pasquier, Y. Bastide, R. Taouil, and L. Lakhal. Efficient mining of association rules using closed itemset lattices. *Journal of Information Systems*, 24(1) :25–46, 1999.
- [108] N. Pasquier, Y. Bastide, R. Touil, and L. Lakhal. Discovering frequent closed itemsets for association rules. In C. Beeri and P. Buneman, editors, *Proceedings of 7th International Conference on Database Theory (ICDT 1999), LNCS, volume 1540, Springer-Verlag, Jerusalem, Israel*, pages 398–416, January 1999.
- [109] J. Pei, J. Han, and R. Mao. CLOSET : An efficient algorithm for mining frequent closed itemsets. In *Proceedings of the ACM-SIGMOD International Workshop on Data Mining and Knowledge Discovery (DMKD 2000), Dallas, Texas, USA*, pages 21–30, 2000.
- [110] J. L. Pfaltz and C. M. Taylor. Scientific discovery through iterative transformation of concept lattices. In *Proceedings of Workshop on Discrete Applied Mathematics in conjunction with the 2nd SIAM International Conference on Data Mining, Arlington*, pages 65–74, 2002.
- [111] B. Pinkas. Cryptographic techniques for privacy preserving data mining. *SIGKDD Explorations*, 4(2) :12–19, 2003.
- [112] J. Rezgui. Contribution à l'extraction de bases générique de règles d'association. Master thesis, Faculty of Sciences of Tunis, Faculté des Sciences de Tunis, Tunisie, Novembre 2004.
- [113] Manel Sghaier, Sadok Ben Yahia, Anne Laurent, and Maguelonne Teisseire. Fftm : optimized frequent tree mining with soft embedding constraints on siblings. In *Proceedings of the 5th international conference on Soft computing as transdisciplinary science and technology*, pages 419–424. ACM, 2008.
- [114] R. Skirant and R. Agrawal. Mining generalized association rules. Research report, Almaden Research Center, IBM Research Division, San Jose, USA, 1995.
- [115] R. Srikant, Q. Vu, and R. Agrawal. Mining association rules with item constraints. In *Proceedings of the 3rd Intl. Conference on Knowledge Discovery in Databases and Data Mining, Newport Beach, California*, pages 67–73, August 1997.

- [116] G. Stumme, R. Taouil, Y. Bastide, N. Pasquier, and L. Lakhal. Fast computation of concept lattices using data mining techniques. In M. Bouzeghoub, M. Klusch, W. Nutt, and U. Sattler, editors, *Proceedings of 7th International Workshop on Knowledge Representation Meets Databases (KRDB'00), Berlin, Germany*, pages 129–139, 2000.
- [117] G. Stumme, R. Taouil, Y. Bastide, N. Pasquier, and L. Lakhal. Intelligent structuring and reducing of association rules with formal concept analysis. In F. Baader., G. Brewker, and T. Eiter, editors, *Proceedings of the Joint German/Austrian Conference on AI : Advances in Artificial Intelligence, LNAI Vol. 2174, Springer-Verlag*, pages 335–350, Heidelberg, Germany, September 2001.
- [118] G. Stumme, R. Taouil, Y. Bastide, N. Pasquier, and L. Lakhal. Computing iceberg concept lattices with TITANIC. *Journal on Knowledge and Data Engineering (KDE)*, 2(42) :189–222, 2002.
- [119] R. Taouil. Algorithmique du treillis des fermés : Application à l'analyse formelle de concepts et aux bases de données. Thèse de doctorat, Ecole Doctorale Sciences pour l'Ingénieur de Clermont-Ferrand, Université Blaise Pascal, France, Janvier 2000.
- [120] Sondess Ben Tekaya, Sadok Ben Yahia, and Yahia Slimani. Algorithme de construction d'un treillis des concepts formels et de détermination des générateurs minimaux. *Revue ARIMA, numéro spécial CARI'04*, novembre 2005.
- [121] Sondess Ben Tekaya, Sadok Ben Yahia, and Yahya Slimani. Genall algorithm : Decorating galois lattice with minimal generators. In *CLA*, pages 166–178, 2005.
- [122] H. Toivonen. Sampling large databases for association rules. In *Proceedings of the 22th International Conference on Very Large Databases (VLDB'96)*, pages 134–145, Bombay, India, September 1996.
- [123] T. Uno, T. Asai, Y. Uchida, and H. Arimura. An efficient algorithm for enumerating closed patterns in transaction databases. *Proceedings of the 7th International Conference on Discovery Science, Padova, Italy*, pages 16–31, 2-5 October 2004.
- [124] T. Uno, M. Kiyomi, and H. Arimura. LCM ver. 2 : Efficient mining algorithms for frequent/closed/maximal itemsets. In B. Goethals, M. J. Zaki, and R. Bayardo, editors, *Proceedings of the IEEE ICDM Workshop on Frequent Itemset Mining Implementations (FIMI 2004)*, CEUR Workshop Proceedings, Vol. 126, Brighton, UK, November 1st 2004.
- [125] P. Valtchev, R. Missaoui, and P. Lebrun. A fast algorithm for building the Hasse diagram of a Galois lattice. In *Proceedings of the Colloque LaCIM 2000, Montréal, Canada*, pages 293–306, September 2000.
- [126] Moez Waddey, Pascal Poncelet, and Sadok Ben Yahia. A novel approach for privacy mining of generic basic association rules. In *Proceedings of the ACM first international workshop on Privacy and anonymity for very large databases*, pages 45–52. ACM, 2009.
- [127] Benjamin W Wah, Yixin Chen, and Andrew Wan. Constrained global optimization by constraint partitioning and simulated annealing. In *2006 18th IEEE International Conference on Tools with Artificial Intelligence (ICTAI'06)*, pages 265–274. IEEE, 2006.
- [128] J. Wang, J. Han, and J. Pei. CLOSET+ : Searching for the best strategies for mining frequent closed itemsets. In *Proceedings of the 9th ACM-SIGKDD International Conference on Knowledge Discovery and Data Mining (KDD 2003)*, pages 236–245, Washington D. C., USA, 24-27 August 2003.
- [129] R. Wille. Restructuring lattices theory : An approach based on hierarchies of concepts. In *International Conference on Formal Concept Analysis*, pages 445–470. I. Rival, editor, Ordered Sets, Reidel, Dordrecht-Boston, 1982.
- [130] R. Wille. Knowledge acquisition by methods of formal concept analysis. In E. Diday, editor, *Data analysis, learning symbolic and numeric knowledge*. Nova Science, New York, 1989.
- [131] L. Xu and K. Xie. Mining frequent closed itemsets across multiple tables. *Knowledge based systems*, October 2005.
- [132] M. Zaki and B. Phoophakdee. MIRAGE :A framework for mining, exploring and visualizing minimal association rules. Technical report, Rensselaer Polytechnic Institute, Computer Science Department, USA, July 2003.
- [133] M. J. Zaki. Generating non-redundant association rules. In *Proceedings of the 6th ACM-SIGKDD International Conference on Knowledge Discovery and Data Mining*, pages 34–43, Boston, Massachusetts, USA, August 2000.
- [134] M. J. Zaki and C. J. Hsiao. CHARM : An efficient algorithm for closed itemset mining. In *Proceedings of the 2nd SIAM International Conference on Data Mining, Arlington, Virginia, USA*, pages 34–43, April 2002.

-
- [135] M.J. Zaki. Mining Non-Redundant Association Rules. *Data Mining and Knowledge Discovery*, 9(3) :223–248, 2004.
- [136] Sami Zghal, S Ben Yahia, Engelbert Mephu Nguifo, and Yahya Slimani. Soda : Une approche structurée pour l’alignement d’ontologies owl-dl. *ZFO*, 2007.
- [137] Sami Zghal, Sadok Ben Yahia, Engelbert Mephu Nguifo, and Yahya Slimani. Soda : an owl-dl based ontology matching system. In *Proceedings of the 2nd International Conference on Ontology Matching-Volume 304*, pages 261–267. CEUR-WS. org, 2007.
- [138] Sami Zghal, Marouen Kachroudi, Sadok Ben Yahia, and Engelbert Mephu Nguifo. OACAS - ontologies alignment using composition and aggregation of similarities. In *KEOD 2009 - Proceedings of the International Conference on Knowledge Engineering and Ontology Development, Funchal - Madeira, Portugal, October 6-8, 2009*, pages 233–238, 2009.
- [139] Sami Zghal, Karim Kamoun, Sadok Ben Yahia, Engelbert Mephu Nguifo, and Yahya Slimani. Edola : Une nouvelle méthode d’alignement d’ontologies owl-lite. In *CORIA*, pages 351–367, 2007.
- [140] Sami Zghal, Engelbert Mephu Nguifo, Karim Kamoun, Sadok Ben Yahia, and Yahya Slimani. A new alignment method for owl-lite ontologies using propagation of similarity over the graph. In *18th International Workshop on Database and Expert Systems Applications (DEXA 2007)*, pages 524–528. IEEE, 2007.